

BÜYÜK NİRENGİ AĞLARINDA KATSAYILAR MATRİSİNİN
NOKTA DUYARLIĞINA ETKİSİNİN ARAŞTIRILMASI

K. Ü.
MERKEZ KÜTÜPHANESİ
Dem. No: 10564
Fiatı : 100 -

Y. Müh. Aslan DİLÂVER

KARADENİZ ÜNİVERSİTESİ FEN BİLİMLERİ ENSTİTÜSÜNCE
« DOKTOR »

ÜNVANININ VERİLMESİ İÇİN KABUL EDİLEN TEZDİR

Tezin Enstitüye Verilişi : 16 Nisan 1985

Tez Sözlü Savunması : 30 Eylül 1985

Doktora Yöneticisi : Prof. Dr. Muzaffer ŞERBETÇİ (KO)
Jüri Üyesi : Prof. Dr. Mustafa AYTAÇ (İÜ)
Jüri Üyesi : Doç. Dr. Hüseyin DEMİREL (YÜ)

TEŞEKKÜR

Bu çalışma süresince kıymetli teşvik ve yardımlarını esirgemeyen değerli hocam Prof.Dr. Muzaffer ŞERBETÇİ'ye, ayrıca değerli fikir ve eleştirileri ile çalışmaya katkıda bulunan sayın jüri üyeleri Prof. Mustafa AYTAÇ ve Doç.Dr. Hüseyin DEMİREL'e teşekkürlerimi sunmayı bir borç bilirim.

İÇİNDEKİLER

ÖZET	1v
SUMMARY	v
1. GİRİŞ	1
2. NİRENGİ AĞLARINDA HESAP MODELİ KAVRAMINA GENEL BAKIŞ	3
2.1 Fonksiyonel Model	3
2.2 Stokastik Model	6
3. BÜYÜK NİRENGİ AĞLARININ JEODEZİK KOORDİNATLARLA İKİ BOYUTLU DENGELENMESİ	8
3.1 Üçüncü Boyutu da Gözönüne Alarak Düzeltme Denklemlerinin İki Boyutlu Kurulmasına İlişkin İşlemler	9
3.1.1 Ölçülerin Elipsoid Normaline İndirgenmesi	9
3.1.1.1 Doğrultuların İndirgenmesi	10
3.1.1.2 Astronomik Ölçülerin İndirgenmesi	11
3.1.2 Azimut ve Kenar Uzunluklarının Birinci Dereceden Diferansiyelleri	13
3.1.3 Doğrusal Düzeltme Denklemlerinin Kurulması	24
3.1.3.1 Doğrultu Düzeltme Denklemi	24
3.1.3.2 Uzunluk Düzeltme Denklemi	26
3.1.3.3 Azimut Düzeltme Denklemi	27
3.2 Düzeltme Denklemlerinin Elipsoid Yüzeyinde Kurulmasına İlişkin İşlemler	31
3.2.1 Ölçülerin Elipsoid Yüzeyine İndirgenmesi	32
3.2.1.1 Doğrultuların İndirgenmesi	32
3.2.1.2 Azimutların İndirgenmesi	35
3.2.1.3 Uzunlukların İndirgenmesi	36

3.2.2	Jeodezik Eğrinin Azimut ve Uzunluğunun Birinci Dereceden Diferansiyelleri	39
3.2.3	Doğrusal Düzeltme Denklemlerinin Kurulması	47
3.2.3.1	Doğrultu Düzeltme Denklemi	47
3.2.3.2	Uzunluk Düzeltme Denklemi	49
3.2.3.3	Azimut Düzeltme Denklemi	49
3.3	Ölçü Ağırlıklarının Belirlenmesi	51
3.3.1	Doğrultu Ölçülerinin Ağırlığı	52
3.3.2	Azimut Ölçülerinin Ağırlığı	52
3.3.3	Uzunluk Ölçülerinin Ağırlığı	53
3.4	Normal Denklemlerin Kuruluşu ve Çözümü	55
4.	MATEMATİK MODELİN TEST EDİLMESİ	60
4.1	Fonksiyonel Model Testi	60
4.2	Stokastik Model Testi	63
5.	NİRENGİ AĞLARININ DUYARLIK ÖLÇÜTLERİ	65
5.1	Ağın Tamamı İçin Tanımlanan Ölçütler	67
5.2	Bir Ağ Noktası İçin Tanımlanan Ölçütler	68
5.3	Ağın Komşu Noktaları İçin Tanımlanan Ölçütler	71
6.	SAYISAL UYGULAMALAR	74
6.2	Zincir Poligon ve Yüzey Ağlarının Tanımı	74
6.2	Zincir Poligon ve Yüzey Ağlarının Doğrultu Gözlemleri	77
6.3	Zincir Poligon ve Yüzey Ağlarının Dengelenmesi	78

6.3.1	Zincir Poligon Ađının Serbest Dengelenmesi	81
6.3.2	Zincir Poligon Ađının Bađlı Dengelenmesi	82
6.3.3	Yüzey Ađının Serbest Dengelenmesi	83
6.3.4	Yüzey Ađının Bađlı Dengelenmesi	83
6.3.5	Zincir Poligon ve Yüzey Ađlarına Ait Duyarlık Ölçütlerinin Katsayılar Matrisi Yönünden Karşılaştırılmaları	85
7.	SONUÇ ve ÖNERİLER	87
	FAYDALANILAN KAYNAKLAR	90
	EKLER	95
	ÖZGEÇMİŞ	112

Ö Z E T

Bilgisayarların nirengi ağlarının dengelenmesinde hesaplama aracı olarak kullanılmasına bağlanmasından sonra, dengeleme hesabı sonucunda sadece noktaların kesin koordinatlarının bulunması ile yetinilmemektedir. Çağımız bilim anlayışına uygun olarak bunların yanısıra duyarlıklarının da belirlenmesi amaçlanmaktadır. Nirengi ağlarında böyle bir amacın yerine getirilmesinde, nokta konumları için tanımlanmış duyarlılık (precision) ölçütlerinden faydalanılmaktadır.

Bu ölçütler iki parametreye bağlı olarak değişmektedir. Bunlardan biri, gözlemlerin duyarlıklarından faydalanarak kurulan Varyans-Kovaryans matrisi; diğeri de gözlemlerle noktaların koordinatları arasında yazılan sabit fonksiyonel bağıntılardan faydalanarak doğrusal biçimde kurulan düzeltme denklemlerinin katsayılar matrisidir. Ancak, gözlemlerin eşit koşullarda yapılmış olması durumunda bu parametreler birim ağırlıklı bir ölçünün karesel ortalama hatası ile katsayılar matrisinden meydana gelirler. Bu iki parametrenin noktaların konum duyarlıklarına etkisi birbirinden farklı olmaktadır.

Bu çalışmada katsayılar matrisinin noktaların konum duyarlılığına etkisinin araştırılması amaçlanmaktadır. Amaçlanan hedefler doğrultusunda konu, büyük nirengi ağlarının referans elipsoidinde jeodezik koordinatlarla iki boyutlu dengelenmesi biçiminde yedi bölüm olarak ele alınmıştır. Birinci bölüm giriş bölümüdür. İkinci bölümde, nirengi ağlarının dengelenmesinde kullanılan hesap modelleri genel olarak tanıtılmıştır. Üçüncü bölümde, büyük nirengi ağlarının jeodezik koordinatlarla iki boyutlu dengelenmesine ait düzeltme denklemlerinin kuruluş adımları ve bunların çözüm yöntemi verilmiştir. Dördüncü bölümde, dengelemeye ait fonksiyonel ve stokastik modellerin doğru kurulup kurulmadıklarının denetlenmesi matematik istatistik kurallarına göre yapılmaktadır. Beşinci bölümde, noktaların konumları ile ilgili duyarlılık ölçütleri tanımlanarak altıncı bölümde bunların farklı ağlardaki değişimleri sayısal olarak incelenmektedir. Yedinci bölümde, sonuç ve öneriler sunulmaktadır.

S U M M A R Y

The calculation of only adjusted coordinates in the adjustment of triangulation networks has become insufficient after using the computers in this field. In addition to these adjusted coordinates it is also intended to know their precision required by the present-day technology. To achieve this object, precision criterions defined for the point positions are used.

The criterions are a function of two parameters. One of the parameters is variance-covariance matrix which is formed by the use of observations precision, while the other is a coefficient matrix of observation equations arranged in linear form by the use of functional relationship between observations and point coordinates. However, in the case of observations made under same conditions, the parameters consist of mean square error of an observation of unit weight and coefficient matrix. The effect of these two parameters on position precisions differs each other.

The work presented in this thesis is concerned with the investigation of the effects of coefficient matrix on position precisions. The thesis is divided in seven chapters which cover two-dimensional adjustment of large triangulation networks with geodetic coordinates in reference ellipsoid. The first chapter is an introduction to the subject. The computation methods used in the adjustment of triangulation networks are surveyed in the second chapter. Formative steps and computation methods of observation equations relating to the two-dimensional adjustment of large triangulation networks with geodetic coordinates are given in chapter three. In chapter four, the test as to whether or not functional and stochastic models relating to the adjustment are made according to the mathematical statistics rules. Precision criterions concerning the position of points are defined in chapter five and their variations in various networks are numerically examined in chapter six. Finally conclusions and suggestions for further research are given in chapter seven.

1. G İ R İ Ő

Yeryüzünde, belirli büyüklükteki bir alanı kaplayacak biçimde araziye işaretlenen ve jeodezik ölçmeler sonucunda karşılıklı konumları belirlenen noktalardan oluşan ağa nirengi ağı denir. Nirengi ağı birkaç derecelik meridyen ve paralel dairesi yaylarını birden içerecek büyüklükte kurulmuş ise buna büyük nirengi ağı denir.

Büyük nirengi ağları, ölçü alanının büyüklüğüne göre farklı şekillerde kurulmaktadır. Bunlar ya doğrudan yüzey ağı biçiminde ya da üçgenlerden veya köşegenleri de gözlenmiş dörtgenlerden meydana gelen zincir ağı biçiminde kurulurlar. Bu ağların nokta koordinatlarını elde edebilmek için, bütün doğrultuları yanında enaz bir noktasının enlemi, boylamı ile bir kenarının azimutu ve uzunluğunun ölçülmesi gerekir. Ancak bu ölçülerin herbiri bazı ölçü hatalarını da içermektedir. Nirengi ağlarında ölçü hatalarından kaynaklanacak ağ deformasyonlarını önlemek amacıyla enlem, boylam, azimut ve uzunluk ölçüleri ağların uygun yerlerinde tekrarlanır.

Bu şekilde ölçülmüş olan büyük nirengi ağlarının dengelenmesinde, ağların büyüklüğüne uygun olarak seçilen hesap yüzeylerinden faydalanılır. Belirli büyüklükte kurulmuş ağlar için hesap yüzeyi olarak projeksiyon yüzeyleri kullanılabilmesine karşılık, projeksiyon sınırlarını aşan ağlar için referans elipsoidi kullanılır.

Nirengi ağlarının referans elipsoidine göre dengelenmesinde iki çeşit matematik model kurulabilir. Bunlardan biri, nirengi noktalarının yatay ve düşey konum bileşenlerinin birlikte değişken alındığı üç boyutlu ağ dengelemesi için kurulanıdır. Diğerinde noktaların düşey konum bileşenlerinin sabit alındığı iki boyutlu ağ dengelemesi için kurulanıdır. Nirengi ağlarının bu matematik modellerden herhangi birine göre dengelenmesinde noktalar için iki çeşit ürün elde edilmektedir. Bu ürün

bunların duyarlılıklarıdır. Nirengi ağlarının dengelenmesinde bütün noktalar için hesaplanması amaçlanan bu değerler, dengeleme hesabının matematik modelini oluşturan stokastik model (ölçülerin duyarlılığına ve aralarındaki korelasyona) ile fonksiyonel modele (düzeltme denklemlerine) bağımlıdır. Bu modellerin herhangi birinde meydana gelecek değişiklik nokta konumu ile konum duyarlılıklarını belirli bir ölçüde değiştirecektir.

Bu çalışmada, nokta konum duyarlılığının fonksiyonel model olan katsayılar matrisine göre değişimi ele alınarak konum duyarlılığının uygun olduğu durumların belirlenmesi amaçlanmaktadır. Bunun için, konu büyük nirengi ağlarının jeodezik koordinatlarla (Elipsoidal Coğrafi Koordinatlarla) iki boyutlu dengelenmesinde model kurma adımından başlanarak ele alınmıştır. Çalışmanın ilk bölümünde gerekli kuramsal bilgiler açıklandıktan sonra Türkiye birinci derece nirengi ağının yedinci poligonundan elde edilen ağlar üzerinde birçok denemeler yapılarak katsayılar matrisinin nokta konum duyarlılığına uygun şekilde etki edeceği durumlar belirlenmiştir.

2. NİRENGİ AĞLARINDA HESAP MODELİ KAVRAMINA GENEL BAKIŞ

Nirengi noktalarının karşılıklı konumları hernekadar doğrultularla birlikte uzunlukların ya da uzunluk oranlarının bilinmesiyle elde edilebilirse de geometrik gösterim kolaylıkları nedeniyle koordinatlarla konum belirlemesi alışlagelen bir gösterim şeklidir. Nirengi ağlarında böyle bir gösterim şeklinin kullanılabilmesi için, çeşit ve duyarlık yönünden farklı olan doğrultu ve uzunluk ölçülerinin nokta koordinatlarına dönüştürülmesi gerekir. Böyle bir dönüşümde belirli kurallara göre kullanılan kuramsal ilişkiler nirengi ağlarının hesap modelini ya da matematik modelini oluşturur. Nirengi ağlarının dengelemesinde temel ögeyi sağlayan böyle bir matematik model iki kısımdan meydana gelmektedir. Bunlardan biri, ölçülerle nokta koordinatları arasındaki sabit fonksiyonel ilişkilerden kurulan fonksiyonel model; diğeri de ölçüler arasındaki olası (probablistik) ilişkilere göre kurulan stokastik modeldir. Bir ağda bu modellerin doğru kurulması durumunda ancak matematik modelin doğruluğundan söz edilebilir.

2.1 Fonksiyonel Model

Nirengi ağlarında, ölçülerin gerçek değerleri için \bar{l} , koordinat bilinmeyenlerinin gerçek değerleri için de \bar{x} vektörel gösterimleri kullanılırsa bunların arasında,

$$\bar{l} = F(\bar{x}) \quad (2.1)$$

şeklinde bir fonksiyonel bağlantı kurulabilir. Uygulamada, ölçülerin ve koordinat bilinmeyenlerinin gerçek değerleri hiçbir zaman bilinemediğinden \bar{l} ve \bar{x} vektörleri de bilinemez. Bunların yerine, dengeleme işleminden elde edilen \hat{l} kesin (dengeli) ölçü vektörü ile \hat{x} kesin koordinat bilinmeyenleri vektörü bilinebilir. Bu nedenle, (2.1) fonksi-

$$\hat{\bar{1}} = F(\hat{x}) \quad (2.2)$$

olarak kurulmaktadır. Nirengi ağlarında, ölçülerden kurulan $\bar{1}$ ölçü vektörünün (2.2) bağıntısına tam olarak gerçekleştirilmesi beklenemez. Bu bağıntının gerçekleşmesi için, $\bar{1}$ ölçü vektörü dengeleme işlemlerinden hesaplanan v düzeltme vektörü kadar düzeltilir. Buna göre de $\hat{\bar{1}}$ dengeli ölçüler vektörü ile $\bar{1}$ ölçü vektörü arasında

$$\hat{\bar{1}} = \bar{1} + v$$

ilişkisi kurulabilir. Bu ilişkinin (2.2) de göz önüne alınması ile fonksiyonel modelin $\bar{1}$ ölçü vektörüne göre ifadesi için,

$$\bar{1} + v = F(\hat{x}) \quad (2.3)$$

bağıntısı bulunmuş olur. Genellikle doğrusal olmayan böyle fonksiyonel modellerin çözümü güç olduğundan bunların doğrusallaştırılması yapılır. Bunun için, yaklaşık koordinat bilinmeyenleri vektörü x^0 olmak üzere, (2.3) bağıntısında \hat{x} yerine,

$$\hat{x} = x^0 + x$$

eşitliği kullanılarak bu bağıntı Taylor serisine açılır. Bu seriye açılımdan (2.3) 'ün doğrusal ifadesi olarak,

$$\bar{1} + v = F(x^0) + \left(\frac{\partial F}{\partial \hat{x}} \right)_0 x + T_2 \quad (2.4)$$

bağıntısı elde edilmiş olur. x^0 yaklaşık koordinat bilinmeyenleri vektörünün \hat{x} göre yeteri yaklaşıklıkla belirlenmiş olması durumunda, (2.4) seri açılımı birinci dereceden terimlerde hemen yakınsayacağından işlemlerde bu serinin ikin-

x^0 vektörünün yeteri yaklaşıktaki belirlenememesi durumunda iterasyon işlemi yapılarak (2.4) 'ün yakınsaklığı sağlanır. Bu duruma göre de, (2.4) 'ün yerine, birinci dereceden doğrusal fonksiyonel model olarak,

$$\bar{l} + v = F(x^0) + \left(\frac{\partial F}{\partial \hat{x}} \right)_0 x \quad (2.5)$$

kullanılabilir. Burada, $F(x^0)$ bir vektörü; $\left(\frac{\partial F}{\partial \hat{x}} \right)_0$ de katsayılar matrisini belirlemektedir. Bu matris için A gösterimi kullanılırsa, bunun açık yazılışı,

$$A = \begin{bmatrix} \left(\frac{\partial F_1}{\partial \hat{x}_1} \right)_0 & \left(\frac{\partial F_1}{\partial \hat{x}_2} \right)_0 & \dots & \left(\frac{\partial F_1}{\partial \hat{x}_u} \right)_0 \\ \left(\frac{\partial F_2}{\partial \hat{x}_1} \right)_0 & \left(\frac{\partial F_2}{\partial \hat{x}_2} \right)_0 & \dots & \left(\frac{\partial F_2}{\partial \hat{x}_u} \right)_0 \\ \dots & \dots & \dots & \dots \\ \left(\frac{\partial F_n}{\partial \hat{x}_1} \right)_0 & \left(\frac{\partial F_n}{\partial \hat{x}_2} \right)_0 & \dots & \left(\frac{\partial F_n}{\partial \hat{x}_u} \right)_0 \end{bmatrix} \quad (2.6)$$

şeklinindedir. Bu durum (2.5) de, \bar{l} ve $F(x^0)$ vektörlerinden,

$$l = \bar{l} - F(x^0) \quad (2.6)$$

eşitliği ile bulunan l sabit terim vektörüyle birlikte göz önüne alınırsa, fonksiyonel modelin daha sade bir gösterimi olarak

$$l + v = A x \quad (2.7)$$

elde edilir. Ancak (2.7) , nirengi ağlarının dolaylı ölçüler yöntemine göre dengelenmesinde fonksiyonel model(düzeltilme denklemleri) için alışıla gelen bir gösterim şekli değildir. Bunun yerine daha çok kullanılan, (2.7) 'nın v vektörüne göre çözümünden elde edilen,

$$v = A x - l \quad (2.8)$$

şeklindeki gösterimdir. Buradaki A katsayılar matrisi ile l sabit terim vektörünün bilinmesi sonucunda aranan fonksiyonel model belirlenmiş olur.

2.2 Stokastik Model

Nirengi ağlarında noktaların karşılıklı konumlarını belirlemeye yarayan ölçü değerlerinin farklı koşullar altında elde edilmiş olmasının ağların matematik modellendirilmesinde gözardı edilmesi noktaların konumlarını hesaplamada bir yanlışlığı oluşturmaktadır. Böyle bir yanlışlıktan kurtulmak için ölçü duyarlılıklarının ve aralarındaki korelasyonların matematik modelde kullanılmaları gerekir. Matematik modelin raslantı(stokastik) bölümünü oluşturan bu ilişkiler, \bar{l} ölçü vektörünü ve \bar{l} de bu ölçü vektörünün gerçek değerini göstermek üzere,

$$\varepsilon = \bar{l} - \bar{l} \quad (2.9)$$

bağıntısı ile bulunan gerçek hata vektöründen faydalanarak,

$$K_{\bar{l}\bar{l}} = E\{\varepsilon\varepsilon^T\} = \begin{bmatrix} \sigma_1^2 & \rho_{12} \sigma_1 \sigma_2 & \dots & \rho_{1n} \sigma_1 \sigma_n \\ \rho_{21} \sigma_2 \sigma_1 & \sigma_2^2 & \dots & \rho_{2n} \sigma_2 \sigma_n \\ \vdots & \vdots & \ddots & \vdots \\ \rho_{n1} \sigma_n \sigma_1 & \rho_{n2} \sigma_n \sigma_2 & \dots & \sigma_n^2 \end{bmatrix}$$

şeklinde kurulan Varyans-Kovaryans matrisi yardımıyla matematik modele etki ettirilir. Bu matrisdeki, C_1^2 ölçülerinin varyanslarını, ρ_{ij} de i ve j indisine sahip ölçüler arasındaki korelasyonu göstermektedir.

Deneyisel çalışmalarda \bar{I} ölçü vektörünün gerçek değeri \bar{I} bilinemediğinden K_{II} matrisi yerine bu ölçü vektörünün kesin değerine göre (2.9) ve (2.10) bağıntılarındaki işlemlere benzer yolla kurulan,

$$K_{II} = \begin{bmatrix} m_1^2 & r_{12}^{m_1 m_2} & \dots & r_{1n}^{m_1 m_n} \\ r_{21}^{m_2 m_1} & m_2^2 & \dots & r_{2n}^{m_2 m_n} \\ \vdots & \vdots & \ddots & \vdots \\ r_{n1}^{m_n m_1} & r_{n2}^{m_n m_2} & \dots & m_n^2 \end{bmatrix} \quad (2.11)$$

deneyisel Varyans-Kovaryans matrisi kullanılır. Burada geçen m_i^2 değerleri i indisli ölçülerin deneyisel varyansını ve r_{ij} de i ve j indisli ölçüler arasındaki deneyisel korelasyonu göstermektedir.

\bar{I} ölçü vektörünü oluşturan ölçülerin arasında korelasyonun bulunmaması durumunda, $\rho_{ij} = 0$ ya da $r_{ij} = 0$ olacağından (2.10) ve (2.11) de verilen Varyans-Kovaryans matrislerinin köşegen dışı terimleri sıfır olur. Bu durumda K_{II} matrisi sadece ölçülerin varyanslarına içeren bir köşegen matris olur. Bunun tersi olan,

$$P = K_{II}^{-1} \quad (2.12)$$

matrisinden de ölçüler arasında bağıl ilişkiyi gösteren ağırlık matrisi elde edilmiş olur. Ölçülerin eşit koşullarda ya-

3. BÜYÜK NİRENGİ AĞLARININ JEODEZİK KOORDİNATLARLA İKİ BOYUTLU DENGELENMESİ

Nirengi ağları belirli büyüklüğü aşınca bunların tek projeksiyon yüzeyine sığmadıkları, projeksiyonun sınırlarını taşıtıkları görülür. Bu durumdaki ağların dengeleme işlemini artık projeksiyon yüzeylerinde yapmak olanaksızdır. Böyle ağların iki boyutlu dengelemesini ancak elipsoid yüzeyinde yapmak mümkün olur.

Nirengi ağlarının elipsoid yüzeyinde noktaların jeodezik koordinatları ile iki boyutlu dengelenmesinde iki çeşit matematik model kurulabilir. Bunlardan biri, noktaların elipsoidten olan yüksekliklerinin doğrudan düzeltme denklemlerinin katsayılar matrisine etki ettirilerek kurulanı; diğeri de bu yüksekliklerin uygun fonksiyonlarla düzeltme denklemlerinin sabit terim vektörüne etki ettirilerek kurulanıdır. Burada, bu iki yöntemi birbirinden ayırmak için, birinci yolla kurulan matematik modelle yapılan dengeleme işlemine; üçüncü boyutu da gözönüne alarak nirengi ağlarının iki boyutlu dengelemesi, ikinci yolla kurulan matematik modelle yapılan dengeleme işlemine de; nirengi ağlarının elipsoid yüzeyinde iki boyutlu dengelemesi adları verilmiştir.

Nirengi ağlarının bu yöntemlerden herhangi birine göre dengelenmesindeki sorunların başında, nirengi ağlarında yapılan çeşitli ölçülerin bu yöntemlere göre kurulacak matematik modellere uyacak şekilde indirgenmeleri yanında (2.8) ve (2.12) de kuramsal olarak verilmiş olan doğrusal düzeltme denklemlerinin kurulması ile ölçü ağırlıklarının belirlenmesi gelir. Bu bölümde, bu sorunlar ele alınarak, nirengi ağlarının referans elipsoidinde noktaların jeodezik koordinatları ile iki boyutlu dengelenmesinde, model kurma adımıyla başlanarak bu modellerle ilgili indirgeme işlemleri verilerek, büyük boyutlu normal denklemlerin çözüm adımına kadar yapılması gereken işlemler açıklanmaktadır.

3.1 Üçüncü Boyutu da Gözönüne Alarak Düzeltme Denklemlerinin İki Boyutlu Kurulmasına İlişkin İşlemler

Üçüncü boyutu da gözönüne alarak bir nirengi ağının iki boyutlu dengelenmesine ilişkin düzeltme denklemlerinin kurulmasında aşağıdaki işlem yolu takip edilir.

- Nirengi ağlarında ölçülen doğrultu, azimut, enlem ve boylam değerlerinin ölçü noktalarından geçen referans elipsoidinin yüzey normaline indirgenmesi,
- Noktaların kesin jeodezik koordinatları ile kurulan düzeltme denklemlerinin, bu noktaların yaklaşık jeodezik koordinatlarına göre doğrusallaştırılmalarında kullanılan azimut ve kenar uzunluklarının birinci dereceden diferansiyel denklemlerinin belirlenmesi,
- Referans elipsoidinin yüzey normaline indirgenmiş ölçüler için doğrusal düzeltme denklemlerinin kurulmasıdır.

3.1.1 Ölçülerin Elipsoid Normaline İndirgenmesi

Nirengi ağları ile ilgili doğrultu, azimut, enlem ve boylam değerleri, ölçü noktalarındaki çekül doğrultusuna göre ölçülürler. Halbuki, nirengi ağlarının üçüncü boyutu da gözönüne alarak jeodezik koordinatlarla iki boyutlu dengelenme-
sindeki düzeltme denklemlerinin kurulmasında ölçü noktalarından geçen elipsoid normallerinin belirlediği ölçü değerleri kullanılır. Nirengi ağlarında, elipsoid normalleri ile ilgili olan bu ölçü değerleri hiçbir zaman doğrudan ölçülemezler. Bunlar ancak ilgili oldukları noktalardaki çekül doğrultularına göre ölçülen doğrultu, azimut, enlem ve boylam değerlerinden indirgemeler yoluyla hesaplanabilirler.

3.1.1.1 Doğrultuların İndirgenmesi

Nirengi ağlarındaki doğrultular, bu ağın noktalarına kurulmuş bir teodolit aletinin asal eksenine göre ölçülürler. Bu asal eksenler aynı zamanda nirengi noktalarındaki çekül doğrultusunu gösterirler. Bu noktalardan geçen elipsoidin yüzey normalleri ise bunlardan hiçbiri ile çakışmazlar, daima aralarında belirli bir açı oluşur.

Halbuki, doğrultu düzeltme denklemlerinin kurulmasında, elipsoidin yüzey normallerinin belirlediği doğrultular kullanılır. Nirengi ağlarında doğrudan ölçülemeyen bu doğrultu değerleri ancak çekül doğrultusuna göre ölçülmüş doğrultu değerlerinden indirgemeyle bulunabilirler. Bu indirgeme işlemi, P_i ve P_k noktaları arasında gözlenen doğrultunun değeri l_{ik} olmak üzere; doğrultuların çekül sapmasından dolayı indirgenmesi olarak bilinen,

$$dl_{ik}^{(1)} = - (\zeta_i \sin A_{ik} - \eta_i \cos A_{ik}) \cot Z_{ik} \quad (3.13)$$

bağıntısı ile gerçekleştirilir/VANICEK-KRAKIWSKY 1982 s.346/. Buna göre de elipsoid normaline indirgenmiş $l_{ik}^{(e)}$ doğrultu değerleri,

$$l_{ik}^{(e)} = l_{ik} + dl_{ik}^{(1)} \quad (3.14)$$

bağıntısından elde edilir. Burada kullanılan ζ_i ve η_i değerleri, P_i noktasındaki çekül sapmasının kuzey-güney, doğu-batı bileşenlerini, A_{ik} ve Z_{ik} ise P_i ve P_k noktaları arasındaki doğrultunun azimutu ile başucu(zenit) açılarını göstermektedir. Bazı durumlarda (3.13) bağıntısında kullanılan Z_{ik} başucu açısı bilinmez. Bunun yerine noktaların h_i ve h_k elipsoidten olan yükseklikleri(uygulamada bunlar noktaların ortometrik yükseklikleri ile jeoid

Bu durumda, doğrultuların elipsoid normaline indirgenmesi için,

$$dl_{ik}^{(1)} = - \frac{h_k - h_i}{S_{ik}} (\xi_i \sin A_{ik} - \eta_i \cos A_{ik}) + \sin \frac{S_{ik}}{2a} (\xi_i \sin A_{ik} - \eta_i \cos A_{ik}) \quad (3.15)$$

Bağıntısı kullanılmaktadır/TUĞLUOĞLU 1975 s.14/. Bu bağıntıda geçen S_{ik} , P_i ve P_k noktaları arasındaki uzaklığı; a ise hesaplamada kullanılan referans elipsoidinin büyük yarı eksenini göstermektedir. Bu indirgeme miktarları Türkiye birinci derece nirengi ağının yedinci poligonunda hesaplanarak bazı doğrultular için bulunan sonuçlar çizelge.1 de verilmiştir.

D.N.	B.N.	ξ_i (")	η_i (")	A_{ik} (g)	h_i (m.)	h_k (m.)	$dl_{ik}^{(1)}$ (cc)
7125	7142	-0.4	-7.4	168.31	843	1729	0.65
7125	7143	-0.4	-7.4	230.59	844	1582	0.30
7126	7129	-1.5	-3.4	85.30	1168	1486	-0.01
7084	7089	-1.3	-0.3	10.62	1084	1523	0.00
7213	7159	-1.5	-0.6	279.21	1249	1440	-0.01
7166	7160	-7.7	-0.1	86.00	1532	900	-0.49

Çizelge.1

3.1.1.2 Astronomik Ölçülerin İndirgenmesi

Nirengi ağlarının yeryuvarına göre konumunu ve yönünü belirlemek için, bu ağların bazı noktalarında astronomik olarak enlem Φ_i , boylam Λ_i ve azimut α_{ik} değerleri ölçülür. Buna karşılık, nirengi ağlarının referans elipsoidine

göre jeodezik koordinatlarla iki boyutlu dengelenmesinde, bu astronomik değerlere karşılık gelen jeodezik enlem φ_1 , boylam λ_1 ve azimut α_{1k} değerleri kullanılır. Jeodezik enlem, boylam ve azimut değerleri nirengi ağlarında doğrudan ölçülemezler. Bunlar ancak astronomik ölçülerle elde edilen enlem, boylam ve azimut değerlerinden hesaplanabilirler. Astronomik ölçülerin indirgemesi olarak bilinen bu hesaplama işlemi, ζ_1 ve η_1 ölçü noktasındaki çekül sapmasının kuzey-güney, doğu-batı bileşeni olmak üzere,

$$\varphi_1 = \Phi_1 - \zeta_1 \quad (3.16)$$

$$\lambda_1 = \Lambda_1 - \eta_1 \operatorname{Sec} \varphi_1 \quad (3.17)$$

ve

$$\alpha_{1k}^{(e)} = \alpha_{1k}^* - \eta_1 \operatorname{Tan} \varphi_1 - (\zeta_1 \operatorname{Sin} \alpha_{1k} - \eta_1 \operatorname{Cos} \alpha_{1k}) \operatorname{Cot} Z_{1k} \quad (3.18)$$

bağıntıları ile gerçekleştirilmektedir/HEISKANEN-MORITZ 1967 s.184/. Azimut ölçülerinin elipsoid normaline indirgenmesinde kullanılan (3.18) bağıntısında η_1 'nin,

$$\eta_1 = (\Lambda_1 - \lambda_1) \operatorname{Cos} \varphi_1 \quad (3.19)$$

olduğu dikkate alınırsa bunun yerine başka bir şekilde ifade edilmiş olan,

$$\alpha_{1k}^{(e)} = \alpha_{1k}^* - (\Lambda_1 - \lambda_1) \operatorname{Sin} \varphi_1 - (\zeta_1 \operatorname{Sin} \alpha_{1k} - \eta_1 \operatorname{Cos} \alpha_{1k}) \operatorname{Cot} Z_{1k} \quad (3.20)$$

Azımut ölçülerinin elipsoid normaline indirgenmesine ait bağıntılarla ilgili birkaç nümerik değer, Türkiye birinci derece nirengi ağının yedinci poligonundaki bazı doğrultular için çizelge.1'de faydalanarak hesaplanmıştır. Bunlarla ilgili sonuçlar çizelge.2 'de görülmektedir.

D.N.	B.N.	φ_1 (o)	η_1 (")	$d_{ik}^{(1)}$ (cc)	$\alpha_{ik}^{(e)} - \alpha_{ik}^*$ (cc)
7125	7142	40.52	-7.4	0.65	20.18
7125	7143	40.52	-7.4	0.30	19.82
7126	7129	40.57	-3.4	0.01	8.99
7084	7089	39.39	-0.3	0.00	0.76
7213	7159	39.52	-0.6	-0.01	1.52
7166	7160	39.29	-0.1	-0.49	-0.24

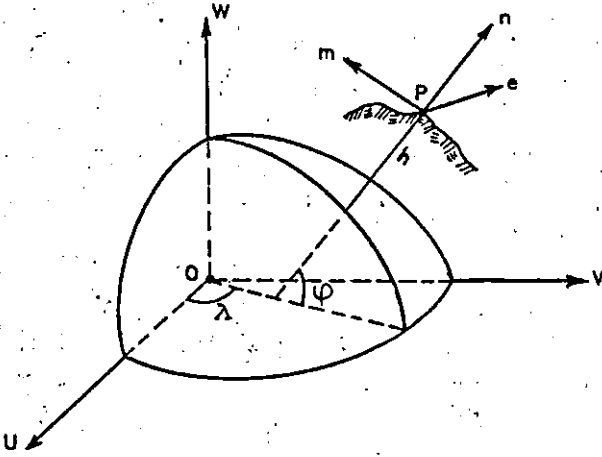
Çizelge.2

3.1.2 Azımut ve Kenar Uzunluklarının Birinci Dereceden Diferansiyelleri

Üçüncü boyutu da gözönüne alarak nirengi ağlarının jeodezik koordinatlarla iki boyutlu dengelenmesinde elipsoid normaline indirgenmiş doğrultu, azımut ve uzunluk ölçülerinin düzeltme denklemleri noktaların kesin jeodezik koordinatları ile kurulmaktadır. Düzeltme denklemlerinin kurulmasında bu kesin değerler bilinemez. Ancak bunların yaklaşık değerleri bilinebilir. Düzeltme denklemlerinin bu yaklaşık değerlerle kurulmasında, azımut ve kenar uzunluklarının birinci dereceden diferansiyellerine ihtiyaç duyulmaktadır. Bu nedenle, azımut ve kenar uzunluklarının birinci dereceden diferansiyellerinin belirlenmesi gerekir. Bu işlem için, elipsoid normaline indirgenmiş ölçüler referans elipsoidinin yüzeyinde bulunmadıklarından elipsoidin yüzeyinde tanımlanan koordinat sistemleri kullanılamaz. Bunların elde edilmesinde, ni-

rengi ağlarının referans elipsoidine göre üç boyutlu dengelenmesinde kullanılan koordinat sistemlerinden faydalanılır. Bu koordinat sistemleri şunlardır:

a- Jeodezik Ortak Dik Koordinat Sistemi(U,V,W)



Şekil.1

Bu koordinat sisteminin ağırlık merkezi referans elipsoidinin ağırlık merkezindedir. W eksenini elipsoidin dönme eksenini olan küçük yarı eksenine ile çakışmaktadır. U eksenini, Greenwich meridyen düzleminde W eksenine dik bir doğrudur. V koordinat sisteminin merkezinde her iki eksene dik ve sağel kuralına uyacak yöndeki bir doğrudur.

b- Jeodezik Koordinat Sistemi(φ , λ , h)

Bu koordinat sistemi, bir P_i nirengi noktasından geçen elipsoidin yüzey normalinin jeodezik ortak dik koordinat sisteminin eksenlerine göre doğrultusunu belirleyen φ jeodezik enlemi, λ jeodezik boylamı ile bu noktanın h elipsoid yüksekliğinin meydana getirdiği bir koordinat sistemidir (Şekil.1).

Bu koordinat sisteminden jeodezik ortak dik koordinat sistemine geçiş N , P_1 nirengi noktasının elipsoid yüzeyine bu noktadan geçen elipsoid normali boyunca izdüşürülmesiyle elde edilen noktadaki ikinci ana eğrilik yarıçapı olmak üzere,

$$U = (N + h) \cos \varphi \cos \lambda \quad (3.21-a)$$

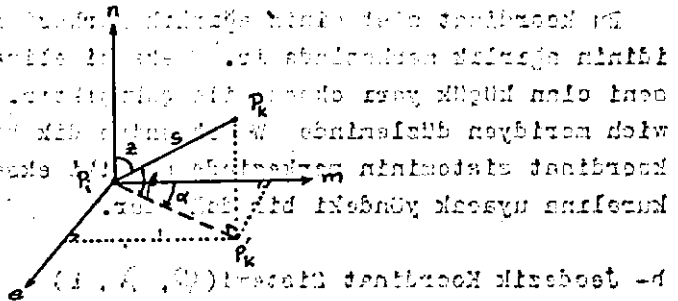
$$V = (N + h) \cos \varphi \sin \lambda \quad (3.21-b)$$

$$W = [N(1-e^2) + h] \sin \varphi \quad (3.21-c)$$

bağıntıları ile sağlanır. Burada, e değeri, referans elipsoidinin birinci eksantirisitesidir/RAPP 1980 s.2/.

c- Jeodezik Yerel Dik Koordinat Sistemi(m,e,n)

Başlangıç noktası referans elipsoidinin ağırlık merkezinde bulunan jeodezik ortak dik ve jeodezik koordinat sistemlerinden başka yine referans elipsoidi ile ilgili koordinat sistemleri tanımlamak mümkündür. Bunlardan biri, orijini P_1 ölçü noktasında bulunan jeodezik yerel dik koordinat sistemi(m,e,n) dir.



Sekil.2^e

Bu koordinat sisteminin n eksenini, P_1 ölçü noktasından geçen elipsoidin yüzey normalidir. m eksenini, bu noktadan geçen elipsoid normalini içinde bulunduran jeodezik meridyen düzleminde n eksenine dik bir doğrudur. e eksenini de

d- Jeodezik Yerel Kutupsal Koordinat Sistemi (α, Z, s)

Jeodezik uygulamalarda, yine orijini P_1 noktasında bulunan diğer bir koordinat sistemi olarak (α, Z, s) kullanılır. Bu koordinat sistemindeki α değeri, P_1 ve P_k noktaları arasındaki s kenarının m eksenine ile yaptığı açıklık açısını, Z değeri de bu kenarın P_1 noktasındaki zenit açısını göstermektedir. Bazı durumlarda, hesaplama işlemlerine uygunluğu nedeniyle Z açısı yerine, bunu dik açıya tamamlayan β yükseklik açısı kullanılır. Buna göre de, (α, Z, s) yerine (α, β, s) kullanılır (şekil.2).

e- Jeodezik Yerel Koordinat Sistemleri Arasındaki Dönüşüm

Jeodezik yerel koordinat sistemleri aynı mekânı paylaştıklarından bunların arasında dönüşüm yapmak mümkündür. Buna göre şekil.2 'den faydalanarak, bir noktanın konumu jeodezik yerel kutupsal koordinat sisteminde belli iken bu noktanın jeodezik yerel dik koordinat sistemindeki konumu,

$$m = s \cos \alpha \cos \beta \quad (3.22-a)$$

$$e = s \sin \alpha \cos \beta \quad (3.22-b)$$

$$n = s \sin \beta \quad (3.22-c)$$

bağıntılarından bulunabilir. Bunun tersi durumunda ise,

$$\alpha = \arctan \frac{e}{m} \quad (3.23-a)$$

$$\beta = \arctan \frac{n}{\sqrt{m^2 + e^2}}$$

$$\text{veya } \beta = \arcsin \frac{n}{s} \quad (3.23-b)$$

$$s = \sqrt{m^2 + e^2 + n^2} \quad (3.23-c)$$

bağıntıları kullanılır.

f- Jeodezik Koordinatlardan Jeodezik Yerel Kutupsal Koordinatların Hesabı

P_1 ve P_k noktalarının $\varphi_1, \lambda_1, h_1, \varphi_k, \lambda_k$ ve h_k jeodezik koordinatları biliniyorsa, bunların jeodezik ortak dik koordinatları (3.21) bağıntılarından elde edilebilir. Bu noktaların jeodezik ortak dik koordinatları arasındaki fark,

$$\Delta U = U_k - U_1 \quad (3.24-a)$$

$$\Delta V = V_k - V_1 \quad (3.24-b)$$

$$\Delta W = W_k - W_1 \quad (3.24-c)$$

bağıntılarından hesaplanabilir. Buna göre de, jeodezik ortak dik koordinat farklarından jeodezik yerel dik koordinatları, bunların arasındaki dönüşüm bağıntılarından faydalanarak,

$$\begin{bmatrix} m \\ e \\ n \end{bmatrix} = \begin{bmatrix} -\sin\varphi \cos\lambda & -\sin\varphi \sin\lambda & \cos\varphi \\ -\sin\lambda & \cos\lambda & 0 \\ \cos\varphi \cos\lambda & \cos\varphi \sin\lambda & \sin\varphi \end{bmatrix} \begin{bmatrix} \Delta U \\ \Delta V \\ \Delta W \end{bmatrix}$$

bağıntılarından elde edilebilir. (3.25)

şeklinde hesaplanabilir/RAPP 1980-s.115/. Bu bağıntıda, her iki koordinat sistemleri arasındaki dönüşümü gerçekleştiren,

$$R = \begin{bmatrix} -\sin\varphi \cos\lambda & -\sin\varphi \sin\lambda & \cos\varphi \\ -\sin\lambda & \cos\lambda & 0 \\ \cos\varphi \cos\lambda & \cos\varphi \sin\lambda & \sin\varphi \end{bmatrix}$$

kare matrisi ortogonal bir matris olduğundan tersi transpozisine eşittir. Buna göre de $R^T = R^{-1} = R^T$ birim matris olur.

(3.25) 'den elde edilen jeodezik yerel dik koordinat değerlerini (3.23) denklemlerinde gözönüne almakla jeodezik yerel kutupsal koordinatların hesaplanmasında kullanılan,

$$\alpha = \arctan \left(\frac{-\sin \lambda \Delta U + \cos \lambda \Delta V}{-\sin \varphi \cos \lambda \Delta U - \sin \varphi \sin \lambda \Delta V + \cos \varphi \Delta W} \right)$$

ve

$$\beta = \arcsin \left(\frac{\cos \varphi \cos \lambda \Delta U + \cos \varphi \sin \lambda \Delta V + \sin \varphi \Delta W}{s} \right)$$

$$s = \sqrt{\Delta U^2 + \Delta V^2 + \Delta W^2}$$

(3.26)

bağıntıları bulunmaktadır/FUBARA 1975 s.24/.

Nirengi ağlarının doğrultu, azimut ve uzunlukları ile ilgili doğrusal düzeltme denklemlerinin kurulmasında (3.26) bağıntılarının birinci dereceden diferansiyelleri kullanılmaktadır. Bunların elde edilmesinde (3.25) 'den hareket ederek,

$$\begin{bmatrix} dm \\ de \\ dn \end{bmatrix} = R \begin{bmatrix} d \Delta U \\ d \Delta V \\ d \Delta W \end{bmatrix} + \frac{\partial R}{\partial \varphi} \begin{bmatrix} \Delta U \\ \Delta V \\ \Delta W \end{bmatrix} d\varphi + \frac{\partial R}{\partial \lambda} \begin{bmatrix} \Delta U \\ \Delta V \\ \Delta W \end{bmatrix} d\lambda$$

(3.27)

diferansiyel denklemleri bulunur. Bu denklemlerde,

$$\frac{\partial R}{\partial \varphi} \begin{bmatrix} \Delta U \\ \Delta V \\ \Delta W \end{bmatrix} = \begin{bmatrix} -n \\ 0 \\ m \end{bmatrix} ; \quad \frac{\partial R}{\partial \lambda} \begin{bmatrix} \Delta U \\ \Delta V \\ \Delta W \end{bmatrix} = \begin{bmatrix} -e \sin \varphi \\ -\Delta U \cos \lambda - \Delta V \sin \lambda \\ e \cos \varphi \end{bmatrix}$$

oldukları gözönüne alınarak,

$$\begin{bmatrix} dm \\ ds \\ dn \end{bmatrix} = R \begin{bmatrix} d \Delta U \\ d \Delta V \\ d \Delta W \end{bmatrix} + \begin{bmatrix} -n \\ 0 \\ m \end{bmatrix} d\varphi + \begin{bmatrix} -e \sin \varphi \\ -\Delta U \cos \lambda, -\Delta V \sin \lambda \\ e \cos \varphi \end{bmatrix} d\lambda$$

(3.28)

denklemlerinden dm , ds ve dn diferansiyel değerleri elde edilir. Bunların, (3.23) denklemlerinin diferansiyelleri olan,

$$d\alpha = \frac{1}{s \cos \beta} (\cos \alpha ds - \sin \alpha dm)$$

$$d\beta = \frac{s dn - n ds}{s^2 \cos \beta}$$

ve (3.26) 'dan aynı yolla elde edilen,

$$ds = \frac{\Delta U d \Delta U + \Delta V d \Delta V + \Delta W d \Delta W}{s}$$

bağıntılarında gözönüne almakla jeodezik yerel kutupsal koordinatların diferansiyellerini, jeodezik ortak dik koordinatların diferansiyelleri cinsinden veren bağıntılar bulunmuş olur. Bu denklemlerde, (3.21) denklemlerinin diferansiyelleri olan,

$$\frac{\partial U}{\partial \varphi} = -(M+h) \sin \varphi \cos \lambda ; \quad \frac{\partial U}{\partial \lambda} = -(N+h) \cos \varphi \sin \lambda$$

$$\frac{\partial U}{\partial h} = \cos \varphi \cos \lambda ; \quad \frac{\partial V}{\partial \varphi} = -(M+h) \sin \varphi \sin \lambda$$

$$\frac{\partial V}{\partial h} = (N+h) \cos \varphi \cos \lambda ; \quad \frac{\partial V}{\partial \lambda} = \cos \varphi \sin \lambda$$

$$\frac{\partial W}{\partial \varphi} = (M+h) \cos \varphi \quad ; \quad \frac{\partial W}{\partial \lambda} = 0 \quad ; \quad \frac{\partial W}{\partial n} = \sin \varphi$$

değerlerini, P_1 ve P_k noktalarının jeodezik enlem ve boylam değerlerine göre hesaplayıp yerlerine yazmakla, jeodezik yerel kutupsal koordinatların diferansiyeli için,

$$d\alpha_{ik} = d_1 d\varphi_1 + d_2 d\lambda_1 + d_3 dh_1 + d_4 d\varphi_k + d_5 d\lambda_k + d_6 dh_k$$

$$d\beta_{ik} = e_1 d\varphi_1 + e_2 d\lambda_1 + e_3 dh_1 + e_4 d\varphi_k + e_5 d\lambda_k + e_6 dh_k$$

$$ds_{ik} = f_1 d\varphi_1 + f_2 d\lambda_1 + f_3 dh_1 + f_4 d\varphi_k + f_5 d\lambda_k + f_6 dh_k$$

(3.29)

bağıntıları elde edilmiş olur. Bunlarla ilgili katsayılar, P_1 ve P_k noktalarının jeodezik koordinatlarına göre aşağıdaki eşitliklerden hesaplanmaktadır.

$$d_1 = \frac{(M_1 + h_1) \sin \alpha_{ik}}{s_{ik} \cos \beta_{ik}} + \tan \beta_{ik} \sin \alpha_{ik}$$

$$d_2 = - \frac{(N_1 + h_1) \cos \varphi_1 \cos \alpha_{ik}}{s_{ik} \cos \beta_{ik}} + \sin \varphi_1 -$$

$$- \cos \varphi_1 \tan \beta_{ik} \cos \alpha_{ik}$$

$$d_3 = 0$$

$$d_4 = - \frac{(M_k + h_k) \sin \alpha_{ik}}{s_{ik} \cos \beta_{ik}} \left[\sin \varphi_1 \sin \varphi_k \cos (\lambda_k - \lambda_1) + \right.$$

$$\left. + \cot \alpha_{ik} \sin \varphi_k \sin (\lambda_k - \lambda_1) + \cos \varphi_1 \cos \varphi_k \right]$$

$$d_5 = \frac{(N_k + h_k) \cos \varphi_k \cos \alpha_{ik}}{s_{ik} \cos \beta_{ik}} \left[\cos (\lambda_k - \lambda_1) - \sin \varphi_1 \sin (\lambda_k - \lambda_1) \tan \alpha_{ik} \right]$$

$$d_6 = \frac{\cos \varphi_k \cos \alpha_{ik}}{s_{ik} \cos \beta_{ik}} \left\{ \tan \alpha_{ik} \left[\sin \varphi_1 \cos (\lambda_k - \lambda_1) - \tan \varphi_k \cos \varphi_1 \right] + \sin (\lambda_k - \lambda_1) \right\}$$

$$e_1 = \frac{(M_i + h_i) \sin \beta_{ik} \cos \alpha_{ik}}{s_{ik}} + \cos \alpha_{ik}$$

$$e_2 = \frac{(N_i + h_i) \sin \beta_{ik} \sin \alpha_{ik} \cos \varphi_1}{s_{ik}} + \cos \varphi_1 \sin \alpha_{ik}$$

$$e_3 = -\frac{\cos \beta_{ik}}{s_{ik}} + \frac{\sin \beta_{ik} (\lambda_k - \lambda_1)}{s_{ik} \cos \beta_{ik}}$$

$$e_4 = -\frac{(M_k + h_k)}{s_{ik} \cos \beta_{ik}} \left[\cos \varphi_1 \sin \varphi_k \cos (\lambda_k - \lambda_1) - \sin \varphi_1 \cos \varphi_k - \sin \beta_{ik} \cos \beta_{ki} \cos \alpha_{ki} \right] + \frac{\sin \beta_{ik} (\lambda_k - \lambda_1)}{s_{ik} \cos \beta_{ik}}$$

$$e_5 = -\frac{(N_k + h_k) \cos \varphi_k}{s_{ik} \cos \beta_{ik}} \left[\cos \varphi_1 \sin (\lambda_k - \lambda_1) - \sin \beta_{ik} \cos \beta_{ki} \sin \alpha_{ki} \right] + \frac{\sin \beta_{ik} (\lambda_k - \lambda_1)}{s_{ik} \cos \beta_{ik}}$$

$$e_6 = \frac{1}{s_{ik} \cos \beta_{ik}} \left[\cos \varphi_1 \cos \varphi_k \cos (\lambda_k - \lambda_1) + \sin \varphi_1 \sin \varphi_k + \sin \beta_{ik} \sin \beta_{ki} \right]$$

$$f_1 = - (M_1 + h_1) \cos \beta_{ik} \cos \alpha_{ik}$$

$$f_2 = - (N_1 + h_1) \cos \beta_{ik} \sin \alpha_{ik} \cos \varphi_1$$

$$f_3 = - \sin \beta_{ik}$$

$$f_4 = - (M_k + h_k) \cos \beta_{ki} \cos \alpha_{ki}$$

$$f_5 = - (N_k + h_k) \cos \beta_{ki} \sin \alpha_{ki} \cos \varphi_k$$

$$f_6 = - \sin \beta_{ki}$$

g- Azimut ve Kenar Uzunluğunun Birinci Dereceden Diferansiyellerinin Üçüncü Boyutu da Gözönüne Alarak Belirlenmesi

Nirengi ağlarının üçüncü boyutu da gözönüne alarak iki boyutlu dengelenmelerinde sadece noktaların yatay konumları ile uğraşıldığından yükseklikleri sabit alınmaktadır. Buna göre (3.29) 'da verilmiş olan diferansiyel denklemlerde, noktaların yükseklikleri ile ilgili olan $d\beta_{ik}$ diferansiyel denklemleri gözardı edilerek geriye kalan denklemlerde,

$$dh_1 = 0$$

$$dh_k = 0$$

alındığında, üçüncü boyutu da gözönüne alarak düzeltme denklemlerinin iki boyutlu kurulmasında kullanılan azimut ve kepler uzunluğunun birinci dereceden diferansiyelleri için,

$$\begin{aligned}
 d\alpha_{ik} = & \left[\frac{(M_i + h_i) \sin \alpha_{ik}}{s_{ik} \cos \beta_{ik}} + \tan \beta_{ik} \sin \alpha_{ik} \right] d\varphi_i \\
 & - \left[\frac{(N_i + h_i) \cos \varphi_i \cos \alpha_{ik}}{s_{ik} \cos \beta_{ik}} - \sin \varphi_i + \right. \\
 & \left. + \cos \varphi_i \cos \alpha_{ik} \tan \beta_{ik} \right] d\lambda_i \\
 & - \frac{(M_k + h_k) \sin \alpha_{ik}}{s_{ik} \cos \beta_{ik}} \left[\sin \varphi_i \sin \varphi_k \cos (\lambda_k - \lambda_i) \right. \\
 & \left. + \cot \alpha_{ik} \sin \varphi_k \sin (\lambda_k - \lambda_i) + \cos \varphi_i \cos \varphi_k \right] d\varphi_k \\
 & + \frac{(N_k + h_k) \cos \varphi_k \cos \alpha_{ik}}{s_{ik} \cos \beta_{ik}} \left[\cos (\lambda_k - \lambda_i) - \right.
 \end{aligned}$$

$-\sin \varphi_i \sin (\lambda_k - \lambda_i) \tan \alpha_{ik} \left. \right] d\lambda_k$ (3.29-a) bu denklemler üç boyutlu kepler uzunluğunun diferansiyelleri için (PS.6) denklemlerini kullanılarak elde edilmiştir.

ve

$$ds_{ik} = - (M_i + h_i) \cos \beta_{ik} \cos \alpha_{ik} d\varphi_i$$

$$- (N_i + h_i) \cos \varphi_i \cos \beta_{ik} \sin \alpha_{ik} d\lambda_i$$

$$- (M_k + h_k) \cos \beta_{ki} \cos \alpha_{ki} d\varphi_k$$

$$+ (N_k + h_k) \cos \varphi_k \cos \beta_{ki} \sin \alpha_{ki} d\lambda_k \quad (3.29-b)$$

diferansiyel denklemleri elde edilmiş olur.

3.1.3 Doğrusal Düzeltme Denklemlerinin Kurulması

Nirengi ağlarının üçüncü boyutu da gözönüne alarak iki boyutlu dengelenmesinde, dengeleme hesabının fonksiyonel modelini meydana getiren doğrusal düzeltme denklemleri, bölüm 2.1 'de açıklanan işlem akışına uygun biçimde, (3.29-a) ve (3.29-b) 'de verilmiş olan diferansiyel denklemlerden faydalanarak kurulurlar. Bu bölümde, bunların kuruluşu ve-rilecektir.

3.1.3.1 Doğrultu Düzeltme Denklemi

Bir nirengi ağında, P_1 noktasından komşu P_k noktasına ölçülmüş bir doğrultunun P_1 noktasından geçen elipsoid normaline indirgenmiş değeri $l_{1k}^{(e)}$ olsun. Bunun v_{1k} düzeltme denklemi, P_1 noktasındaki yöneltme bilinmiyeni z_1 ve azimutu α_{1k} olmak üzere,

$$v_{1k} = -z_1 + \alpha_{1k} - l_{1k}^{(e)} \quad (3.30)$$

dir. Bu denklemdeki z_1 ve α_{1k} ; yöneltme bilinmiyeni ile azimutun kesin değerleri olduklarından bunlar düzeltme denklemlerinin kuruluş adımıda bilinemezler. Bu adımda ancak bunların yaklaşık değerleri bilinebilir. Yöneltme bilinmiyeni için z_1^0 , azimut için de α_{1k}^0 yaklaşık değerleri kullanıldığında (3.30) denklemi,

$$v_{1k} = -Az_1 + d\alpha_{1k} + \alpha_{1k}^0 - l_{1k}^{(e)} - z_1^0 \quad (3.31)$$

şeklinde yazılabilir. Bu denklemdeki Az_1 yöneltme bilinmiyeninin düzeltilmesi, P_1 noktasının kesin ve yaklaşık konumunun meridyenleri arasındaki meridyen yakınsaması,

$$c = (\lambda_1 - \lambda_1^0) \sin \varphi_1 = d \lambda_1 \sin \varphi_1 \quad (3.32) \quad 5.5.5$$

ile bu noktadaki dz_1 kesin yöneltme bilinmiyeni düzeltmesi-
nin toplamı olan,

$$\Delta z_1 = dz_1 + c \quad (3.33)$$

şeklindedir.

$d\alpha_{ik}$ 'nın (3.29-a) da verilmiş değeri, (3.31) de göz-
önüne alındığında doğrusallaştırılmış doğrultu düzeltme denk-
lemi için,

$$v_{ik} = -dz_1 + \left[\frac{(M_1 + h_1) \sin \alpha_{ik}}{s_{ik} \cos \beta_{ik}} + \tan \beta_{ik} \sin \alpha_{ik} \right] d\varphi_1$$

$$- \left[\frac{(N_1 + h_1) \cos \varphi_1 \cos \alpha_{ik}}{s_{ik} \cos \beta_{ik}} + \cos \varphi_1 \cos \alpha_{ik} \tan \beta_{ik} \right] d\lambda_1$$

$$+ \frac{(M_k + h_k) \sin \alpha_{ik}}{s_{ik} \cos \beta_{ik}} \left[\sin \varphi_1 \sin \varphi_k \cos (\lambda_k - \lambda_1) \right.$$

$$\left. + \cot \alpha_{ik} \sin \varphi_k \sin (\lambda_k - \lambda_1) + \cos \varphi_1 \cos \varphi_k \right] d\varphi_k$$

$$+ \frac{(N_k + h_k) \cos \varphi_k \cos \alpha_{ik}}{s_{ik} \cos \beta_{ik}} \left[\cos (\lambda_k - \lambda_1) \right.$$

$$\left. - \sin \varphi_1 \sin (\lambda_k - \lambda_1) \tan \alpha_{ik} \right] d\lambda_k + \alpha_{ik}^0 - 1_{ik}^{(e)} - z_{ik}^0$$

elde edilmiş olur. Bu düzeltme denkleminde geçen α_{ik}° , β_{ik} ve s_{ik} değerleri, P_1 ve P_k noktalarının yaklaşık jeodezik koordinatlarını kullanarak (3.26) eşitliklerinden hesaplanır. z_1° yöneltme bilinmiyeninin yaklaşık değeri olarak, P_1 noktasında gözlenen n adet doğrultudan başlangıç doğrultusu için hesaplanan yaklaşık azimut alınabileceği gibi genellikle,

$$z_1^{\circ} = \frac{[\alpha_{ik}^{\circ} - l_{ik}^{(e)}]}{n}$$

bağıntısı ile hesaplanan değer alınmaktadır. Ayrıca, bu düzeltme denklemlerinde geçen M ve N değerleri de, a kullanılan referans elipsoidinin büyük yarı eksenini, e birinci eksantirisite değeri olmak üzere,

$$M_j = \frac{a(1-e^2)}{(1-e^2 \sin^2 \varphi_j)^{3/2}} \quad (3.35-a)$$

$$N_j = \frac{a}{(1-e^2 \sin^2 \varphi_j)^{1/2}} \quad (3.35-b)$$

($j = 1$ ya da k)

bağıntılarından noktaların yaklaşık jeodezik koordinatlarına göre hesaplanmaktadır.

3.1.3.2 Uzunluk Düzeltme Denklemi

P_1 ve P_k komşu nirengi noktalarının sınırladığı kenarın uzunluk ölçü değeri s_{1k} ve bunun (3.26) 'dan noktaların yaklaşık jeodezik koordinatları ile hesaplanan değeri s_{1k}° olsun.

Bunlara göre bu kenarın $v_{s_{ik}}$ düzeltme denklemi,

$$v_{s_{ik}} = ds_{ik} + s_{ik}^0 - s_{ik} \quad (3.36)$$

olarak yazılabilir. Nirengi ağlarının dolaylı ölçüler yöntemi-ne göre dengelenmesinde bilinmeyenler olarak noktaların koordinatları seçildiğinden bu şekilde yazılmış düzeltme denklemleri doğrudan kullanılmaz. Bunların yerine noktaların koordinatlarına göre ifade edilmiş düzeltme denklemleri kullanılır. Bu düzeltme denklemleri, (3.29-b)'nin (3.36) da gözönüne alınması ile,

$$\begin{aligned} v_{s_{ik}} = & - (M_1 + h_1) \cos \alpha_{ik} \cos \beta_{ik} d\varphi_1 \\ & - (N_1 + h_1) \cos \varphi_1 \sin \alpha_{ik} \cos \beta_{ik} d\lambda_1 \\ & - (M_k + h_k) \cos \alpha_{ki} \cos \beta_{ki} d\varphi_k \\ & - (N_k + h_k) \cos \varphi_k \sin \alpha_{ki} \cos \beta_{ki} d\lambda_k \\ & + s_{ik}^0 - s_{ik} \end{aligned} \quad (3.37)$$

şeklinde elde edilirler. Bu denklemin katsayıları noktaların yaklaşık jeodezik koordinatlarına göre (3.26) ve (3.35)'den faydalanarak hesaplanır.

3.1.3.3 Azimut Düzeltme Denklemi

Elipsoidin normaline indirgenmiş $\alpha_{ik}^{(e)}$ azimutu, başlangıç doğrultusu P_i noktasının jeodezik meridyenine göre sıfırlanmış bir açıdır. Bu şekilde elde edilmiş $\alpha_{ik}^{(e)}$ azimut açısının $v_{\alpha_{ik}}^{(e)}$ doğrusal düzeltme denklemi, P_i ve P_k noktaları

noktalarının yaklaşık jeodezik koordinatlarından (3.26) 'ya göre hesaplanan α_{ik}^0 yaklaşık değerini kullanarak,

$$v_{\alpha_{ik}} = d\alpha_{ik} + \alpha_{ik}^0 - \alpha_{ik}^{(e)} \quad (3.38)$$

şeklindedir. Burada $d\alpha_{ik}$ 'nın (3.29-a) daki ifadesi yerine yazıldığında doğrusal azimut düzeltme denklemi için,

$$\begin{aligned} v_{\alpha_{ik}} = & \left[\frac{(M_1 + h_1) \sin \alpha_{ik}}{s_{ik} \cos \beta_{ik}} + \tan \beta_{ik} \sin \alpha_{ik} \right] d\varphi_1 \\ & - \left[\frac{(N_1 + h_1) \cos \varphi_1 \cos \alpha_{ik}}{s_{ik} \cos \beta_{ik}} - \sin \varphi_1 + \right. \\ & \left. + \cos \varphi_1 \cos \alpha_{ik} \tan \beta_{ik} \right] d\lambda_1 \\ & - \frac{(M_k + h_k) \sin \alpha_{ik}}{s_{ik} \cos \beta_{ik}} \left[\sin \varphi_1 \sin \varphi_k \cos(\lambda_k - \lambda_1) \right. \\ & \left. + \cot \alpha_{ik} \sin \varphi_k \sin(\lambda_k - \lambda_1) + \cos \varphi_1 \cos \varphi_k \right] d\varphi_k \\ & + \frac{(N_k + h_k) \cos \varphi_k \cos \alpha_{ik}}{s_{ik} \cos \beta_{ik}} \left[\cos(\lambda_k - \lambda_1) - \right. \\ & \left. - \sin \varphi_1 \sin(\lambda_k - \lambda_1) \tan \alpha_{ik} \right] d\lambda_k + \alpha_{ik}^0 - \alpha_{ik}^{(e)} \quad (3.39) \end{aligned}$$

ifadesi elde edilmiş olur.

Bu denklemdeki $\alpha_{ik}^{(e)}$ 'nin (3.20) indirgeme bağıntısına göre α_{ik}^* astronomik azimut değerinden elde edilmesinde, P_i ve P_k noktalarının kesin jeodezik koordinatları kullanılmıştır. Halbuki, düzeltme denklemlerinin kuruluş adımı bu kesin koordinat değerleri bilinmemektedir. Bunların yerine yaklaşık değerleri bilinmektedir. (3.19) indirgeme denkleminde bu yaklaşık değerler,

$$\alpha_{ik}^{(e)} = \alpha_{ik}^* - (\Lambda_1 - \lambda_1^0 - d\lambda_1) \sin(\varphi_1^0 + d\varphi_1) + d\alpha_{ik}^{(1)} \quad (3.40)$$

şeklinde kullanılarak gerekli işlemler sonucunda, $|d\varphi| < 1''$ ve $|\Lambda_1 - \lambda_1^0| = 1'$ doğruluğunda olmaları halinde,

$$|\cos d\varphi_1| = 1.000\ 000\ 000$$

$$|\sin d\varphi_1| \leq 0.000\ 005$$

ve

$$|(\Lambda_1 - \lambda_1^0) \cos \varphi_1^0 \sin d\varphi_1| < 0.000\ 3''$$

olacaklarından azimut ölçülerinin indirgenmesi için,

$$\alpha_{ik}^{(e)} = \alpha_{ik}^* - (\Lambda_1 - \lambda_1^0) \sin \varphi_1^0 + d\lambda_1 \sin \varphi_1^0 + d\alpha_{ik}^{(1)} \quad (3.41)$$

bağıntısı kullanılabilir/ WALKER 1967, s.28/. Buna göre (3.39) daki azimut düzeltme denklemini, aşağıda verilen şekliyle kullanılır.

$$\begin{aligned}
v_{\alpha_{ik}} = & \left[\frac{(M_i + h_i) \sin \alpha_{ik}}{s_{ik} \cos \beta_{ik}} + \tan \beta_{ik} \sin \alpha_{ik} \right] d\varphi_i \\
& - \left[\frac{(N_i + h_i) \cos \varphi_i \cos \alpha_{ik}}{s_{ik} \cos \beta_{ik}} + \right. \\
& \left. + \cos \varphi_i \cos \alpha_{ik} \tan \beta_{ik} \right] d\lambda_i \\
& - \frac{(M_k + h_k) \sin \alpha_{ik}}{s_{ik} \cos \beta_{ik}} \left[\sin \varphi_i \sin \varphi_k \cos (\lambda_k - \lambda_i) \right. \\
& \left. + \cot \alpha_{ik} \sin \varphi_k \sin (\lambda_k - \lambda_i) + \cos \varphi_i \cos \varphi_k \right] d\varphi_k \\
& + \frac{(N_k + h_k) \cos \varphi_k \cos \alpha_{ik}}{s_{ik} \cos \beta_{ik}} \left[\cos (\lambda_k - \lambda_i) - \right. \\
& \left. - \sin \varphi_i \sin (\lambda_k - \lambda_i) \tan \alpha_{ik} \right] d\lambda_k \\
& + \alpha_{ik}^0 - \left[\alpha_{ik}^* - (\Lambda_i - \lambda_i^0) \sin \varphi_i^0 + d\lambda_{ik}^{(1)} \right]
\end{aligned}$$

(3.42)

Bu denklemdeki $d\lambda_{ik}^{(1)}$, (3.13) de verilen çekül sapmasından dolayı ölçülerin indirgenmesinde kullanılan düzeltmeyi göstermektedir.

3.2 Düzeltme Denklemlerinin Elipsoid Yüzeyinde Kurulmasına İlişkin İşlemler

Nirengi ağlarının elipsoid yüzeyinde noktaların jeodezik koordinatları ile iki boyutlu dengelenmesinde, elipsoid yüzeyinde jeodezik temel problemlerin çözümündeki gibi jeodezik eğri esas alınmaktadır. Buna karşılık, nirengi ağlarının içerdiği doğrultu, azimut ve uzunluk ölçüleri, yeryüzünde alet kurulan noktanın çekül doğrultusunu içinde bulunduran ve hedef noktasından geçen düğey düzlemin alet kurulan noktanın ufuk düzlemi ile kesişmesinden meydana gelen arakesitin doğrultusuna göre ölçülmektedirler.

Bu şekilde ölçülmüş ölçülerden faydalanarak, nirengi ağlarının referans elipsoidinde noktaların jeodezik koordinatları ile iki boyutlu dengelenmesinde, dengeleme hesabının fonksiyonel modelini oluşturan doğrusal düzeltme denklemlerinin elde edilmesinde aşağıdaki işlem adımları izlenmektedir.

- Ölçülerin elipsoid yüzeyine ya da jeodezik eğriye indirgenmesi,
- Noktaların kesin jeodezik koordinatları ile kurulan düzeltme denklemlerinin bunların yaklaşık jeodezik koordinatlarına göre doğrusallaştırmada kullanılan, jeodezik eğrinin azimut ve uzunluğunun birinci dereceden diferansiyellerinin belirlenmesi,
- Elipsoid yüzeyine indirgenmiş ölçüler için doğrusal düzeltme denklemlerinin kurulmasıdır.

Düzeltilme denklemlerinin kurulmasında bu adımlardan herhangi birinin eksik ya da gözardı edilmiş olması halinde, hesaplanacak sonuçlar belirli bir oranda hatalı olacaktır.

3.2.1 Ölçülerin Elipsoid Yüzeyine İndirgenmesi

Nirengi ağlarının referans elipsoidinde noktaların jeodezik koordinatları ile iki boyutlu dengelenmesinde, bu elipsoidin yüzeyine indirgenmiş ölçü değerleri kullanılmaktadır. Bu bölümde, bunların yeryüzünde ölçülen değerlerden elde edilmeleri ele alınmaktadır. Ancak, astronomik enlem ve boylam değerleri ile ilgili indirgemeler bölüm 3.1.1.2 'de verilmiş olduğundan bu bölümde tekrar ele alınmamaktadır. Burada, sadece doğrultu, azimut ve kenar uzunluklarının elipsoid yüzeyine indirgenmeleri anlatılmaktadır.

3.2.1.1 Doğrultuların İndirgenmesi

Nirengi ağlarının elipsoid yüzeyinde iki boyutlu dengelenmesinde, bu yüzeye indirgenmiş doğrultular kullanılmaktadır. Bunlar hiçbir zaman nirengi ağlarında yapılan ölçü işlemi ile elde edilemezler. Ancak, nirengi ağlarında ölçülmüş doğrultu değerlerinden indirgemeler yoluyla bulunabilirler.

Doğrultuların elipsoid yüzeyine indirgenmesindeki ilk adımı bölüm 3.1.1.1 'de anlatılan ölçülerin çekül sapmasından dolayı indirgemesi meydana getirmektedir. Bu indirgeme işlemi sonucunda, yeryüzünde P_1 ve P_k noktaları arasında gözlenmiş l_{ik} doğrultusunun P_1 ölçü noktasından geçen elipsoid normalini ve P_k hedef noktasını beraber içine alan normal düzlemin elipsoid yüzeyi ile meydana getirdiği $P_1 P_k''$ normal kesit eğrisine indirgenmesi sağlanmış olmaktadır. Bu normal kesit eğrisi, P_1 ölçü noktasının kendi elipsoid normali boyunca hareket ettirilmesinden dolayı değişmemektedir. Ancak, P_k hedef noktasının bu noktadan geçen elipsoid normali boyunca hareket etmesinden dolayı değişmektedir (şekil 3).

D.N.	B.N.	s_{1k} (m.)	α_{1k} (g)	h_k (m.)	$dl_{1k}^{(2)}$ (cc)
7125	7142	26604	168.31	1729	-0.28
7125	7143	40207	230.59	1582	0.25
7126	7129	38974	85.30	1486	0.13
7084	7089	28175	10.62	1523	0.10
7213	7159	35246	279.21	1440	0.17
7166	7160	34510	86.00	900	0.08

Çizelge.3

Bu şekilde normal kesit eğrisine indirgenmiş l_{1k} doğrultusunun buradan da jeodezik eğriye indirgenmesi gerekir. Doğrultuların normal kesit eğrisinden jeodezik eğriye indirgenmesi olarak bilinen bu indirgeme işlemi için,

$$dl_{1k}^{(3)} = \frac{s_{1k}^2}{6N_1^2} \varphi \eta_i^2 \sin \alpha_{1k} \cos \alpha_{1k} - \frac{s_{1k}^3}{24N_1^3} \varphi \eta_i^2 \sin \alpha_{1k} \tan \varphi_i \quad (3.44)$$

bağıntısı kullanılmaktadır/ JORDAN-EGGERT 1941 s.37/. Bunun yerine, $\eta_i^2 = \epsilon^2 \cos^2 \varphi_1$ olduğu gözönüne alınarak (3.44)'den elde edilen,

$$dl_{1k}^{(3)} = \left[\frac{\epsilon^2}{12} \varphi \cos^2 \varphi_1 \sin 2\alpha_{1k} \left(\frac{s_{1k}}{N_1} \right)^2 - \frac{\epsilon^2}{48} \sin 2\varphi_1 \sin \alpha_{1k} \left(\frac{s_{1k}}{N_1} \right)^3 \varphi \right] \left[1 + \epsilon^2 \cos^2 \varphi_1 \cos^2 \alpha_{1k} \right]$$

bağıntısı kullanılmaktadır/RAPP 1980 s.62/.

Bu indirgeme ile ilgili birkaç sayısal değer, çizelge.3 deki doğrultular için hesaplanarak çizelge.4 de verilmektedir.

D.N.	B.N.	s_{ik} (m.)	α_{ik} (g)	φ_i (o)	$dl_{ik}^{(3)}$ (cc)
7125	7142	26604	168.31	40.52	0.00
7125	7143	40207	230.59	40.52	-0.01
7126	7129	38974	85.30	40.57	0.00
7084	7089	28175	10.62	39.39	0.00
7213	7159	35246	279.21	39.52	0.00
7166	7160	34510	86.00	39.29	0.00

Çizelge.4

Bu indirgeme adımlarına göre de, yeryüzünde ölçülen $l_{ik}^{(g)}$ doğrultu değerinden elipsoid yüzeyinde buna karşılık gelen $l_{ik}^{(g)}$ doğrultu değeri,

$$l_{ik}^{(g)} = l_{ik}^{(g)} + dl_{ik}^{(1)} + dl_{ik}^{(2)} + dl_{ik}^{(3)} \quad (3.46)$$

bağıntısına göre elde edilebilir.

3.2.1.2 Azimutların İndirgenmesi

Nirengi ağlarında, P_i noktasının astronomik meridyeni ile P_k hedef noktası arasında ölçülmüş olan α_{ik}^* astronomik azimutu, (3.18) ya da (3.20) bağıntılarını kullanarak P_i noktasının elipsoid normali ile P_k hedef noktasını içinde

bulunduran normal düzlemin elipsoid yüzeyi ile meydana getirdiği $P_1 P_k^n$ normal kesit eğrisine indirgenmiş olur (şekil 3). Bu şekilde, normal kesit eğrisine indirgenmiş azimut değerleri, doğrultuların elipsoid yüzeyine indirgenmesinde olduğu gibi (3.43) ve (3.44) ya da (3.45) bağıntılarını kullanarak P_1 ve P_k noktalarının elipsoid yüzeyinde belirledikleri jeodezik eğriye indirgenmiş olurlar. Azimut ölçülerinin elipsoidde indirgenmesi olarak bilinen bu indirgeme işlemi,

$$A_{1k} = \alpha_{1k}^* - (\Delta_1 - \lambda_1) \sin \varphi_1 + dl_{1k}^{(1)} + dl_{1k}^{(2)} + dl_{1k}^{(3)} \quad (3.47)$$

bağıntısı ile gerçekleştirilmektedir.

3.2.1.3. Uzunlukların İndirgenmesi

Nirengi ağlarının elipsoid yüzeyinde dengelenmesinde bu yüzeye indirgenmiş uzunluklar kullanılır. Bunun için, P_1 ve P_k nirengi noktaları arasında ölçülmüş olan baz ve eğik uzunlukların elipsoid yüzeyine indirgenmesi gerekir. Bu indirgeme işlemi, baz ve eğik uzunlukların ölçü tekniklerine bağlı olarak iki şekilde yapılmaktadır.

a- Bazların İndirgenmesi

Yeryüzünde, P_1 ve P_k nirengi noktalarının arasında invar metrelerle mekanik olarak porteler halinde ölçülen s_{1k} bazının elipsoid yüzeyine indirgenmiş değeri s_{1k}^E olsun. s_{1k}^E değerlerinin yeryüzünde ölçülen s_{1k} baz uzunluklarından elde edilmesine bazların indirgenmesi denir.

$$s_{ik}^g = s'_{ik} - \frac{h_m}{R} s'_{ik} \quad (3.49)$$

bağıntısı kullanılmaktadır/RAPP 1980 s.68/. Bu bağıntılarda geçen R ve h_m değerleri,

$$\frac{1}{R} = \frac{\cos^2 A_{ik}}{M_1} + \frac{\sin^2 A_{ik}}{N_1}$$

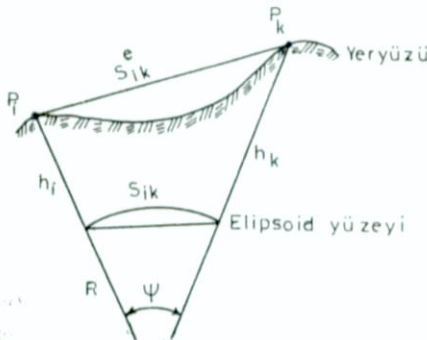
ve

$$h_m = \frac{1}{2} (h_i + h_k)$$

bağıntılarından hesaplanmaktadır.

b- Eğik Uzunlukların İndirgenmesi

P_i ve P_k nirengi noktaları arasında elektronik mesafe ölçerlerle ölçülen s_{ik}^a uzunluğunun elipsoid yüzeyindeki s_{ik} uzunluk değeri şekil.5 göre,



Şekil.5

$$s_{ik} = 2R \arcsin \sqrt{\frac{(s_{ik}^0)^2 - (h_k - h_i)^2}{4(R + h_i)(R + h_k)}} \quad (3.50)$$

bağıntısından hesaplanmaktadır/HEISKANEN-MORITZ 1967 s.192/.

(3.49) ve (3.50) bağıntılarına göre, baz ve eğik uzunlukların indirgenmesinden elipsoidin yüzeyindeki normal kesit eğrisinin uzunlukları elde edilmiş olur. Halbuki, nirengi ağlarının elipsoid yüzeyinde dengelenmesinde bunlara karşılık gelen jeodezik eğrilerin uzunlukları kullanılır. Bu nedenle, normal kesit eğrisinin uzunluğuna indirgenmiş uzunlukların, buradan da jeodezik eğrilerin uzunluğuna indirgenmesi gerekir. Ancak bu indirgeme işlemi uygulamada yapılmaktadır. Çünkü, normal kesit eğrisi ile buna karşılık gelen jeodezik eğrinin uzunluklarının farkı, nirengi ağlarında söz konusu olabilecek uzunluklar için en fazla 8. mertebeden küçük değerlerdir/ÜZBENLİ 1972 s.94/.

3.2.2 Jeodezik Eğrinin Azimut ve Uzunluğunun Birinci Dereceden Diferansiyelleri

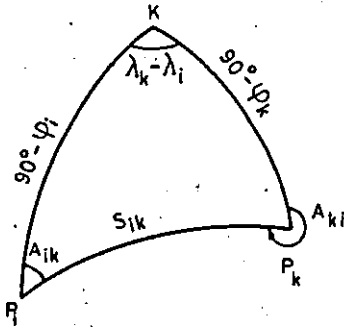
Elipsoid yüzeyine indirgenmiş doğrultu, azimut ve uzunluk ölçülerinin düzeltme denklemleri, bu yüzeyin P_1 ve P_k noktalarının belirlediği jeodezik eğrinin A_{ik} azimutu ile s_{ik} uzunluğunun birinci dereceden diferansiyelleri kullanılarak doğrusal biçimde kurulur. Bu diferansiyel bağıntıların elde edilmesinde, s_{ik} jeodezik eğrisinin P_1 noktasında φ_1 , λ_1 ve A_{1k} değerleri verilmişken P_k noktasının φ_k , λ_k ve A_{ki} değerlerinin elde edilmesinde kullanı-
lan,

$$\varphi_k = f_1 (\varphi_1, \lambda_1, s_{1k}, A_{1k}) \quad (3.51-a)$$

$$\lambda_k = f_2 (\varphi_1, \lambda_1, s_{1k}, A_{1k}) \quad (3.51-b)$$

$$A_{ki} = f_3 (\varphi_1, \lambda_1, s_{1k}, A_{1k}) \quad (3.51-c)$$

jeodezik temel problem bağıntılarından hareket edilir(şekil.6).



Şekil.6

(3.51) bağıntılarının bilinen değerlere göre diferansiyellerinden,

$$d\varphi_k = \frac{\partial \varphi_k}{\partial \varphi_1} d\varphi_1 + \frac{\partial \varphi_k}{\partial \lambda_1} d\lambda_1 + \frac{\partial \varphi_k}{\partial s_{1k}} ds_{1k} + \frac{\partial \varphi_k}{\partial A_{1k}} dA_{1k} \quad (3.52-a)$$

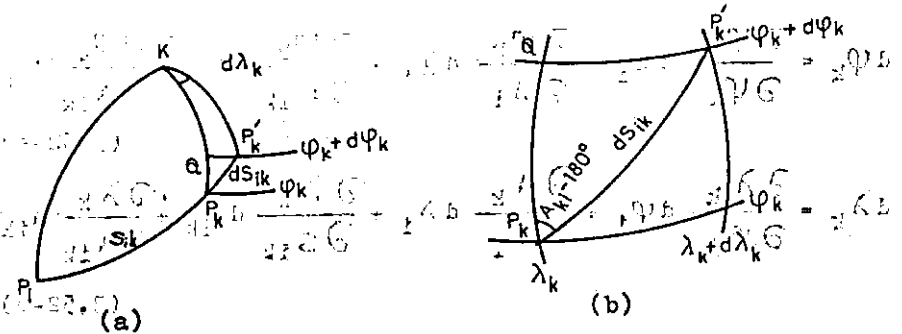
$$d\lambda_k = \frac{\partial \lambda_k}{\partial \varphi_1} d\varphi_1 + \frac{\partial \lambda_k}{\partial \lambda_1} d\lambda_1 + \frac{\partial \lambda_k}{\partial s_{1k}} ds_{1k} + \frac{\partial \lambda_k}{\partial A_{1k}} dA_{1k} \quad (3.52-b)$$

$$dA_{ki} = \frac{\partial A_{ki}}{(\partial \varphi_{1i})} d\varphi_1 + \frac{\partial A_{ki}}{(\partial \lambda_{1i})} d\lambda_1 + \frac{\partial A_{ki}}{(\partial s_{1k})} ds_{1k} + \frac{\partial A_{ki}}{(\partial A_{1k})} dA_{1k} \quad (3.52-c)$$

birinci dereceden diferansiyel denklemleri bulunur. (3.52) diferansiyel denklemleri, kuramsal biçimde olduklarından düzeltme denklemlerinde bu şekli ile kullanılamazlar. Bunların yerine, katsayıları bilinen fonksiyonlar biçiminde belirlenmiş eşitleri kullanılır. Böyle fonksiyonların belirlenmesinde, s_{1k} jeodezik eğrisinin boyunun değişmesi yanında P_1 noktası etrafında dönme ve öteleme hareketlerinden faydalanılır.

a- Jeodezik Eğrinin s_{1k} Uzunluğunun ds_{1k} Kadar Değişmesi

Jeodezik eğrinin uzunluğu ds_{1k} kadar uzayıp kısalırsa, jeodezik eğrinin P_1 noktasındaki A_{1k} azimutu ile φ_1 jeodezik enlemi ve λ_1 jeodezik boylama değişmemektedir. Buna karşılık P_k noktasının A_{ki} ters azimutu ile φ_k jeodezik enlemi ve λ_k jeodezik boylama; dA_{ki} , $d\varphi_k$ ve $d\lambda_k$ kadar değişmektedir.



Şekil.7

Bu deęişimler için, jeodezik eğrinin diferansiyel denklemi olarak bilinen,

$$d\varphi = \frac{1}{M} \cos A ds \quad (3.53-a)$$

$$d\lambda = \frac{1}{N} \frac{\sin A}{\cos \varphi} ds \quad (3.53-b)$$

$$dA = \frac{1}{N} \sin A \tan \varphi ds \quad (3.53-c)$$

baęintılarında, şekil.7 'den $A = A_{ki} - 180^\circ$ ve $ds = ds_{ik}$ oldukları dikkate alınarak,

$$\frac{\partial \varphi_k}{\partial s_{ik}} = - \frac{1}{M_k} \cos A_{ki} \quad (3.54-a)$$

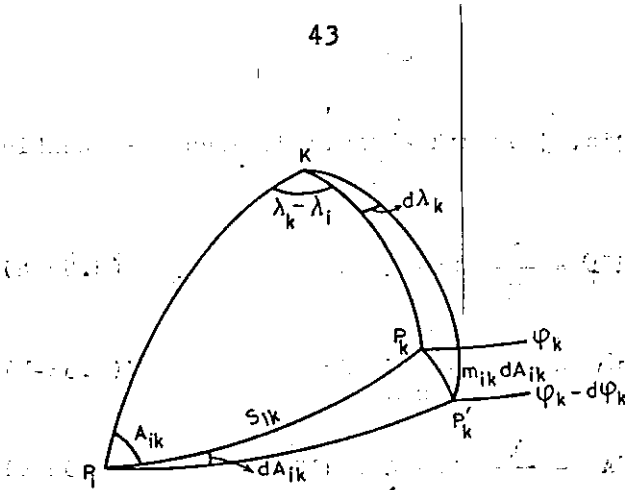
$$\frac{\partial \lambda_k}{\partial s_{ik}} = - \frac{1}{N_k} \frac{\sin A_{ki}}{\cos \varphi_k} \quad (3.54-b)$$

$$\frac{\partial A_{ki}}{\partial s_{ik}} = - \frac{1}{N_k} \sin A_{ki} \tan \varphi_k \quad (3.54-c)$$

baęintıları elde edilir/ÖZBENLİ 1972 s.58/.

b- Jeodezik Eğrinin A_{ik} Azimutunun dA_{ik} Kadar Deęişmesi

s_{ik} jeodezik eğrisini P_i noktasında dA_{ik} kadar döndürüldüğünde P_k noktası, m_{ik} bu jeodezik eğrinin indirgenmiş uzunluğu olmak üzere $m_{ik} dA_{ik}$ uzunluğundaki $P_k P'_k$ yayını çizerek P'_k noktasına gelir. Böylece, P_k noktasının φ_k jeodezik enlemi, λ_k jeodezik boylamı ve A_{ki} ters azimutu bir miktar deęişmiş olur (şekil.8)



Şekil.8

Şekildende görüldüğü gibi, bu döndürme sonucunda P_k noktasının jeodezik enlem ve boylamında meydana gelecek değişimler için, (3.53-a) ve (3.53-b) denklemlerinde $A = A_{ki} - 90^\circ$ $ds = m_{ik} dA_{ik}$ oldukları gözönüne alınarak,

$$\frac{\partial \varphi_k}{\partial A_{ik}} = \frac{m_{ik}}{M_k} \sin A_{ki} \quad (3.55-a)$$

$$\frac{\partial \lambda_k}{\partial A_{ik}} = - \frac{m_{ik}}{N_k} \frac{\cos A_{ki}}{\cos \varphi_k} \quad (3.55-b)$$

bağıntıları elde edilir. Jeodezik eğrinin P_k noktasındaki A_{ki} ters azimutu için, P_1 ve P_k noktalarında yazılan Clairaut bağıntılarından elde edilen,

$$N_1 \cos \varphi_1 \sin A_{ik} + N_k \cos \varphi_k \sin A_{ki} = 10 \quad (3.56)$$

bağıntısının A_{ik} ve A_{ki} elamanlarına göre diferansiye-

le açılımında (3.55-a) değerini yerine yazmakla bulunur. Bu denklem,

$$\left(\frac{dm}{ds}\right)_1 = - \frac{N_1 \cos \varphi_1 \cos A_{1k}}{N_k \cos \varphi_k \cos A_{ki}} + \frac{m_{1k} \tan \varphi_k}{N_k \cos A_{ki}} \quad (3.57-a)$$

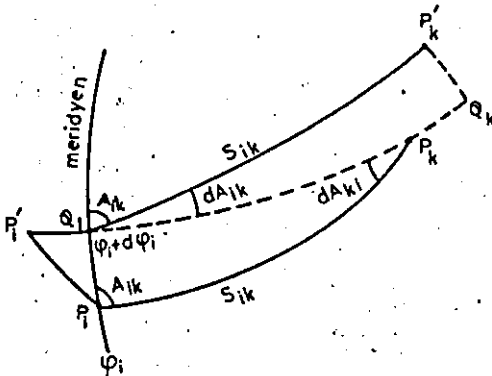
olmak üzere,

$$\frac{\partial A_{ki}}{\partial A_{1k}} = \left[\left(\frac{dm}{ds}\right)_1 - \frac{m_{1k}}{N_k} \cos A_{ki} \tan \varphi_k \right] \quad (3.57-b)$$

şeklindedir.

c- Jeodezik Eğrinin P_1 Noktasının Meridyeni Doğrultusunda $d\varphi_1$ Kadar Kaydırılması

Elipsoid yüzeyinde P_1 ve P_k noktalarının belirlediği jeodezik eğriyi s_{1k} uzunluğu ve A_{1k} azimutu sabit kalacak şekilde P_1 noktasının meridyeni üzerinde $d\varphi_1$ kadar kaydırıldığında şekil.9'daki durum meydana gelir.



Şekil.9

Şekil.9 'dan görüldüğü gibi, s_{ik} jeodezik eğrisi önce P_k noktası etrafında dA_{ki} kadar döndürülerek P_i noktası P_i' noktasına gelir. Bu durumda, $P_k P_i'$ eğrisi P_i noktasının meridyenini Q_i noktasında keser. Sonra bu eğri kendi doğrultusunda P_i noktasından itibaren $P_i Q_i$ kadar ötelenerek P_i' noktası Q_i 'ye ve P_k noktasında Q_k 'ya gelir. Bu şekilde elde edilen $Q_i Q_k$ eğrisi, Q_i noktası etrafında bu noktanın meridyeni ile A_{ik} azimutunu yapacak şekilde döndürüldüğünde P_k noktası P_k' noktasına gelmiş olur. Böylece, P_k noktasının φ_k jeodezik enlemi, λ_k jeodezik boylamı ve A_{ki} ters azimutu bir miktar değişmiş olur. Bu değişimlerin matematik bağıntılarıyla ifadesi olarak,

$$\frac{\partial \varphi_k}{\partial \varphi_i} = - \frac{M_i}{M_k} \left[\sin A_{ik} \sin A_{ki} \left(\frac{dm}{ds} \right)_k + \cos A_{ik} \cos A_{ki} \right] \quad (3.58-a)$$

$$\frac{\partial \lambda_k}{\partial \varphi_i} = \frac{M_i}{N_k \cos \varphi_k} \left[\sin A_{ik} \cos A_{ki} \left(\frac{dm}{ds} \right)_k - \cos A_{ik} \sin A_{ki} \right] \quad (3.58-b)$$

$$\frac{\partial A_{ki}}{\partial \varphi_i} = \left[\frac{M_i}{m_{ik}} \sin A_{ik} - \frac{M_i}{N_k} \sin A_{ki} \cos A_{ik} \tan \varphi_k - \frac{M_i}{m_{ik}} \left(\frac{dm}{ds} \right)_i \left(\frac{dm}{ds} \right)_k \sin A_{ik} + \frac{M_i}{N_k} \left(\frac{dm}{ds} \right)_k \sin A_{ik} \cos A_{ki} \tan \varphi_k \right] \quad (3.58-c)$$

Böylece, (3.54), (3.55), (3.57) ve (3.58) 'de verilen denklemleri,

$$\frac{\partial \varphi_k}{\partial \lambda_i} = 0 \quad ; \quad \frac{\partial A_{ki}}{\partial \lambda_i} = 0 \quad \text{ve} \quad \frac{\partial \lambda_k}{\partial \lambda_i} = d \lambda_i \quad (3.59)$$

bağıntıları ile birlikte (3.52) 'deki denklemlerde yerlerine yazarak bunların ilk ikisinin ortak çözümünden jeodezik eğrinin azimut ve uzunluğunun birinci dereceden diferansiyelleri için,

$$\begin{aligned} dA_{ik} = & \frac{M_i \sin A_{ik}}{m_{ik}} \left(\frac{dm}{ds} \right)_k d\varphi_i + \frac{N_k \cos \varphi_k \cos A_{ki}}{m_{ik}} d\lambda_i \\ & + \frac{M_k \sin A_{ki}}{m_{ik}} d\varphi_k - \frac{N_k \cos \varphi_k \cos A_{ki}}{m_{ik}} d\lambda_k \end{aligned} \quad (3.60)$$

ve

$$\begin{aligned} ds_{ik} = & - M_i \cos A_{ik} d\varphi_i - N_i \cos \varphi_i \sin A_{ik} d\lambda_i \\ & - M_k \cos A_{ki} d\varphi_k - N_k \cos \varphi_k \sin A_{ki} d\lambda_k \end{aligned} \quad (3.61)$$

bağıntıları elde edilir/HELMERT 1880 s.326, ÖLANDER 1935 - s.24/. Bu denklemlerde geçen m_{ik} jeodezik eğrinin indirgenmiş uzunluğu P_i noktasındaki Gauss eğrilik yarıçapı $R_i = \sqrt{M_i N_i}$ olmak üzere,

$$m_{ik} = R_1 \sin \left(\frac{s_{ik}}{R_1} \right) + \frac{R_1 \epsilon^2 \sin 2\varphi_1 \cos A_{ik}}{6} \left(\frac{s_{ik}}{R_1} \right)^4$$

bağıntısından hesaplanmaktadır/ÖLANDER 1935 s.23, ULSOY 1977 s.189, RAPP 1980 s.108/. Buradaki ϵ değeri referans elipsoidinin ikinci eksantirisite değerini göstermektedir.

3.2.3 Doğrusal Düzeltme Denklemlerinin Kurulması

Nirengi ağlarının elipsoid yüzeyinde noktaların jeodezik koordinatları ile iki boyutlu dengelenmesinde, bu yüzeye indirgenmiş doğrultu, azimut ve uzunluk ölçülerine ait doğrusal düzeltme denklemleri kullanılır. Burada, bunların kurulmasındaki işlemler ele alınmaktadır.

3.2.3.1 Doğrultu Düzeltme Denklemi

Elipsoid yüzeyinde P_i ve P_k noktalarının arasındaki l_{ik}^g doğrultusunun v_{ik} düzeltme denklemi, P_i noktasındaki yöneltme bilinmiyeni z_i olmak üzere bu doğrultunun kesin azimutu ile kurulan,

$$l_{ik}^g + v_{ik} + z_i + d \lambda_1 \sin \varphi_1 = A_{ik}$$

eşitliğinden faydalanarak,

$$v_{ik} = -z_i - d \lambda_1 \sin \varphi_1 + A_{ik} - l_{ik}^g \quad (3.62)$$

olarak elde edilir. Ancak, bu denklemde P_i ve P_k noktaları arasındaki kenarın A_{ik} kesin azimutu kullanıldığından bununla işlem yapılamaz. Bunun yerine, P_i ve P_k noktalarının yaklaşık jeodezik koordinatlarından hesaplanan

A_{ik}^0 yaklaşık azimut değeri ile yöneltme bilinmeyeninin z_1^0 yaklaşık değerini kullanarak da_{ik} için (3.60)'daki ifadenin dikkate alınması ile noktaların jeodezik koordinatlarına göre elde edilen,

$$\begin{aligned}
 v_{ik} = & - dz_1 + \frac{M_1 \sin A_{ik}}{m_{ik}} \left(\frac{dm}{ds} \right)_k d\varphi_i \\
 & + \left(\frac{N_k \cos \varphi_k \cos A_{ki}}{m_{ik}} - \sin \varphi_i \right) d\lambda_1 \\
 & + \frac{M_k \sin A_{ki}}{m_{ik}} d\varphi_k \\
 & - \frac{N_k \cos \varphi_k \cos A_{ki}}{m_{ik}} d\lambda_k - l_{ik}^0
 \end{aligned}
 \tag{3.63}$$

denklemleri kullanılır. Burada, $-l_{ik}^0 = A_{ik}^0 - z_1^0 - l_{ik}^g$ dir. A_{ik}^0 yaklaşık azimut değeri elipsoid yüzeyinde jeodezik temel problem.2 çözümünden hesaplanır/AKSOY 1976 s.85/. z_1^0 değeri ise, P_1 noktasından gözlenen doğrultuların sayısı n olmak üzere,

$$z_1^0 = \frac{[A_{ik}^0 - l_{ik}^g]}{n}$$

3.2.3.2 Uzunluk Düzeltme Denklemi

P_1 ve P_k noktaları arasındaki jeodezik eğrinin uzunluk ölçüsü değeri s_{ik} , noktaların yaklaşık jeodezik koordinatları ile hesaplanan değeri s_{ik}^0 olmak üzere bunun $v_{s_{ik}}$ düzeltme denklemi,

$$v_{s_{ik}} = ds_{ik} + s_{ik}^0 - s_{ik}$$

olarak elde edilir. Bu denklemde, ds_{ik} 'nin (3.61)'deki değeri dikkate alınması ile uzunluk düzeltme denkleminin noktaların jeodezik koordinatlarına göre ifadesi olarak,

$$\begin{aligned} v_{s_{ik}} = & -M_1 \cos A_{1k} d\varphi_1 - N_1 \cos\varphi_1 \sin A_{1k} d\lambda_1 \\ & - M_k \cos A_{ki} d\varphi_k - N_k \cos\varphi_k \sin A_{ki} d\lambda_k - l_{s_{ik}}^0 \end{aligned} \quad (3.64)$$

bağıntısı elde edilir. Burada, $-l_{s_{ik}}^0 = s_{ik}^0 - s_{ik}$ dir. P_1 ve P_k noktaları arasındaki kenarın s_{ik}^0 yaklaşık uzunluk değeri de elipsoid yüzeyinde jeodezik temel problem 2 çözümlünden hesaplanır/KORHONEN 1975 s.8/.

3.2.3.3 Azimut Düzeltme Denklemi

Elipsoid yüzeyinde, P_1 ve P_k noktalarının belirlediği kenarın A_{1k}^S jeodezik azimutunun $v_{A_{1k}}$ düzeltme denklemi, bu noktaların yaklaşık jeodezik koordinatlarından hesaplanan A_{1k}^0 yaklaşık azimutuna göre,

$$v_{A_{1k}} = dA_{1k} + A_{1k}^0 - A_{1k}^S$$

olarak elde edilir. Bu denklemde dA_{ik} 'nın (3.60) 'da verilmiş değeri dikkate alınarak jeodezik koordinatlara göre ifade edilebilen azimut düzeltme denklemi için,

$$\begin{aligned}
 v_{A_{ik}} = & \frac{M_i \sin A_{ik}}{m_{ik}} \left(\frac{dm}{ds} \right)_k d\varphi_i \\
 & + \left(\frac{N_k \cos \varphi_k \cos A_{ki}}{m_{ik}} - \sin \varphi_i \right) d\lambda_i \\
 & + \frac{M_k \sin A_{ki}}{m_{ik}} d\varphi_k \\
 & - \frac{N_k \cos \varphi_k \cos A_{ki}}{m_{ik}} d\lambda_k - l_{A_{ik}} \quad (3.65)
 \end{aligned}$$

bağıntısı elde edilmiş olur. Bu denklemdeki $-l_{A_{ik}}$ değeri (3.41)'in elde edilmesine benzer şekilde,

$$-l_{A_{ik}} = A_{ik}^0 - \left[\alpha_{ik}^* - (\lambda_i - \lambda_i^0) \sin \varphi_i^0 + d\lambda_{ik}^{(1)} + d\lambda_{ik}^{(2)} + d\lambda_{ik}^{(3)} \right] \quad (3.66)$$

bağıntısından hesaplanmaktadır.

3.3 Ölçü Ağırlıklarının Belirlenmesi

Nirengi ağlarının dengelenmesinde önemli bir sorunda, çeşitli ölçü yönünden farklı şekillerde elde edilmiş olan uzunluk, azimut ve doğrultu ölçülerinin ağırlıklarının belirlenmesidir. Böyle bir işlem için ölçülerin duyarlıklarından (precision) faydalanılmaktadır.

p_1 ağırlığındaki bir ölçünün karesel ortalama hatası m_1 , p_j ağırlığındaki bir ölçünün karesel ortalama hatası da m_j olsun, bu değerlerden p_j ağırlığı,

$$p_j = \frac{m_1^2}{m_j^2} p_1 \quad (3.67)$$

bağıntısından hesaplanmaktadır/ GROSSMANN - ÖZGEN 1962 s.34, GOTTHARDT - AYTAÇ vd. 1974 s.16/.

p_j ağırlıkları ölçü duyarlıklarının arasındaki orantı sayıları olduklarından bunlardan bir tanesinin birim olarak seçilebilmesi mümkün olur. Buna göre, (3.67) bağıntısında $p_1 = 1$ birim ve $m_1^2 = c$ gibi bir sabit alınarak p_j ağırlıkları için,

$$p_j = \frac{c}{m_j^2} \quad (3.68)$$

bağıntısı kullanılmaktadır/ GROSSMANN - ÖZGEN 1962 s.35/.

3.3.1 Doğrultu Ölçülerinin Ağırlığı

Doğrultu ölçülerinin ağırlıkları, (3.68) bağıntısında m_j yerine ölçülmüş bir doğrultunun m_d karesel ortalama hatası kullanılarak,

$$p_d = \frac{c}{m_d^2} \quad (3.69)$$

bağıntısından hesaplanmaktadır. Bu bağıntıdaki m_d , nirengi ağlarının içerdiği üçgen kapanmalarından,

$$m_d = \sqrt{\frac{[ww]}{6n}} \quad (3.70)$$

Ferrero bağıntısı ile hesaplanmaktadır/WOLF 1969 s.74/. Burada; n ağdaki toplam üçgen sayısını, w de üçgen kapanmalarını göstermektedir.

3.3.2 Azimut Ölçülerinin Ağırlığı

Nirengi ağlarının Laplas noktalarında gözlenmiş astronomik enlem, boylam ve azimut ölçülerinin duyarlıklarından faydalanarak, A_{1k} jeodezik azimutlarının duyarlıkları,

$$m_A^2 = m_\alpha^2 + m_\lambda^2 \sin^2 \phi \quad (3.71)$$

bağıntısına göre hesaplanmaktadır/WALKER 1967 s.11, WOLF-1969 s.71/. Buna göre, A_{1k} jeodezik azimutunun ağırlığı,

$$p_A = \frac{c}{m_A^2} \quad (3.72)$$

bağıntısından hesaplanmaktadır/JORDAN-EGGERT-KNEISSL 1958-
s.613/.

3.3.3 Uzunluk Ölçülerinin Ağırlığı

Nirengi ağlarına ölçük vermek amacıyla ölçülen kenar uzunlukları, uzaklık ölçer aletleri kullanarak doğrudan veya invar metreleri kullanarak klasik baz ölçüsü şeklinde elde edilirler. Bu şekilde ölçülen kenar uzunluklarının duyarlılıkları da birbirinden farklı olmaktadır.

Buna göre, uzaklık ölçerleri kullanarak elde edilen bir kenarın m_e karesel ortalama hatası için,

$$m_e = \pm (a + k s) \quad (3.73)$$

bağıntısı; porteler şeklinde ölçülmüş bir bazdan baz büyütmesi olarak elde edilmiş bir kenarın m_s karesel ortalama hatası için de,

$$m_s = \sqrt{\frac{a^2 s^2}{b^2} + m_b^2 + m_l^2} \quad (3.74)$$

bağıntısı kullanılabilir/GÜNEŞ 1978 s.16/.

Bu şekilde, uzunluk ölçüleri için elde edilen duyarlılıklardan faydalanarak bazların ağırlığı,

$$p_s = \frac{c}{m_s^2} \quad (3.75)$$

bağıntısından ve eğik uzunlukların ağırlığı da,

$$p_e = \frac{c}{m_e^2} \quad (3.76)$$

bağıntısından hesaplanabilir.

Bu bağıntılarda geçen; b baz uzunluğunu, s baz büyütmesi ile elde edilen kenar uzunluğunu, m_b bazın karesel ortalama hatasını, m_1 bazın büyütmesinden hesaplanan hatayı göstermektedir. Ayrıca, a uzaklık ölçer aletinin iç yapısı ile ilgili bir katsayı ve k ise ölçü anında dış koşullarla ilgili alet sabitidir.

3.4 Normal Denklemlerin Kuruluşu ve Çözümü

Nirengi ağlarının, nokta koordinatlarının bilinmeyen seçildiği dolaylı ölçüler yöntemine göre dengelenmesinde düzeltme denklemlerinin matrislerle gösterimi için,

$$v = A x - l \quad (3.77)$$

ifadesi kullanılmaktadır. Bir ağda, ölçü sayısı kadar doğrusal düzeltme denklemlerinden ve konumu değişken alınan nokta sayısının iki katı sayıda koordinat bilinmiyeni ile üzerinde ölçü yapılan nokta adeti kadar yöneltme bilinmiyeninden oluşan bu düzeltme denkleminin tek anlamlı çözümü doğrudan elde edilemez. Böyle denklemlerin tek anlamlı çözümü ancak uygun şekilde belirlenmiş amaç fonksiyonlarının kullanılması ile yapılabilir.

Nirengi ağlarının dengelenmesinde böyle bir amaç fonksiyonu olarak düzeltmelerin karelerinin toplamını en küçük yapan $v^T P v = \text{Min.}$ ilkesi kullanılmaktadır/ŞERBETÇİ 1975- s.5/. Burada P ölçü ağırlıklarından elde edilen ağırlık matrisidir. Bu amaç fonksiyonunu kullanarak (3.77) denkleminin tek anlamlı çözümü, bunlara göre;

$$A^T P A x - A^T P l = 0 \quad (3.78)$$

ya da

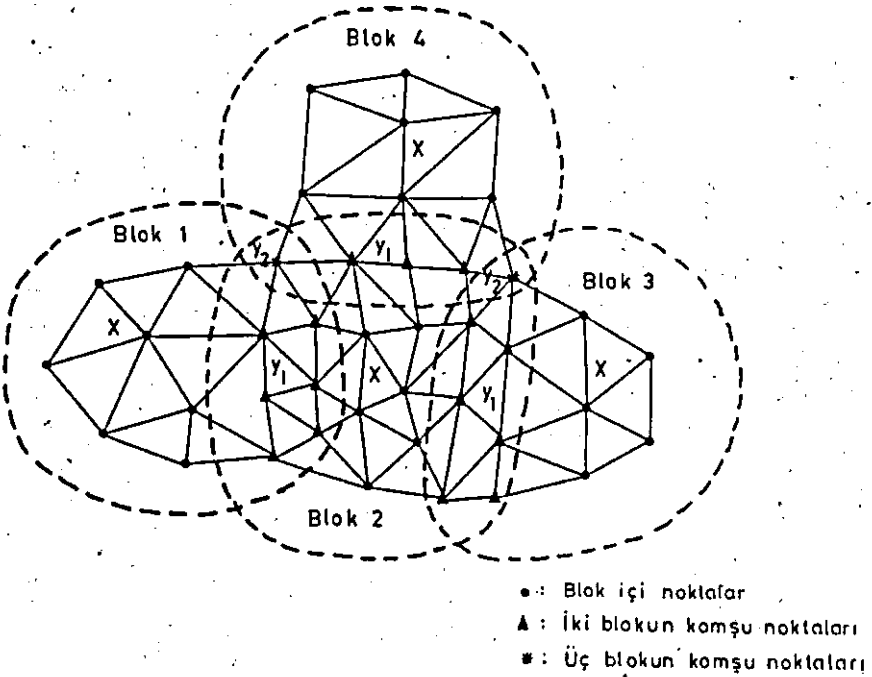
$$N x - n = 0$$

şeklinde elde edilen normal denklemlerinden,

$$x = (A^T P A)^{-1} A^T P l \quad (3.79)$$

olarak elde edilir/GOTTHARDT - AYTAÇ vd. 1974 s.65/. Burada,

Büyük nirengi ağları çok sayıda nirengi noktasını ve jeodezik ölçüleri içerdiklerinden, bunlar için kurulan (3.77) düzeltme ve (3.78) normal denklemleri de büyük boyutlu olur. Böyle denklemlerin kurulması bir yana çözümleri de çok güç olmaktadır. Bu durumdaki denklemlerin kurulmasında ve çözümlünde kullanılan alışıla gelen bir yöntem ise Helmert'in bloklara ayırma yöntemidir/ŞERBETÇİ 1975 s.14/.



Şekil.10

Büyük nirengi ağlarının dengelenmesinde normal denklemlerin Helmert bloklara ayırma yöntemine göre kurulabilmesi için, bu ağlar önce şekil.10'daki gibi bloklara bölünür.

Bu şekildeki bölümlenmeden her blok için üç çeşit nokta elde edilmektedir. Bunlar; bir blokun içindeki x noktaları, iki blokun y_1 komşu noktaları ve üç blokun birden komşu y_2 noktalarıdır (şekil 10). Bu şekildeki nokta belirlemesi bir yönlü nirengi ağının i sayıdaki bütün blokları için yapılır.

Buna göre bir blok için yazılan düzeltme denklemleri, (3.77) denklemine benzer şekilde;

$$v = \begin{bmatrix} A_1 & A_2 & A_3 \end{bmatrix} \begin{bmatrix} x \\ y_1 \\ y_2 \end{bmatrix} \quad (3.80-a)$$

olarak kurulur. Buradan, (3.78) denklemlerinin elde edilmesindeki işlemlere benzer şekilde hareket edilerek bir blok için kurulan normal denklemler olarak,

$$\begin{bmatrix} N_{11} & N_{12} & N_{13} \\ N_{21} & N_{22} & N_{23} \\ N_{31} & N_{32} & N_{33} \end{bmatrix} \begin{bmatrix} x \\ y_1 \\ y_2 \end{bmatrix} = \begin{bmatrix} n_1 \\ n_2 \\ n_3 \end{bmatrix} \quad (3.80-b)$$

bağıntısı bulunmuş olur/VANICEK-KRAKIWSKY 1982 s.404/. Bu denklemlerin çözümü için, blok ortak noktalarını içeren denklemler birlikte ele alınmaktadır. Buna göre de,

$$N_{xx} = N_{11} \quad ; \quad N_{xy} = \begin{bmatrix} N_{12} & N_{13} \end{bmatrix} \quad ; \quad n_x = n_1$$

ve

$$N_{yy} = \begin{bmatrix} N_{22} & N_{23} \\ N_{32} & N_{33} \end{bmatrix} ; \quad y = \begin{bmatrix} y_1 \\ y_2 \end{bmatrix} ; \quad n_y = \begin{bmatrix} n_2 \\ n_3 \end{bmatrix}$$

alınarak (3.80-b) 'nın yerine, her blokta ortak ve ortak olmayan noktalara göre kurulan;

$$\begin{bmatrix} N_{xx} & N_{xy} \\ N_{yx} & N_{yy} \end{bmatrix} \begin{bmatrix} x \\ y \end{bmatrix} - \begin{bmatrix} n_x \\ n_y \end{bmatrix} = \begin{bmatrix} 0 \\ 0 \end{bmatrix} \quad (3.80-c)$$

normal denklemleri elde edilmiş olur/BOMFORD 1971 s.174/. Bunun bir adım indirgenmesinden blokların ortak noktalarındaki y bilinmiyenini içeren;

$$N_{yy.1} y - n = 0 \quad (3.80-d)$$

indirgenmiş normal denklemleri elde edilir. Burada;

$$n = n_y - N_{yx} N_{xx}^{-1} n_x$$

$$N_{yy.1} = N_{yy} - N_{yx} N_{xx}^{-1} N_{xy}$$

olarak kullanılmaktadır.

Bu işlemler bir nirengi ağının i sayıdaki bütün blokları için yapılarak (3.80-d) şeklinde elde edilen indirgenmiş normal denklemler toplanır. Bunun sonucunda blokların bütün ortak noktaları için tek denklem olarak,

$$N_y y - u = 0 \quad (3.80-e)$$

toplam normal denklemi elde edilmektedir. Bu denklemdeki;

$$N_y = \sum_i (N_{yy.1})_i \quad ; \quad u = \sum_i (u)_i \quad ; \quad y = [y_1 \ y_2 \ \dots \ y_i]^T$$

olarak alınmıştır/VANICEK-KRAKIWSKY 1982 s.404/. (3.80-a) toplam normal denkleminin çözümünden de;

$$y = N_y^{-1} u \quad (3.81)$$

olarak blokların ortak noktalarının koordinat bilinmeyenleri ile $Q_y = N_y^{-1}$ ağırlık katsayıları tersmatrisi bulunabilmektedir. Bu indirgeme işlemlerinin ters yönünde hareket edilerek de, blok içi noktalarının koordinatları;

$$x = -N_{xx}^{-1} N_{xy} y + N_{xx}^{-1} n_x \quad (3.82-a)$$

olarak ve bunların ağırlık katsayıları tersmatrisi de;

$$Q_{xy} = -N_{xx}^{-1} N_{xy} Q_y$$

$$Q_{xx} = N_{xx}^{-1} + N_{xx}^{-1} N_{xy} Q_y N_{yx} N_{xx}^{-1} \quad (3.82-b)$$

olarak bulunur. Buradaki tersmatrislerin elde edilmesinde, indirgeme işlemlerindeki yuvarlatma hatalarının küçük olması nedeniyle Cholesky yöntemi kullanılmaktadır/ASHKENAZI 1974 s.56, LEVALLOIS 1970 s.102/. Matrislerin singüler olması durumunda bu tersmatrislerin elde edilmesinde Pseudoinvers alma yöntemi kullanılır/RUFF 1983 s.216/.

4. MATEMATİK MODELİN TEST EDİLMESİ

Dengeleme hesabından elde edilen koordinat bilinmeyenlerinin güvenirliliği, ölçülerle koordinat bilinmeyenleri arasında kurulan fonksiyonel ve stokastik modellerin doğru olmalarına bağlıdır. Bunun için nirengi ağlarının dengelenmesinde bu modellerin doğru olarak ortaya konması gerekir. Aksı halde, dengeleme hesabının kendi içindeki hesap kontrolleri bu modellerdeki olası hataları ortaya çıkarmak için yeterli olmayabilir. Dengeleme hesabında bu çeşit model hataları ancak matematik istatistik yasalarla denetlenebilir.

4.1 Fonksiyonel Model Testi

Dolaylı ölçüler yöntemine göre nirengi ağlarının dengelenmesinde, ölçülerle koordinat bilinmeyenleri arasındaki fonksiyonel ilişkileri sağlayan düzeltme denklemlerinin doğru olarak kurulmuş olması gerekir. Bu düzeltme denklemlerinin kurulmasında yapılacak bir hata dengeleme sonuçlarını olumsuz yönde etkiler. Bu nedenle, düzeltme denklemlerinin doğru olarak kurulup kurulmadıklarına irdelemek gerekir. Bu işlem, (3.77) 'deki düzeltme denklemi, x bilinmeyenler vektörü yanında ikinci bir y gibi bilinmeyenler vektörünün var olduğu düşünülerek bu düzeltme denklemi genişletilir. Burada, y bilinmeyenler vektörü olarak ağın ölçeğiyle veya refraksiyonla ... v.b. ilgili parametrelerden oluşturulan vektör kullanılır. Böylece, genişletilmiş fonksiyonel model için,

$$\bar{v} = \begin{bmatrix} A & B \end{bmatrix} \begin{bmatrix} \bar{x} \\ y \end{bmatrix} - l \quad (4.83)$$

kullanılabilir. Buradan $\bar{v}^T P \bar{v} = \text{Min.}$ ilkesine göre kurulan normal denklem de;

$$\begin{bmatrix} N_{11} & N_{12} \\ N_{21} & N_{22} \end{bmatrix} \begin{bmatrix} \bar{x} \\ y \end{bmatrix} - \begin{bmatrix} n_1 \\ n_2 \end{bmatrix} = \begin{bmatrix} 0 \\ 0 \end{bmatrix} \quad (4.84)$$

olarak elde edilir. Burada, $n_1 = A^T P_1$ ve $n_2 = B^T P_1$ dir. Bunun, (3.80-c) 'nin çözümüne benzer şekilde çözümünden;

$$\begin{bmatrix} \bar{x} \\ y \end{bmatrix} = \begin{bmatrix} N_{11} & N_{12} \\ N_{21} & N_{22} \end{bmatrix}^{-1} \begin{bmatrix} n_1 \\ n_2 \end{bmatrix} = \begin{bmatrix} Q_{11} & Q_{12} \\ Q_{21} & Q_{22} \end{bmatrix} \begin{bmatrix} n_1 \\ n_2 \end{bmatrix} \quad (4.85)$$

bulunur. (4.83) ve (4.84) deki denklemlerin büyük boyutlu olmaları durumunda, (4.85) çözümünün elde edilmesi için bölüm 3.4'de anlatılan yol izlenir.

Bu dengeleme işlemleri sonucunda birim ağırlıklı bir ölçütün karesel ortalama hatasının karesi, $\sigma^2 = \frac{1}{m_0} \bar{v}^T P \bar{v}$ olarak hesaplanır (4.86) formülü ile $\sigma^2 = \frac{1}{m_0} \bar{v}^T P \bar{v}$ olarak hesaplanır (4.86) formülü ile n_1, u_x, \bar{x} bilinmeyenlerinin sayısını, n_2, u_y, y bilinmeyenlerinin sayısını göstermektedir.

Böylece, (3.77) normal ve (4.83) genişletilmiş fonksiyonel modellerinden elde edilen koordinat bilinmeyenleri ile düzeltme miktarlarının eşit oldukları söylenemez. Bu durumda hangi fonksiyonel modelin seçilmesine karar verebilmek için, genişletilmiş fonksiyonel modeldeki ek bilinmeyenlerin anlamlı olup olmadıkları araştırılır. Bunun için bir

hipotez ortaya konur. Bu hipotez y bilinmeyenlerinin anlamlı olup olmadıklarını araştırmak için kurulan,

$$H_0 : E \{ y \} = 0 \quad (4.87)$$

sıfır hipotezi ile bunun karşıtı olan,

$$H_a : E \{ y \} \neq 0 \quad (4.88)$$

karşıt hipotezidir.

Bu şekilde kurulan hipotezleri test edebilmek için, (4.85) ve (4.86) 'dan faydalanarak,

$$F_f = \frac{y^T Q_{22}^{-1} y}{m_0^2 u_y} \quad (4.89)$$

bir test büyüklüğü hesaplanır. Bu test büyüklüğü F-Fisher dağılım tablosundan $S = 1 - \alpha$ istatistik güvenle $f_1 = u_y$ ve $f_2 = (n - u_x - u_y)$ serbestlik derecelerine göre alınan $F_{f_1, f_2, S}$ tablo değeri ile karşılaştırılır.

$$F_f > F_{f_1, f_2, S} \quad (4.90)$$

olması durumunda H_0 hipotezi geçersiz olur. Dolayısı ile genişletilmiş fonksiyonel modelin kullanılması isabetli olmaktadır. Aksi durumda ise sıfır hipotezi geçerli olmaktadır. Böyle durumlarda normal şekilde kurulan fonksiyonel modellerin kullanılması uygun olmaktadır/AKSOY 1974 s.41/.

4.2 Stokastik Model Testi

Nirengi ağlarının dengelenmesinde kurulan matematik modelin stokastik bölümünü meydana getiren P ağırlık matrisinin doğru olarak belirlenmesi gerekir. Nirengi ağlarının dengelenmesinde böyle bir işlem ancak dengelemeden önce birim ağırlıklı bir ölçü için hesaplanan s_0^2 deneysel varyansı ile dengelemeden sonra birim ağırlıklı bir ölçü için hesaplanan m_0^2 deneysel varyans değerlerinin karşılaştırılması ile denetlenebilir. Böyle bir işlem, bir ağda farklı yollarla elde edilen varyans değerleri arasında matematik istatistik yasalarına göre kurulan,

$$H_0 : E \{ s_0^2 \} = E \{ m_0^2 \} = \sigma_0^2 \quad (4.91)$$

sıfır hipotezi ile yapılmaktadır. Burada; σ_0^2 teorik varyansı göstermektedir. Böylece sıfır hipotezine göre stokastik model testi varyans testine dönüşmüş olur.

Bu hipotezin test büyüklüğü olarak,

$$F_S = \frac{m_0^2}{s_0^2} \quad (4.92)$$

şeklinde hesaplanan değer kullanılır. Bunun hesaplanmasında, F_S değerinin bir veya birden büyük olmasına dikkat edilir.

Bu test büyüklüğü, f_m, m_0 değerinin serbestlik derecesini ve f_s de s_0 değerinin serbestlik derecesini göstermek üzere F-Fisher dağılım tablosundan $\alpha = 1 - \alpha$ değeriyle alınarak $F_{f_m, f_s, S}$ tablo değeri ile karşılaştırılır. Bunun sonucunda,

$$F_S \geq F_{f_m, f_s, S} \quad (4.93)$$

olması durumunda sıfır hipotezi geçersiz sayılır. Başka bir ifadeye göre stokastik model yani ölçü ağırlıkları yanlış belirlenmiştir. Bunun aksi durumunda sıfır hipotezi geçerli sayılmaktadır. Başka bir söyleyişle ölçü ağırlıkları doğru belirlenmiştir.

Ölçü ağırlıklarının belirlenmesinde birim ağırlıklı bir ölçünün s_0^2 varyansı yerine herhangi bir C_0^2 değerinin seçilmesi durumunda (4.91) sıfır hipotezinin testi;

$$\chi^2_f = \frac{r_m m_0^2}{C_0^2}$$

bağıntısı ile hesaplanan test büyüklüğünün f_m serbestlik derecesine göre $S = 1 - \alpha$ güvenle χ^2 - Dağılım tablosundan alınan değerle (4.93) benzer şekilde yapılır.

5. NİRENGİ AĞLARININ DUYARLIK ÖLÇÜTLERİ

Nirengi ağlarının duyarlılık ölçütleri, ağın geometrisi ve ölçümlerinin kalitesi ile ilgilidir. Bu ölçütler, ağın duyarlılığını ve ölçümlerin kalitesini göstermektedir.

Nirengi ağlarının nokta koordinatlarının bilinmiyen seçildiği dolaylı ölçüler yöntemine göre dengelenmesinde, noktaların koordinatlarını ölçülerin fonksiyonu olarak (3.79)'dan,

$$x = (A^T P A)^{-1} A^T P l$$

şeklinde hesaplamak mümkündür. Bu denklemde genel hata yayılması kuralının uygulanması ile, x koordinat bilinmiyenlerinin varyans ve kovaryans değerlerini içeren K_{xx} matrisinin Varyans-Kovaryans matrisi için,

$$K_{xx} = m_0^2 Q_{xx} \quad (5.94-a)$$

elde edilir/MIKHAIL 1976 s.81/. Burada m_0 değeri, n bir ağdaki ölçü sayısını ve u da bilinmiyen sayısını göstermek üzere,

$$m_0 = \sqrt{\frac{v^T P v}{n-u}} \quad (5.94-b)$$

olarak hesaplanan birim ağırlıklı bir ölçünün karesel ortalama hatasıdır. Q_{xx} ise, $Q_{xx} = (A^T P A)^{-1}$ olarak hesaplanan bilinmiyenlerin ağırlık katsayıları terimatrisidir.

Ayrıca, K_{xx} matrisinin elemanter gösterimi olarak da,

$$K_{xx} = \begin{bmatrix} m_{x_1 x_1} & m_{x_1 y_1} & \cdot & \cdot & \cdot & m_{x_1 x_p} & m_{x_1 y_p} \\ m_{y_1 x_1} & m_{y_1 y_1} & \cdot & \cdot & \cdot & m_{y_1 x_p} & m_{y_1 y_p} \\ \cdot & \cdot & \cdot & \cdot & \cdot & \cdot & \cdot \\ \cdot & \cdot & \cdot & \cdot & \cdot & \cdot & \cdot \\ m_{x_p x_1} & m_{x_p y_1} & \cdot & \cdot & \cdot & m_{x_p x_p} & m_{x_p y_p} \\ m_{y_p x_1} & m_{y_p y_1} & \cdot & \cdot & \cdot & m_{y_p x_p} & m_{y_p y_p} \end{bmatrix}$$

(5.94-c)

ya da $m_{x_1 y_1} = m_o^2 Q_{x_1 y_1}$ bağıntısı gözönüne alınarak

$$K_{xx} = m_o^2 \begin{bmatrix} Q_{x_1 x_1} & Q_{x_1 y_1} & \cdot & \cdot & \cdot & Q_{x_1 x_p} & Q_{x_1 y_p} \\ Q_{y_1 x_1} & Q_{y_1 y_1} & \cdot & \cdot & \cdot & Q_{y_1 x_p} & Q_{y_1 y_p} \\ \cdot & \cdot & \cdot & \cdot & \cdot & \cdot & \cdot \\ \cdot & \cdot & \cdot & \cdot & \cdot & \cdot & \cdot \\ Q_{x_p x_1} & Q_{x_p y_1} & \cdot & \cdot & \cdot & Q_{x_p x_p} & Q_{x_p y_p} \\ Q_{y_p x_1} & Q_{y_p y_1} & \cdot & \cdot & \cdot & Q_{y_p x_p} & Q_{y_p y_p} \end{bmatrix}$$

(5.94-d)

matris gösterimleri kullanılabilir.

Bu şekilde elde edilmiş olan K_{XX} Varyans-Kovaryans matrisleri, nirengi ağlarının nokta konum duyarlığını belirlemektedir. Ancak, nirengi ağlarında nokta konum duyarlığı için böyle bir gösterim şekli kullanılmamaktadır. Bunun yerine, K_{XX} matrisinden elde edilen bazı büyüklükler kullanılır. Bunlar, nirengi ağlarının duyarlık (precision) ölçütlerini meydana getirirler.

5.1 Ağın Tamamı İçin Tanımlanan Ölçütler

K_{XX} Varyans-Kovaryans matrisi bir bütün olarak ele alındığında ağların tamamı için tanımlanan duyarlık ölçütleri elde edilir. Bu ölçütlerden biri, K_{XX} matrisinin köşegen elemanlarından,

$$M_p = \sqrt{\frac{\text{iz}(K_{XX})}{2p}} = m_0 \sqrt{\frac{\text{iz}(Q_{XX})}{2p}} \quad (5.95-a)$$

olarak tanımlanan ortalama konum hatasıdır. Bu ölçüt nirengi ağlarında iki şekilde kullanılmaktadır. Bunlardan biri, bağlı ağlar için kullanılan dış konum hatası; diğer biri de bağlantısız ağlar için kullanılan iç konum hatasıdır/ÖZTÜRK-1982 s.19/.

Ağın tamamı için tanımlanan bir başka ölçüt de, K_{XX} matrisinin belirlediği hiperelipsoidin hacmiyle ilgili olan

$$V = \frac{4}{3} \sqrt{\det(K_{XX})} \quad (5.95-b)$$

(6-40.2)

5.2 Bir Ağ Noktası İçin Tanımlanan Ölçütler

Nirengi ağlarının dengelenmesinden elde edilen nokta koordinatlarını hata yönünden daha iyi inceleyebilmek için, ağın noktalarına göre tanımlanan duyarlık ölçütleri kullanılır. Bunun için K_{xx} Varyans-Kovaryans matrisi nokta sayısı kadar altmatrislere bölünür. Bu bölümlenmeye paralel olarak da Q_{xx} matriside bölünmüş olur. Bunun sonucundan bir P_1 noktası için; K_{11} Varyans-Kovaryans matrisi, Q_{11} ağırlık katsayıları ters matrisi ve x_1 koordinat bilinmeyenleri vektörü elde edilmiş olur. K_{11} ve Q_{11} matrisleri arasında, '(5,94-a)' de benzer şekilde,

$$K_{11} = m_0^2 Q_{11} \quad (5.96-a)$$

eşitliği yazılabilir. Buna göre de, P_1 noktasının koordinat bilinmeyenlerinin karesel ortalama hataları için,

$$m_{x_1} = m_0 \sqrt{Q_{x_1 x_1}} \quad (5.96-b)$$

$$m_{y_1} = m_0 \sqrt{Q_{y_1 y_1}} \quad (5.96-c)$$

ölçütleri tanımlanabilir.

Ağ noktaları için bir başka ölçüt ise, (5.95-a) 'ya benzer şekilde tanımlanabilir. K_{11} matrisinin köşegen normu şeklinde tanımlanan bu ölçüt,

$$m_p = \sqrt{\text{İz}(K_{11})} = m_0 \sqrt{\text{İz}(Q_{11})} = m_0 \sqrt{Q_{x_1 x_1} + Q_{y_1 y_1}}$$

yada

$$m_p = \sqrt{m_{x_1}^2 + m_{y_1}^2} \quad (5.97)$$

şeklinde hesaplanabilen Helmert nokta konum hatasıdır. Bu ölçütün elde edilmesinde sadece K_{ii} matrisinin köşegen elamanları kullanılmaktadır. Köşegen haricindeki elamanları hiç dikkate alınmamaktadır. Bu nedenle, hata yayılması kuralına uygun olduğu söylenemez.

Bunun yerine, hata yayılması kuralına uygun olan bir ölçüt, K_{ii} matrisinin determinantından,

$$m_w^2 = \det(K_{ii}) = m_0^4 \det(Q_{ii}) \quad (5.98)$$

ya da

$$m_w^2 = m_0^4 (Q_{x_1 x_1} Q_{y_1 y_1} - Q_{x_1 y_1}^2) \quad (5.98)$$

olarak tanımlanan Werkmeister konum hatasıdır. Bu ölçütü, köşegen Q_{ii} matrisinin λ_1 ve λ_2 özdeğerlerine göre de ifade etmek mümkündür. Böyle bir durumda Werkmeister konum hatası için,

$$m_w^2 = m_0^4 \lambda_1 \lambda_2 \quad (5.99)$$

bağıntısı kullanılmaktadır/ÖZTÜRK 1982, s.22/.

Nirengi ağlarının nokta konumları için bir başka şekilde duyarlık belirlemesi olarak elipslerden faydalanılmaktadır. Bu elipsler amaca uygun olarak farklı şekillerdeki tanımlarla elde edilirler. Nokta konum duyarlığının belirlenmesinde, bunlardan en çok kullanılan Helmert ortalama hata elipsidir. Nirengi noktalarındaki herhangi bir doğrultuda nokta konum duyarlığını göstermekte olan Helmert ortalama hata elipsinin elamanları K_{ii} matrisinden faydalanarak aşağıdaki bağıntılardan elde edilirler.

$$Q_i = \frac{1}{2} \arctan \left(\frac{2 Q_{x_1 y_1}}{Q_{x_1 x_1} - Q_{y_1 y_1}} \right)$$

$$A_{H_1} = m_0 \sqrt{\frac{Q_{x_1 x_1} + Q_{y_1 y_1} + D_1}{2}}$$

$$B_{H_1} = m_0 \sqrt{\frac{Q_{x_1 x_1} + Q_{y_1 y_1} - D_1}{2}}$$

$$D_1^2 = (Q_{x_1 x_1} - Q_{y_1 y_1})^2 + 4 Q_{x_1 y_1}^2$$

(5.100)

Burada, A_H , B_H ve Q_i değerleri, Helmert ortalama hata elipsinin büyük ve küçük yarı eksenleri ile büyük yarı ekseninin açıklık açısıdır.

Helmert ortalama hata elipsleri, tanımlandıkları noktaların gerçek konumlarını, n ölçü sayısını; u bilinmeyen sayısını göstermek üzere $f=n-u$, $f=2$ serbestlik derecelerine göre $S=29.3$ ve $f=\infty$ için $S=39.4$ istatistik güvenlerle içinde bulundurulur/ÖZTÜRK 1982 s.23 - AYAN 1981 s.22/. Daha büyük istatistik güvenle hata elipsleri kullanılmak istenirse, eksen uzunlukları;

$$A_1 = A_{H_1} \sqrt{2 F_{2, n-u, S}}$$

$$B_1 = B_{H_1} \sqrt{2 F_{2,n-u,S}} \quad (5.101)$$

olan elipslerden faydalanılır. Noktaların güven elipsleri olarak bilinen bu elipslerin eksen uzunluklarının hesaplanmasında kullanılan $F_{2,n-u,S}$ değerleri, $S = 1 - \alpha$ güvenle F-Fisher dağılım tablolarından alınır.

5.3 Ağın Komşu Noktaları İçin Tanımlanan Ölçütler

Nirengi ağının P_i ve P_k komşu noktaları arasındaki bağıl hata elipsleri, K_{xx} matrisinden,

$$F_{ik} = \begin{bmatrix} 0 & 0 & 0 & \dots & -\frac{1}{I} & \dots & \frac{1}{K} & 0 & 0 \end{bmatrix}$$

gibi, bir yardımcı matris kullanılarak,

$$K_{dd} = F_{ik} K_{xx} F_{ik}^T = m_0^2 F_{ik} Q_{xx} F_{ik}^T$$

elde edilen K_{dd} komşu noktalar arasındaki Varyans-Kovaryans matrisinden faydalanarak hesaplanırlar. Nirengi ağlarında noktaların arasına çizilerek grafik gösterimi sağlanan bu elipslerin eksen uzunlukları Helmert ortalama hata elipslerinininkilere benzer şekilde K_{dd} matrisinden,

$$e_{ik} = \frac{1}{2} \arctan \left(\frac{2 Q_{dx dy}}{Q_{dx dx} - Q_{dy dy}} \right)$$

$$A_{ik} = m_0 \sqrt{(Q_{dx} dx + Q_{dy} dy + R)/2}$$

$$B_{ik} = m_0 \sqrt{(Q_{dx} dx + Q_{dy} dy - R)/2}$$

$$R^2 = (Q_{dx} dx - Q_{dy} dy)^2 + 4 Q_{dx}^2 dy \quad (5,102)$$

olarak elde edilirler. Burada kullanılan deęerler, Q_{xx} matrisinden,

$$Q_{dd} = Q_{ii} + Q_{kk} - Q_{ik} - Q_{ik}^T$$

şeklinde bulunan Q_{dd} matrisinden ya da

$$Q_{dx} dx = Q_{x_1 x_1} + Q_{x_k x_k} - 2 Q_{x_1 x_k}$$

$$Q_{dy} dy = Q_{y_1 y_1} + Q_{y_k y_k} - 2 Q_{y_1 y_k}$$

$$Q_{dx} dy = Q_{x_1 y_1} + Q_{x_k y_k} - Q_{x_1 y_k} - Q_{x_k y_1}$$

elde edilirler.

Bu şekilde P_1 ve P_k noktalarının arasında hesaplanan baęlı hata elipslerinin olasılıęı, Helmert ortalama hata elipsinininkine benzer şekilde hesaplandığında, $S=29.3$ ve $S=39.4$ olduęu görölür/ ÖZTÜRK 1982 s.23/. Daha büyük istatistik güvenle baęlı hata elipsi hesaplanmak istendiğinde, noktalar için tanımlanan güven elipslerine benzer şekilde,

$$A_{1i} = A_{1k} \sqrt{2 F_{2,n-u,S}}$$

$$B_{1i} = B_{1k} \sqrt{2 F_{2,n-u,S}} \quad (5.103)$$

olarak elde edilen eksen uzunluklarına sahip bağıl güven elipslerinden faydalanılmaktadır.

Nirengi ağlarında komşu noktalar için kullanılan bir başka ölçüt de, ağdaki her bir nokta kendisine komşu noktalardan kestiriliyormuş gibi düşünülerek elde edilen parsiyel hata elipsleridir. Kestirilecek noktaların üzerine çizilerek gösterilen parsiyel hata elipsleri, (5.78) deki normal denklemleri bu özelliğe göre ağdaki nokta sayısı kadar altmatrislere bölerek elde edilen Q_{pp} ağırlık katsayıları ters matrisinden (5.100) bağıntılarını kullanarak hesaplanır. Helmert ortalama hata elipslerinde olduğu gibi bunlarında $S=29.3$ ve $S=39.4$ istatistik güveni sağladıkları görülür. Daha büyük istatistik güven için bunların yerine, (5.101) deki bağıntıların tanımına göre elde edilen parsiyel güven elipsleri kullanılır.

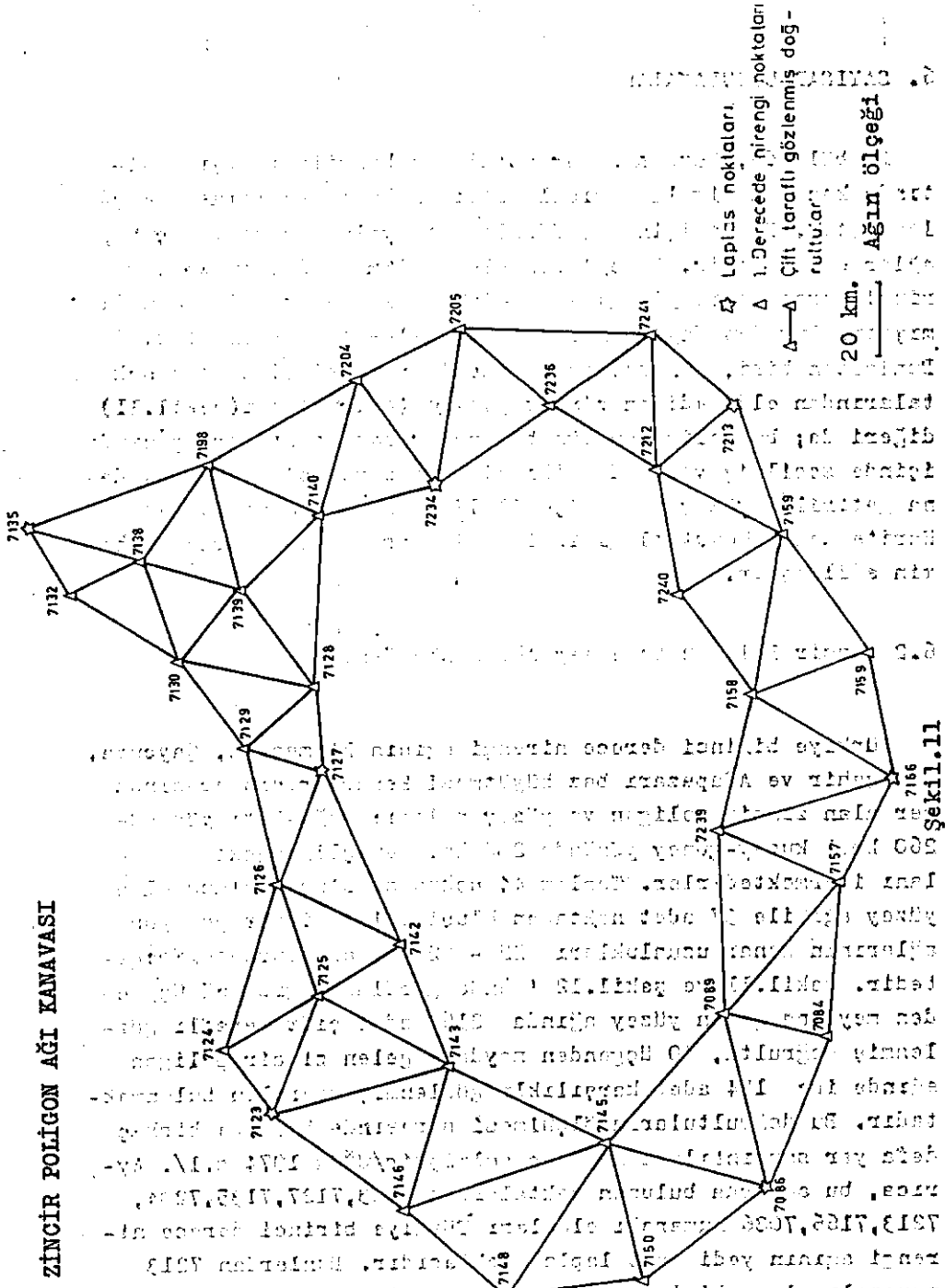
6. SAYISAL UYGULAMALAR

Bu bölümde, buraya kadar açıklanan bilgilerin ışığı altında konuyla ilgili sayısal araştırmaların yapılması amaçlanmıştır. Bunun için de, farklı katsayılar matrisine sahip ağlar seçilmiştir. Bu ağların elde edilmesinde, Türkiye birinci derece nirengi ağının yedinci poligonundan faydalanılmıştır. Buradan faydalanarak iki şekilde ağ kurulmuştur. Bunlardan biri, yedinci poligondaki tüm birinci derece noktalarından elde edilen zincir poligon(çelenk) ağı(şekil.11) diğeri de; bu poligonun tüm birinci derece noktaları yanında içinde seçilmiş yedi adet ikinci derece noktalarından meydana getirilen yüzey ağıdır(şekil 12). Bu ağlara ait veriler Harita Genel Komutanlığının izni ile arşiv dosyalarından temin edilmiştir.

6.2 Zincir Poligon ve Yüzey Ağlarının Tanımı

Türkiye birinci derece nirengi ağının Etimesgut, Çaycuma, Eskişehir ve Adapazarı baz büyümesi kenarlarının arasında yer alan zincir poligon ve yüzey ağları; doğu-batı yönünde 260 km. kuzey-güney yönünde 230 km. genişliğindeki bir alanı içermektedirler. Toplam 44 noktadan oluşturulmuş olan yüzey ağı ile 37 adet noktadan oluşturulan zincir poligon ağlarının kenar uzunlukları 22 - 52 km. arasında değişmektedir. şekil.11 ve şekil.12 'dende görüldüğü gibi 65 üçgen-den meydana gelen yüzey ağında 216 adet çift taraflı gözlenmiş doğrultu, 40 üçgen-den meydana gelen zincir poligon ağında ise 154 adet karşılıklı gözlenmiş doğrultu bulunmaktadır. Bu doğrultuların ölçülmesi sırasında bölgede birkaç defa yer sarsıntıları meydana gelmiştir/UGUR 1974 s.1/. Ayrıca, bu ağlarda bulunan noktalardan 7123,7127,7135,7234, 7213,7166,7086 numaralı olanları Türkiye birinci derece nirengi ağının yedi adet laplas noktasıdır. Bunlardan 7213

ZİNCİR POLİGON AĞI KANAVASI

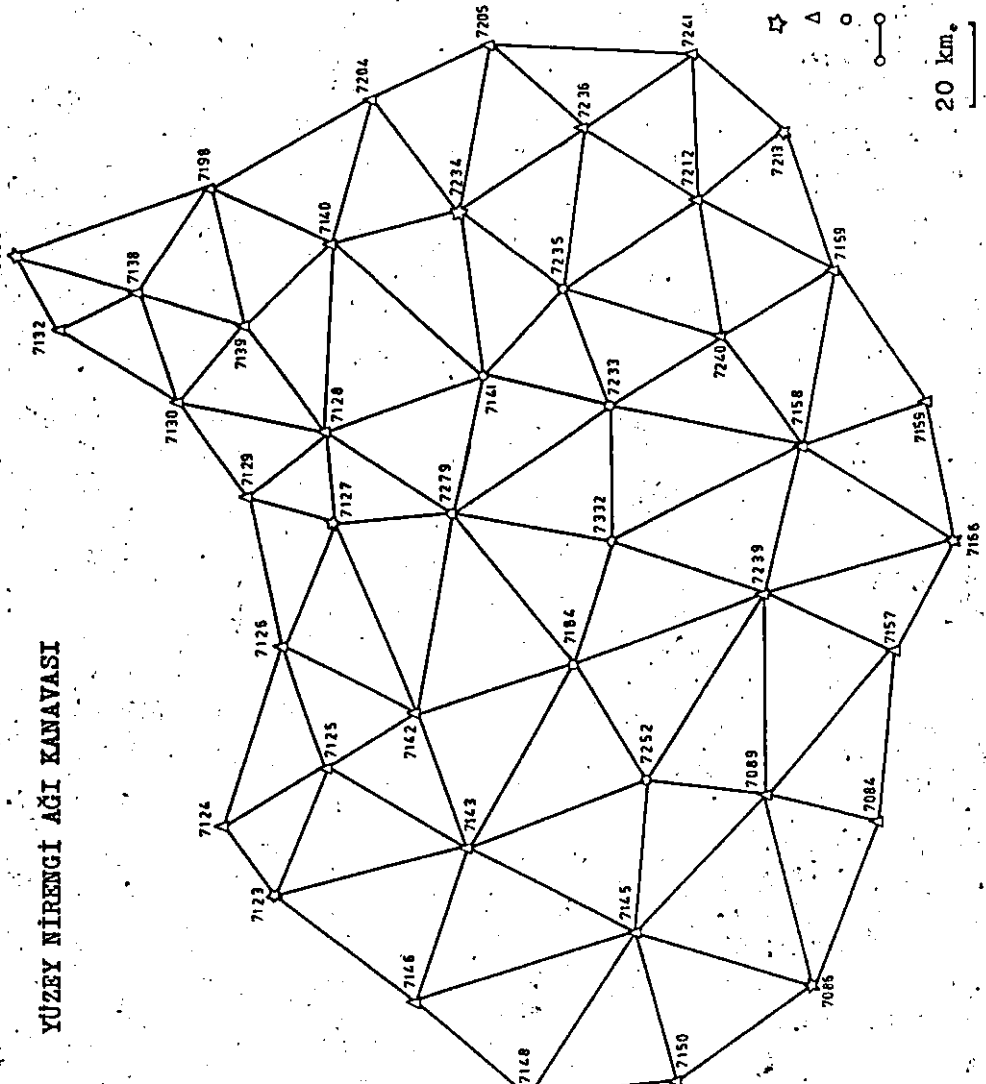


☆ Lapis noktaları
 ▲ 1. Derecede birerengli noktaları
 ⇄ Çift taraflı gözlenmiş doğrultular

20 km.

Şekil.11

YÜZEY NİRENGİ AĞI KANAVASI



☆ Laplas noktaları

△ 1. Derecede nirengi noktaları

○ 2. Derecede nirengi noktaları

○—○ Çift taraflı gözlemlenmiş doğrular.

20 km.

Ağın Ölçeği

Şekil.12

6.2 Zincir Poligon ve Yüzey Ağlarının Doğrultu Gözlemleri

Zincir poligon ve yüzey ağlarının doğrultu gözlemlerinin elde edilmesinde, Harita Genel Komutanlığından temin edilen Türkiye nirengi ağının yedinci poligonuna ait birinci ve ikinci derece noktalarına ilişkin yatay açı karnelerinden faydalanılmıştır. Bu karnelerdeki yatay açılar, birinci derece noktalarında ağırlık(vezin) 24, ikinci derece noktalarında 8-12 alınarak çoğunlukla güneş batmadan iki saat önce başlayıp geceleri de devam edilen tam silsile(dizi) ve kombinasyon yöntemlerine göre ölçülmüşler. Bunlardan bir nokta için, farklı ya da aynı tarih ve yöntemle elde edilmiş olanları, zaman zaman aynı başlangıç(sıfır) doğrultusuna göre ölçülmüş olmalarına karşılık farklı başlangıç doğrultularını esas alarak ölçüldükleri ilgili karnelerden görülmektedir.

Türkiye nirengi ağının yedinci poligonuna ait noktalarda bu şekilde ölçülmüş yatay açı gözlemlerinden zincir poligon ve yüzey ağlarının doğrultu gözlemlerini elde etmek için, her noktada yukarıda sözü edilen şekilde gözlenmiş yatay açılarının birleştirmeleri yapılmıştır. Böyle bir işlemin yapılmasında bilinmeyenler olarak doğrultular seçilerek önce her ölçü gurubu için bir istasyon dengelemesi yapılmıştır. Bir noktada, istasyon dengelemelerinden elde edilen doğrultular ölçü planına bağlı kalarak eşit ağırlıklı alınarak ikinci bir istasyon dengelemesi ile birleştirilmiştir. K.Ü. Bilgi işlem merkezinin IBM 370/125 Bilgisayarını kullanarak, bütün noktalardaki yatay açı gözlemleri için bu birleştirme işlemi yapılarak zincir poligon ve yüzey ağlarının dengelenmelerinde kullanılan doğrultu gözlemleri elde edilmiştir. Bunlara ait çekül sapması, hedef yüksekliği ve normal kesit eğrisinden jeodezik eğriye geçiş indirgeme miktarları (3.15), (3.43) ve (3.44) bağıntılarından faydalanarak hesaplanmıştır.

İndirgemelerin en büyük ve en küçük olduğu doğrultular çizelge.5 'den görülmektedir.

İndirgeme türleri	Doğrultu No	En Büyük değeri	Doğrultu No	En Küçük değeri
d ₁ (1)	7125-7142	0.64 ^{cc}	7166-7160	-0.48 ^{cc}
d ₁ (2)	7140-7141	0.46	7235-7141	-0.46
d ₁ (3)	7141-7128	0.01	7141-7140	-0.01

Çizelge.5

Doğrultu gözlemlerine ait birim ağırlıklı bir ölçünün a priori (öncül) karesel ortalama hatasını belirleyebilmek için, doğrultuların elipsoid yüzeyinde meydana getirdikleri üçgenlerin eksen değerleri hesaplanmıştır. Bunlara göre, zincir poligon ve yüzey ağları için hesaplanan üçgen kapanmaları, eksen değerleri ile birlikte şekil.13 'de verilmiştir. Üçgen kapanmalarından faydalanarak (3.70) 'göre; zincir poligon ağında gözlenmiş bir doğrultunun karesel ortalama hatası için $m_d = \pm 1.21^{cc}$, yüzey ağı için ise aynı yolla $m_d = \pm 2.13^{cc}$ değerleri bulunmuştur.

6.3 Zincir Poligon ve Yüzey Ağlarının Dengelenmesi

Zincir poligon ve yüzey ağlarının dengelenmesine geçmeden önce, bunların jeodezik koordinatlarla dengelenmesinde kullanılmak üzere Fortran IV dilinde bir program yazılmıştır. Bu program bir ağda ölçülen doğrultu, azimut ve uzunluklara ait düzeltme denklemlerini içerecek şekilde düzenlenmiştir. Serbest ve bağlı ağ dengelemesine göre de düzen-

lenmiş olan bu programın testi, beş noktalı bir ağıda yapılmıştır.

Bu programda, ölçüler için kurulan düzeltme denklemlerinin bilinmeyenleri olarak noktaların jeodezik koordinatları kullanıldığından, dengeleme işleminin sonucundan elde edilen çözüm vektörü ile duyarlık ölçütleri açı biriminde hesaplanmaktadır. Halbuki nokta konum duyarlığının gösterilmesinde alışılakelen bir gösterim şekli, uzunluk biriminde hesaplanmış ölçütlerin kullanılmasıdır. Bu nedenle, açı biriminde hesaplanan duyarlık ölçütleri uzunluk birimine dönüştürülmüştür. Bu işlem için, $d\varphi$ ve $d\lambda$ değerlerine elipsoid yüzeyinde karşılık gelen dx ve dy meridyen ve paralel dairesi yayı elemanları arasında,

$$B = \frac{1}{\rho} \begin{bmatrix} M_1 & . & . & . & . & . & . & 0 & 0 \\ . & N_1 \cos \varphi_1 & . & . & . & . & . & 0 & 0 \\ . & . & . & . & . & . & . & . & . \\ . & . & . & . & . & . & . & . & . \\ 0 & 0 & . & . & . & . & . & M_p & 0 \\ 0 & 0 & . & . & . & . & . & . & N_p \cos \varphi_p \end{bmatrix}$$

olmak üzere, yazılan bağıntıda genel hata yayılması kuralını uygulayarak elde edilen,

$$K_{xx} = B K_{\varphi\varphi} B^T = m_0^2 B Q_{\varphi\varphi} B^T$$

bağıntısı kullanılmıştır. Burada K_{xx} uzunluk birimindeki Varyans-Kovaryans matrisini, $K_{\varphi\varphi}$ de açı birimindeki Varyans-Kovaryans matrisini göstermektedir.

6.3.1 Zincir Poligon Ağının Serbest Dengelenmesi

Zincir poligon ağının bütün noktalarının koordinatları değişken alınarak serbest ağ olarak dengelenmiştir. Bunun sonucundan birim ağırlıklı bir ölçünün karesel ortalamaya hatası olarak (5.94-b) 'den, $f'_m = n - u = 43$ serbestlik derecesine göre $m_0 = \pm 1.34^{cc}$ değeri bulunmuştur. Bu ağda, üçgen kapanmalarından $f_d = 6n = 240$ serbestlik derecesi ile elde edilen $m_d = \pm 1.21^{cc}$ a priori karesel ortalama hatası kullanılarak (4.93) bağıntısına göre model testi yapılmıştır. Bunun sonucundan $S = 95$ olasılıkla testin geçerli olduğu görülmüştür.

Böylece, zincir poligon ağının serbest dengelenmesinden bu noktaların kesin koordinatları ile bunlara ait bütün duyarlılık ölçütleri hesaplanmıştır. Ağın iç konum hatası olarak $M_{iç} = \pm 1.5$ dm. değeri elde edilmiştir. Ayrıca, ağın bütün noktalarında koordinat bilinmeyenlerinin karesel ortalama hataları (m_x, m_y), Helmert ve Werkmeister konum hataları (m_p, m_w^2) hesaplanarak Ek.1'de, bu noktalara ait hata ve güven elipsleri Ek.9 'da ve komşu noktalara ait bağıl hata ve güven elipsleri Ek.10 'da verilmiştir.

Bunlara göre; bağlantısı zayıf noktaların duyarlılığı, bağlantısı fazla olan noktaların duyarlılığından daha az olduğu görülmüştür. Ayrıca, eşit sayıdaki doğrultu gözlemleri ile bağlantısı sağlanmış noktalardan dar açılı kesime sahip olanlarının duyarlılığı diğerlerine oranla daha az bulunmuştur. Komşu noktalar için hesaplanan duyarlılık ölçütlerinin kenar uzunlukları ile orantılı oldukları görülmektedir. Kısa kenarlardan hesaplanan duyarlılık ölçütleri uzun kenarlardan hesaplanana oranla daha küçük bulunmuştur.

6.3.2 Zincir Poligon Ağının Bağlı Dengelenmesi

Sabit nokta seçimine göre zincir poligon ağlarından elde edilen katsayılar matrisinin nokta konum duyarlığına etkisini incelemek amacıyla, bu ağın değişik yerlerine sabit noktalar alınarak birçok denemeler yapılmıştır. Ancak, burada sadece bunlardan 7086 ve 7135 numaralı noktaların sabit alınması durumunda yapılan dengelemenin sonuçları verilmiştir.

Ağın iki ucunda birer noktanın sabit alınması ile yapılan dengelemeden birim ağırlıklı bir ölçünün karesel ortalama hatası için, $f_d = n - u = 47$ serbestlik derecesine göre; $m_0 = \pm 1.34^{ccm}$ değeri bulunmuştur. Bu ağda, üçgen kapanmalarından $f_d = 6n = 240$ serbestlik derecesi ile elde edilen $m_d = \pm 1.21^{cc}$ değeri kullanılarak (4.93) bağıntısına göre model testi yapılmıştır. Bunun sonucundan $S = 95\%$ olasılıkla testin geçerli olduğu görülmüştür.

Buna göre, zincir poligon ağının iki noktasını sabit almak büretiyle yapılan bağlı dengelemesinden ağın dış konum hatası olarak $M_{diy} = \pm 2.4$ dm. değeri elde edilmiştir. Ayrıca ağın bütün noktalarına ait; koordinat bilinmeyenlerinin karesel ortalama hataları (m_x, m_y), Helmert ve Werkmeister konum hataları (m_p, m_w^2) hesaplanarak Ek.2 'de, hata ve güven elipsleri Ek.11 'de ve bu ağın komşu noktalarına ait hata ve güven elipsleri de Ek.12 'de verilmiştir.

Bu sonuçlara göre; ağda değişken alınan noktaların konum duyarlığı, konumu sabit alınan noktalardan uzaklaştıkça azalmaktadır. Ağda sabit noktalardan en uzakta bulunan noktanın konum duyarlığı diğerlerinininkine oranla en az olmaktadır.

6.3.3 YüzeY Ağının Serbest Dengelenmesi

YüzeY ağının bütün noktalarının koordinatları değişken alınarak serbest ağ şeklinde dengelenmiştir. Bunun sonucundan birim ağırlıklı bir ölçünün karesel ortalama hatası olarak, $f_m = n - u = 84$ serbestlik derecesine göre $m_0 = \pm 2.34^{cc}$ değeri elde edilmiştir. Bu ağda, üçgen kapanmalarından faydalanarak, $f_d = 6n = 390$ serbestlik derecesi ile hesaplanan $m_d = 2.13^{cc}$ a priori birim ölçünün karesel ortalama hatası kullanılarak (4.93) bağıntısı yardımıyla model testi yapılmıştır. Bunun sonucunda, S=%95 olasılıkla model testinin geçerli olduğu görülmüştür.

Buna göre, yüzeY ağının serbest dengelenmesinden ağın ortalama iç konum hatası olarak $M_{iç} = \pm 1.6$ (dm) değeri hesaplanmıştır. Ayrıca bu ağın bütün noktalarında, koordinat bilinmeyenlerinin karesel ortalama hataları (m_x, m_y), Helmert abra ve Werkmeister konum hataları (m_p, m_w^2) hesaplanarak Ek.3 'de, hatı ve güven elipsleri de hesaplanarak Ek.5 'de ve komşu noktaları arasındaki bağıl ve güven elipsleri de hesaplanarak Ek.6 'da verilmiştir.

Bunlara göre; ağın kenarlarındaki noktaların duyarlığına göre içindeki noktaların duyarlığına oranla daha az olduğu görülmüştür. Ayrıca, bağlantısı fazla olan noktaların konum duyarlığı bağlantısı az olan noktalarınkine oranla daha fazla olduğu tesbit edilmiştir.

6.3.4 YüzeY Ağının Bağlı Dengelenmesi

Sabit nokta seçimine bağlı olarak yüzeY ağından elde edilen katsayılar matrisinin nokta konum duyarlığı üzerindeki

etkisinin araştırılması amacıyla ağıın değişik noktaları sabit alınarak birçok denemeler yapılmıştır. Ancak, burada bu denemelerden biri olan 7086 ve 7135 numaralı noktaların sabit alınması ile yapılan dengelemenin sonuçları verilmiştir.

Yüzey ağıının iki ucunda sabit alınan noktalara göre yapılan bağılı dengelemesinden birim ağıırlıklı bir ölçünün karesel ortalama hatası için, $f_m = n-u = 88$ serbestlik derecesine göre; $m_o = \pm 2.34^{cc}$ değeri bulunmuştur. Üçgen kapanmalarından $f_d = 6n = 390$ serbestlik derecesine göre elde edilen $m_d = 2.13^{cc}$ a priori birim ölçünün karesel ortalama hatasını kullanarak model testi yapılmıştır. $S=\%95$ olasılıkla model testinin geçerli olduğu görülmüştür.

Böylece, yüzey ağıının bağılı dengelenmesinden ortalama dış konum hatası olarak $M_{dış} = \pm 2,9$ dm. değeri elde edilmiştir. Ayrıca, bunun bütün noktalarına ait, koordinat bilinmeyenlerinin karesel ortalama hataları (m_x, m_y), Helmert ve Werkmeister konum hataları (m_p, m_w^2) değerleri hesaplanarak Ek.4 'de, hata ve güven elipsleri çizilerek Ek.7 'de, komşu noktaları arasında hesaplanan bağılı hata ve güven elipsleri Ek.8 'de verilmiştir.

Bu sonuçlara göre yüzey ağıında nokta konum duyarlığıı sabit noktalardan uzaklaştıkça azalmaktadır. Ayrıca, konumu sabit alınan noktalardan eşit uzaklıkta bulunan noktaların konum duyarlıkları karşılaştırılırsa; ağıın kenarındaki noktaların konum duyarlığıı içindeki noktaların konum duyarlığıına oranla daha az olduğu görülmektedir.

6.3.5 Zincir Poligon ve Yüzey Ağlarına ait Duyarlık Ölçütlerinin Katsayılar Matrisi Yönünden Karşılaştırılmaları

Bu amaçla, zincir poligon ve yüzey ağlarının serbest ve iki sabit noktaya göre bağlı dengelenmelerinden elde edilen duyarlık ölçütlerinin, $m_0 = 1$ birim duyarlıklı, normlaştırılmış değerleri hesaplanmıştır. Böylece, katsayılar matrisinin duyarlık ölçütlerindeki payları belirlenmiştir.

Buna göre, her iki ağın serbest ve bağlı dengelenmesinden; ortalama konum hataları için hesaplanmış $M_{iç}$, $M_{dış}$ normlaştırılmış değerleri çizelge.6'da ve koordinat bilimiyerlerinin ortalama hataları için \bar{m}_x , \bar{m}_y , Helmert ve Werkmeister konum hataları için \bar{m}_p , \bar{m}_w^{2x} , Helmert hata ve güven elipslerinin elamanları için A_H , B_H , A_G , B_G normlaştırılmış değerleri hesaplanarak Ek.13, Ek.14, Ek.15, Ek.16'da verilmiştir.

(dm/cc) biriminde	Yüzey Ağının		Zincir Poligon Ağının	
	Serbest D.	Bağlı D.	Serbest D.	Bağlı D.
$M_{iç}$ ve $M_{dış}$ değerleri	± 0.66	± 1.24	± 1.12	± 1.82

Çizelge.6

Bu şekilde, elde edilen duyarlık ölçütlerinin normlaştırılmış değerlerinin karşılaştırılmasından, zincir poligon ağı için hesaplanan değerlerin yüzey ağı için hesaplananlardan daha büyük oldukları görülmektedir. Buna göre yüzey ağında katsayılar matrisinin duyarlık ölçütlerine etkisinin daha fazla olduğu anlaşılmaktadır. Ayrıca, bu ağların bağlı

dengelemelerinde hesaplanan duyarlık ölçütlerinin normlaştırılmış değerleri karşılaştırıldığında, sabit konumlu nokta almanın yüzey ağlarında elde edilen duyarlık ölçütlerine etkisinin, zincir poligon ağlarındakine oranla daha az olduğu görülmüştür.

7. SONUÇ VE ÖNERİLER

Ülke büyüklüğünde kurulan nirengi ağlarının iki boyutlu dengelenmesinde hesap yüzeyi olarak konform projeksiyon yüzeyleri kullanılabilirse de; daha büyük alanları içerecek şekilde kurulan nirengi ağlarının dengelenmesinde bu yüzeyler hesap yüzeyi olarak kullanılamazlar. Böyle ağların dengelenmesinde hesap yüzeyi olarak referans elipsoidi kullanılır.

Büyük nirengi ağlarının referans elipsoidine göre noktaların jeodezik koordinatları ile iki boyutlu dengelenmesinde iki çeşit fonksiyonel model kurulmaktadır. Bunlardan biri, bölüm 3.1 'deki üçüncü boyutu da gözönüne alarak nirengi ağlarının jeodezik koordinatlarla iki boyutlu dengelenmesi için kurulan; diğeri de bölüm 3.2 'deki elipsoid yüzeyinde nirengi ağlarının jeodezik koordinatlarla iki boyutlu dengelenmesi için kurulanıdır. Nirengi ağlarının bu fonksiyonel modellerden herhangi biri ile dengelenmesindeki tercih, ağlara ait yeryüzünde yapılmış ölçülerin referans elipsoidine indirgenmelerinde kullanılan işlemlerin çokluğuna bağlıdır. Üçüncü boyutu da gözönüne alarak nirengi ağlarının jeodezik koordinatlarla iki boyutlu dengelenmesinde kullanılan fonksiyonel model için bölüm 3.1.1 'deki indirgemeler yeterli olmasına karşılık, elipsoid yüzeyinde nirengi ağlarının jeodezik koordinatlarla iki boyutlu dengelenmesinde kurulan fonksiyonel model için bu indirgemelerin yanında bölüm 3.2.1 'deki indirgemelerin de kullanılması gerekmektedir.

Bu çalışmada, indirgemelerin az olması nedeniyle bölüm 3.1 'deki fonksiyonel modele göre Türkiye nirengi ağının yedinci poligonundan faydalanılarak elde edilen zincir poligon ve

yüzey ağ modellerinden katsayılar matrisinin değişik şekilleri kurulmuştur. Bunlarla yapılan birçok denemelerin sonucundan, katsayılar matrisinin nokta duyarlılığına olan etkisinin araştırılması yapılmıştır. Bu araştırmalardan aşağıdaki sonuçlara varılmıştır.

Nirengi ağlarının dengelenmesi ile kesin koordinatları hesaplanan noktaların konum duyarlılıkları , ağda konumu sabit alınan noktaların sayısına ve buldukları yerlere göre değişmektedir. Sabit noktalardan uzaklaştıkça, konumu değişken olan noktaların duyarlılığı da azalmaktadır. Sabit noktalardan en uzakta bulunan noktaların duyarlılığı da enaz olmaktadır.

Nirengi ağlarında konumu değişken alınan noktaların duyarlılıkları , ağın geometrik şekline göre de değişmektedir. Zincir ağı biçiminde kurulanların nokta konum duyarlılıkları; yüzey ağı biçiminde kurulanlarınkilere oranla daha az olmaktadır.

Nirengi ağlarının nokta duyarlılıkları , ağın noktaları arasındaki mesafelere göre de değişmektedir. Uzun kenarların kesişmesinden elde edilen noktaların duyarlılığı, kısa kenarların kesişmesinden elde edilenlerinkilere oranla daha az olmaktadır.

Nirengi ağlarında koordinatları hesaplanacak noktaların duyarlılığı , bunların belirlenmesinde kullanılan doğrultuların sayısına ve kesişme açalarına bağlı olarak değişmektedir. çok sayıda doğrultunun kesişmesinden meydana gelen ağın iç noktalarının duyarlılığı, az sayıda doğrultunun kesişmesinden meydana gelen dış noktaların duyarlılığına oranla fazla olmaktadır.

Günümüzde, nirengi ağlarının dengelenmesinde bilgisayar- lar- dan büyük ölçüde faydalanılmaktadır. Buna göre de, niren- gi ağlarının dengelenmesi sırasında işlem çokluğu yönünden meydana gelecek bütün hesaplama güçlükleri de ortadan kalk- maktadır. Nirengi ağlarının dengelenmesinde bu durum göz önüne alındığı sürece, eşit duyarlıkta gözlemlerden kurulan büyük ağların dengelenmesinde, gerek işlemlerin azlığı yönün- den, gerekse ağın büyüklüğü ve konum duyarlığı yönünden aşağıdaki öneriler yapılabilir.

Büyük nirengi ağlarının hiçbir projeksiyon yüzeyine, ihti- yaç duyulmadan sadece referans elipsoidine göre noktalarının jeodezik koordinatları ile dengelenmeleri uygun olabilir.

Eşit duyarlıkta gözlemlerle kurulacak nirengi ağlarının yay yüzey ağı biçiminde kurulmaları ve dengelenmeleri; noktako- num duyarlığının fazla olması yönünden uygun olabilir.

Nirengi ağlarının dengelenmesinde, konumu sabit alınan noktaların konumu değişken alınan noktaların konum duyar- lığı üzerindeki etkilerinin ortadan kaldırılması için, bun- ların serbest ağı olarak dengelenmesi ve konumu sabit alınan noktaların dayandığı eski ağıla yeni ağına datum birliğinin sağlanabilmesi amacıyla burada bir Helmert dönüşümünün yapılması uygun olur.

YARARLANILAN KAYNAKLAR

- AKSOY, A.
1974 : Matematik İstatistik Yöntemlerle Jeodezik Ölçülerin İrdelenmesi, İ.T.Ü. Kütüphanesi Sayı: 987, İstanbul.
- AKSOY, A./ GÜNEŞ, İ.H.
1976 : Jeodezi II Ders Notu, İstanbul.
- AKSOY, A.
1977 : 3. Derece Noktaları İçin Yüzey Ağı ve Kenar Ölçülerinin Nokta Prezisyonuna Etkisi, İ.T.Ü. Yayını
- ALGÜL, E.
1982 : Barajlarda Jeodezik Deformasyon Ölçüleri ve Analizi, İstanbul. (Doçentlik Tezi)
- ASHKENAZI, V.
1967,1968 : Solution and Error Analysis of Large Geodetic Networks, SR No: 146,147.
- ASHKENAZI, V.
1974 : The Adjustment and Analysis of Very Large Networks, CS, December.
- ASPLUND, L.
1945 : Über Einige Methoden für die Ausgleichung grosser Dreiecksnetze, Stockholm.
- ATEŞ, T.
1958 : Harita Tarihçesi ve Türkiyede Harita İşleri, Harita Dergisi NATO Özel Sayısı.
- AYAN, T.
1981 : Jeodezik Ağların Optimizasyonu, İstanbul (Doçentlik Tezi).
- BJERHAMMAR, A.
1973 : Theory of Errors and Generalized Matrix Inverses, New York.
- BOMFORD, G.
1971 : Geodesy, Oxford.
- CULLEY, F.L.
1969 : Resolution, Precision and Accuracy, U.S. Army Topographic Command. Washington.

- ERBUDAK, M. / TUĞLUOĞLU, A.
1976 : Fiziksel Geodezi, İDMMA Yayınları Sayı:129
İstanbul.
- FUBARA, D. M. J.
1972 : Three-Dimensional Adjustment of Terrestrial
Geodetic Networks, CS.
- GÜNEŞ, İ. H.
1978 : Ülke Triangülasyon Ağı ile İlişkili Yerel
Ağlar Sorunu ve Bazı Öneriler, İ.T.Ü.(Dok-
tora Tezi).
- GÜRKAN, O.
1979 : Astro-jeodezik Ağların Deformasyonu ve Türkiye
1. derece Triangülasyon Ağı, K.T.Ü. Yayın
No: 104, Trabzon.
- GÜRKAN, O.
1984 : Ülke Temel Nirengi Ağları Kurma, Yaşatma ve
Kullanma Üzerine, D.S.İ. Harita Mühendisleri
Semineri Tebliğleri, Trabzon.
- GOTTHARDT, E. (Çevirenler: AYTAC, M./ ÖRMECİ, C./ ALTAN, O.)
1974 : Dengelme'ye Giriş, İ.T.Ü. Kütüphanesi Sayı:997.
İstanbul.
- GRAFAREND, E. V.
1974 : Optimization of Geodetic Network, CS.
- GRAFAREND, E. V. / SCHAFFRIN, B.
1974 : Unbiased Free Net Adjustment, SR.
- GROSSMANN, W. (Çeviri : ÖZGEN, M. G.)
1962 : Dengelme Hesaplarının Ana Hatları, İ.T.Ü.
Kütüphanesi Sayı: 503, İstanbul.
- HAZAY, I.
1970 : Adjusting Calculations in Surveying, Akademiai
Kiado, Budapest.
- HEISKANEN, W. A. / MORITZ, H.
1967 : Physical Geodesy, San Francisco and London.
- HELMERT, F. R.
1880 : Die Mathematischen und Physikalischen Theorien
der Höheren Geodäsie, Leipzig.
- HRADILEK, L.
1984 : Three-Dimensional Terrestrial Triangulation
Application in Surveying Engineering, Stuttgart.

JORDAN-EGGERT

1941 : Handbuch der Vermessungskunde, Stuttgart.

JORDAN-EGGERT-KNEISSL

1958,1959 : Mathematische Geodäsie, Band IV, Stuttgart.

KORHONEN, J.

1975 : Program for The Adjustment of The Finnish First Order Triangulation, Helsinki.

KNIGHT, V. / STEEVES, P.

1974 : Partial Solution of The Variance-Covariance Matrix of Geodetic Networks, CS.

KRUIF, J. B. P.

1969 : The Adjustment of The Primary Triangulation of Netherlands, Rapport Sur le Symposium pour la Nouvelle Compensations des Triangulation Européennes, Paris.

LEVALLOIS, J. J.

1947 : Compensations des Réseaux Géodésiques par la Methode des Gisement, BG, No:3

LEVALLOIS, J. J.

1969,1970 : Géodesie Générale, Tom I, II, Paris.

MIKHAIL, E. M.

1976 : Observation and Least Squares, New York.

ÖZBENLİ, E.

1972 : Jeodeziye Giriş, Elipsoid Geometrisi, İstanbul.

ÖLANDER, V. R.

1935 : Zwei Ausgleichungen des grossen Südfinnischen Dreiecksranzes, Helsinki.

ÖZTÜRK, E.

1982 : Jeodezik Ağlarda Güven Ölçütleri ve Ölçme plânının Enuygunlaştırılması, K.T.Ü. Yayın No:149 Trabzon.

PELZER, H.

1980 : Some Criteria for The Accuracy and The Reliability of Networks. DGK

RAPP, R. H.

1980,1981 : Geometric Geodesy, Vol 1-2, Department of Geodetic Science, The Ohio State University, Columbus.

- RUFF, B.
1983 : Berechnung der Pseudoinversen mit Modifiziertem Gauß-Jordan-Austauschverfahren unter Ausnützung der Symmetrieeigenschaften der Normalgleichungsmatrizen, Zfv, No:6.
- SERBETÇİ, M.
1972 : Enküçük Kareler Yöntemine Göre Dengelemede Gruplara Ayırma, K.T.Ü.(Doçentlik Tezi)
- SERBETÇİ, M.
1975 : Büyük Ağların Dengelenmesinde Helmert Yöntemi, Harita Kadastro Mühendisliği Dergisi Sayı:35 Ankara.
- TUĞLUOĞLU, A.
1975 : Geodezik Ölçülerin Elipsoid Yüzeyine İndirgenmesi, İstanbul(Doçentlik Tezi).
- UĞUR, E.
1974 : Kuzey Anadolu Fay Kuşağının Gerde-Çerkes Bölümünde Yerkaşığı Hareketlerinin Jeodezik Yöntemlerle İncelenmesi, Ankara(Doktora Tezi).
- ULSOY, E.
1963 : Dengeleme Hesabı, Teknik Okul Yayınları No:87, İstanbul.
- ULSOY, E.
1977 : Matematik Geodezi, İDMMA Yayınları No:144 İstanbul
- VANICEK, P./KRAKIWSKY, E. J.
1982 : Geodesy: The Concept, Nort-Holland Publ. Comp.
- WALKER, F.
1967 : Adjustment of Astrogeodetic Triangulation Network, Technical Report No:60, Washington.
- WOLF, H.
1969 : Standardization in The Adjustment of The European Triangulation Net, Report Sur le Symposium pour la Nouvelle Compensación de Triangulation Européennes, Paris.
- ZIMMERMAN, D. S.
1974 : Least Squares Solution by Diagonal Partitioning, The CS.

K I S A L T M A L A R

- EG : Bulletin Géodésique
- CS : Canadian Surveyor
- DGK : Deutsche Geodätische Kommission bei der
Bayerischen Akademie der Wissenschaften
- IDMMA : İstanbul Devlet Mühendislik ve Mimarlık Akademisi
- i.T.Ü. : İstanbul Teknik Üniversitesi
- K.Ü. : Karadeniz Üniversitesi
- K.T.Ü. : Karadeniz Teknik Üniversitesi
- SR : Survey Review
- Zfv : Zeitschrift für Vermessungswesen

EK.1 Zincir Poligon Ağıının Serbest Dengelenmesinden Hesaplanan m_x , m_y , m_p ve m_w^2 değerleri

Nokta No.	m_x (dm.)	m_y (dm.)	m_p (dm.)	m_w^2 (dm.) ⁴
7084	1.55	1.80	2.38	684.1
7086	1.81	1.47	2.33	704.5
7089	1.32	1.65	2.11	423.4
7123	1.55	1.48	2.14	520.5
7124	1.74	1.45	2.26	605.8
7125	1.19	1.31	1.77	211.5
7126	1.14	1.65	2.01	292.5
7127	1.20	1.72	2.10	396.3
7128	1.15	1.51	1.90	300.3
7129	1.01	1.70	1.98	290.4
7130	1.11	1.42	1.80	228.1
7132	1.80	1.60	2.41	778.6
7135	2.23	1.82	2.88	1646.1
7138	1.30	1.29	1.83	262.0
7139	0.99	1.17	1.53	122.3
7140	1.13	1.21	1.65	154.9
7142	1.24	1.44	1.90	301.8
7143	1.32	1.23	1.81	229.9
7145	1.39	1.12	1.79	244.2
7146	1.55	1.51	2.17	527.9
7148	1.73	1.76	2.46	913.0
7150	1.85	1.63	2.47	901.4
7157	1.25	1.83	2.22	506.9
7158	1.25	1.74	2.14	463.9
7159	1.49	1.53	2.13	476.5
7160	1.38	1.87	2.33	645.7
7166	1.37	1.74	2.21	564.5
7198	1.33	1.34	1.88	290.0
7204	1.38	1.21	1.83	264.7
7205	1.71	1.32	2.16	490.9
7212	1.62	1.36	2.12	468.0
7213	1.88	1.50	2.41	755.0
7234	1.31	1.23	1.80	259.8
7236	1.85	1.11	2.16	419.9
7239	1.40	1.73	2.23	583.0
7240	1.53	1.60	2.21	598.3
7241	1.93	1.45	2.42	779.3

EK.2 Zincir Poligon Ağıнын 7086 ve 7135 Numaralı Noktalarının Sabit Alınarak Bağlı Dengelenmesinden hesaplanan m_x , m_y , m_p , m_w^2 değerleri

Nokta No.	m_x (dm.)	m_y (dm.)	m_p (dm.)	m_w^2 (dm.) ⁴
7084	1.13	1.67	2.02	355.6
7089	1.16	1.60	1.97	342.1
7123	2.92	2.28	3.71	4391.9
7124	3.14	2.32	3.91	5132.7
7125	2.54	2.08	3.28	2540.7
7126	2.48	2.30	3.38	2681.7
7127	2.33	2.23	3.23	2075.2
7128	2.24	2.00	3.01	1644.7
7129	2.10	2.12	2.99	1491.6
7130	1.56	1.51	2.17	433.4
7132	0.79	1.00	1.28	49.1
7138	1.25	0.90	1.54	107.7
7139	1.80	1.38	2.27	541.5
7140	2.30	1.04	2.83	1415.1
7142	2.30	2.05	3.08	1990.7
7143	2.26	1.74	2.86	1435.7
7145	1.45	1.06	1.80	236.2
7146	2.57	1.97	3.24	2534.4
7148	2.13	1.74	2.75	1322.9
7150	1.46	1.17	1.87	258.6
7157	1.93	2.41	3.09	2173.1
7158	2.70	2.85	3.92	5898.4
7159	3.49	3.21	4.75	12386.5
7160	3.08	3.30	4.51	10213.8
7166	2.63	2.83	3.87	5548.5
7198	1.87	1.31	2.29	600.0
7204	2.80	2.14	3.52	3563.4
7205	3.56	2.71	4.47	9198.3
7212	3.66	2.99	4.73	11916.5
7213	4.09	3.36	5.29	18550.3
7234	2.91	2.16	3.63	3938.0
7236	3.76	2.68	4.61	10096.1
7239	2.11	2.36	3.16	2466.4
7240	3.19	2.86	4.28	8319.9
7241	4.19	3.25	5.30	18484.3

EK.3 Yüzey Ağının Serbest Dengelenmesinden Hesaplanan

 m_x , m_y , m_p , m_w^2 değerleri

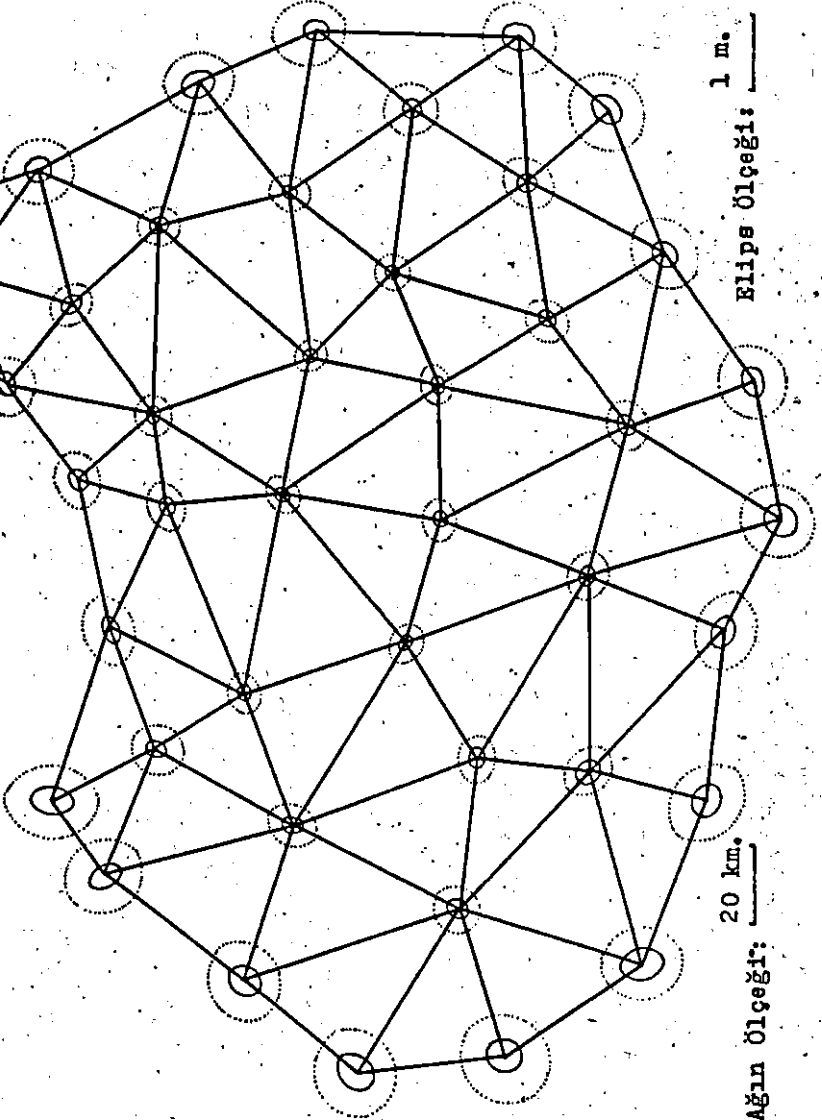
Nokta No.	m_x (dm.)	m_y (dm.)	m_p (dm.)	m_w^2 (dm.) ⁴
7084	1.78	1.92	2.62	1127.9
7086	2.16	2.01	2.96	1882.7
7089	1.17	1.25	1.71	203.6
7123	1.98	1.97	2.79	1505.1
7124	2.26	1.87	2.93	1785.5
7125	1.34	1.30	1.87	304.8
7126	1.22	1.66	2.06	384.8
7127	0.92	1.12	1.46	103.1
7128	0.84	0.99	1.30	68.6
7129	1.12	1.39	1.78	240.7
7130	1.42	1.48	2.04	436.6
7132	2.42	2.11	3.21	2592.1
7135	3.04	2.57	3.99	5994.2
7138	1.66	1.58	2.29	693.7
7139	1.10	1.12	1.56	149.2
7140	1.05	0.98	1.44	105.5
7141	0.80	0.84	1.16	45.0
7142	0.98	1.06	1.44	106.5
7143	1.10	1.04	1.51	127.7
7145	1.20	1.22	1.70	211.0
7146	1.82	1.96	2.68	1272.7
7148	2.32	2.39	3.33	3057.7
7150	2.29	2.21	3.18	2551.1
7157	1.48	1.88	2.40	775.2
7158	1.12	1.19	1.64	179.5
7159	1.54	1.66	2.26	643.8
7160	1.82	1.96	2.68	1275.4
7166	1.92	1.89	2.69	1310.3
7184	0.83	0.94	1.25	60.5
7198	1.66	1.60	2.31	706.2
7204	1.62	1.52	2.22	603.5
7205	1.80	1.71	2.48	941.2
7212	1.30	1.30	1.84	283.2
7213	1.94	1.89	2.71	1340.4
7233	0.85	0.88	1.23	56.6
7234	0.98	0.90	1.33	76.8
7235	0.80	0.86	1.18	47.2
7236	1.38	1.27	1.88	308.8
7239	0.98	1.11	1.48	117.2
7240	1.06	1.07	1.51	128.9
7241	1.95	1.94	2.75	1431.1
7252	0.92	1.03	1.38	89.9
7279	0.86	0.88	1.22	54.7
7332	0.91	0.94	1.31	73.2

EK.4 Yüzey Ağının 7086 ve 7135 Numaralı Noktalarının Sabit Alınarak Bağlı Dengelenmesinden Hesaplanan m_x , m_y , m_p , m_w^2 değerleri

Nokta No.	m_x (dm.)	m_y (dm.)	m_p (dm.)	m_w^2 (dm.) ⁴
7084	1.63	2.22	2.77	1325.2
7089	1.64	1.88	2.50	945.3
7123	3.64	3.14	4.80	12965.6
7124	3.95	3.14	5.05	15411.6
7125	3.10	2.63	4.06	6619.4
7126	3.02	2.84	4.14	7066.0
7127	2.65	2.44	3.60	3904.1
7128	2.53	2.32	3.43	3154.6
7129	2.62	2.48	3.62	3893.4
7130	2.18	2.01	2.97	1657.7
7132	1.26	1.50	1.96	281.6
7138	1.79	1.36	2.25	526.1
7139	2.30	1.93	3.00	1807.4
7140	2.70	2.31	3.56	3788.6
7141	2.76	2.62	3.81	5129.2
7142	2.68	2.37	3.58	3998.2
7143	2.58	2.18	3.38	3182.0
7145	1.80	1.54	2.37	768.7
7146	3.10	2.78	4.16	7414.7
7148	2.85	2.60	3.86	5354.1
7150	2.02	1.78	2.69	1184.6
7157	2.61	3.00	3.98	6102.7
7158	3.15	3.21	4.49	10161.8
7159	3.99	4.13	5.74	27118.6
7160	3.89	4.06	5.62	25024.9
7166	3.58	3.53	5.03	16039.1
7184	2.37	2.24	3.26	2790.2
7198	2.50	1.96	3.17	2380.0
7204	3.40	3.10	4.60	11047.1
7205	3.98	3.86	5.54	23449.5
7212	3.85	3.88	5.47	22154.1
7213	4.52	4.57	6.44	42718.0
7233	2.87	2.82	4.02	6440.6
7234	3.10	2.90	4.24	7907.9
7235	3.08	3.02	4.31	8499.8
7236	3.82	3.72	5.33	20069.2
7239	2.50	2.59	3.59	4124.3
7240	3.31	3.34	4.70	12129.1
7241	4.51	4.59	6.47	43717.8
7252	2.02	1.94	2.80	1524.0
7279	2.61	2.41	3.55	3783.0
7332	2.59	2.52	3.62	4178.3

EK.5 : Yüzey Ağın Serbest Dengelenmesinde
Noktaların Hata ve Güven Elipsleri

○ : Hata Elipsi
○ : Güven Elipsi



Ağın Ölçeği: 20 km.

Elips Ölçeği: 1 m.

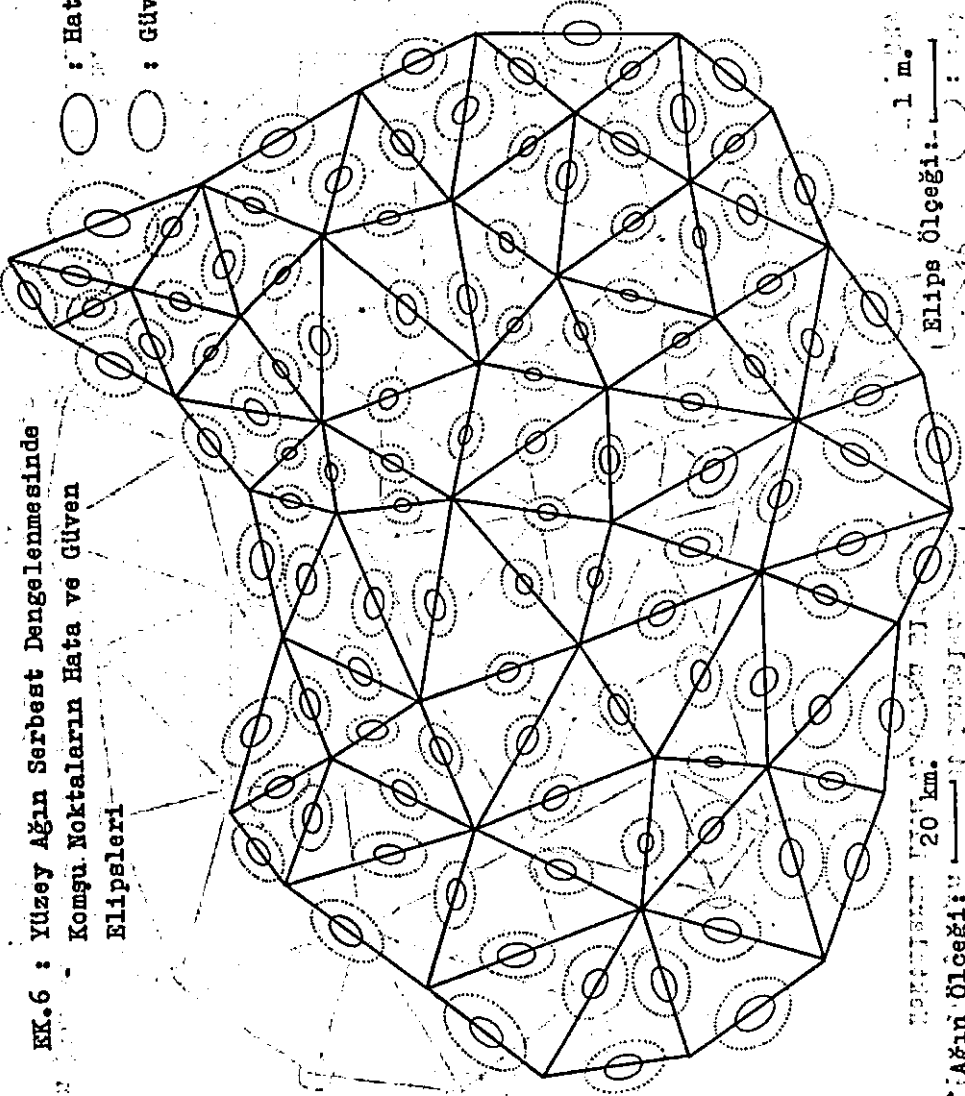
KK.6 : Yüzey Ağın Serbest Dengelenmesinde

Konu. Noktaların Hata ve Güven

Elipsleri

: Hata Elipsi

: Güven Elipsi

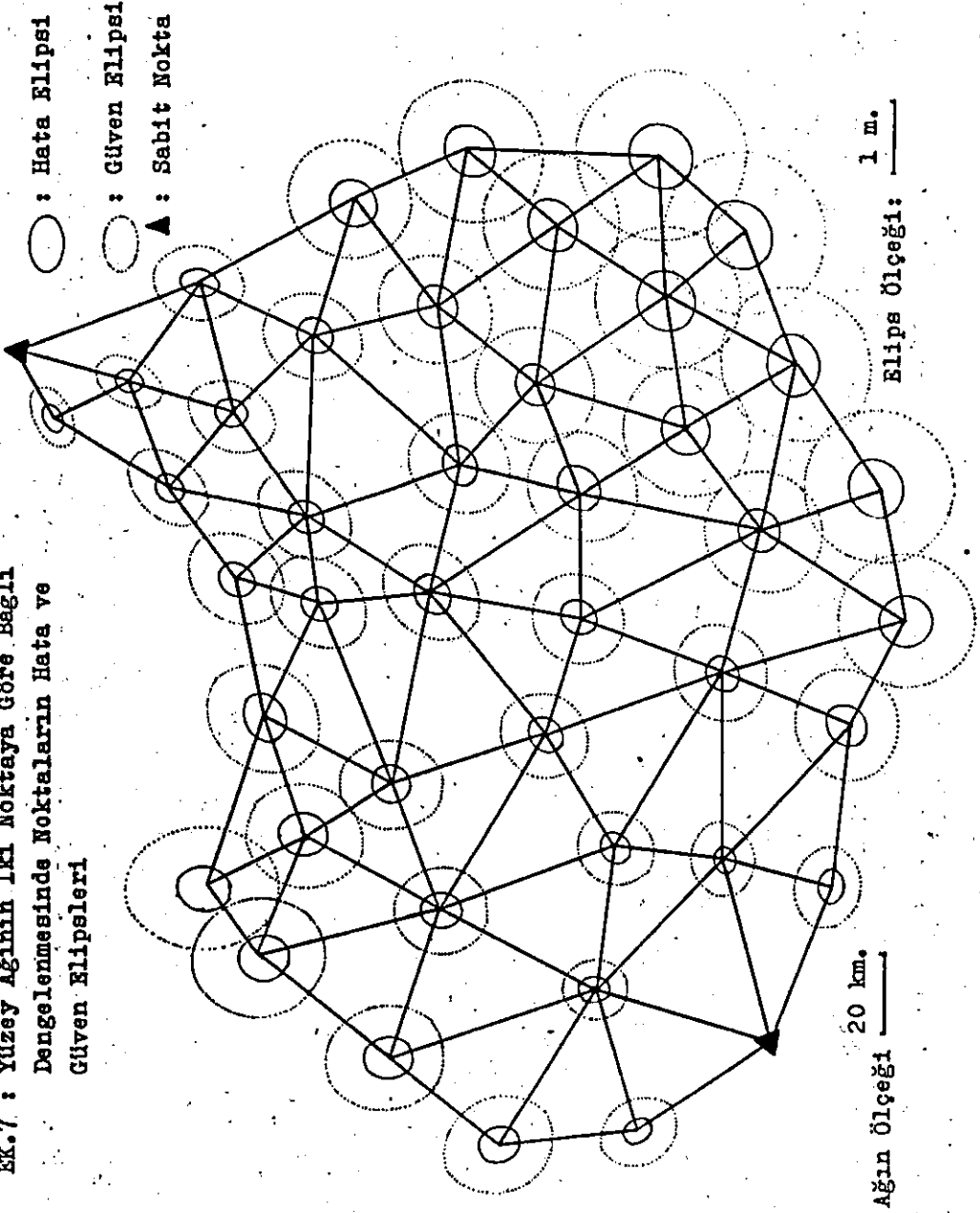


1 m.

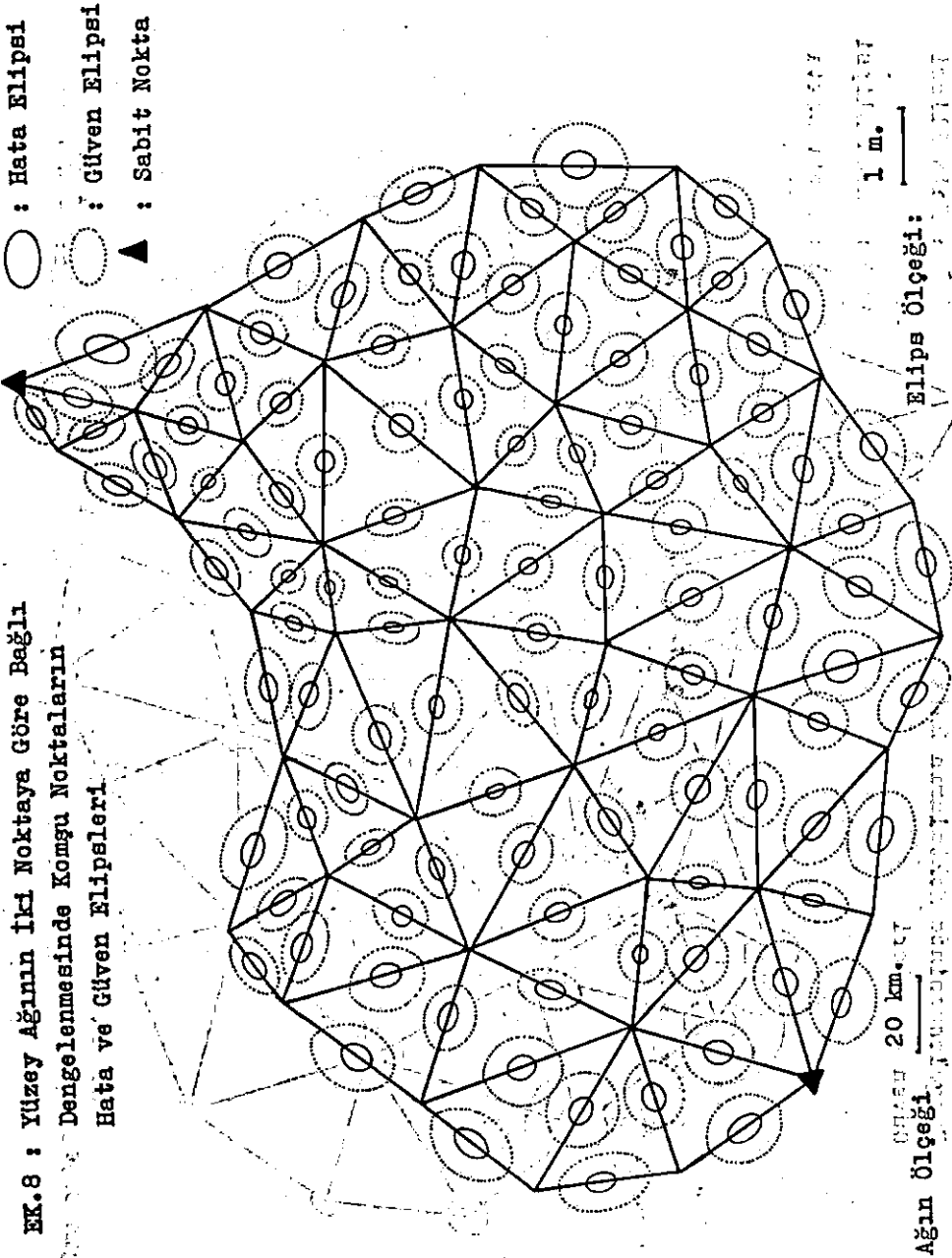
Elips Ölçeği: 1/20 km.

KK.6 : Yüzey Ağın Serbest Dengelenmesinde

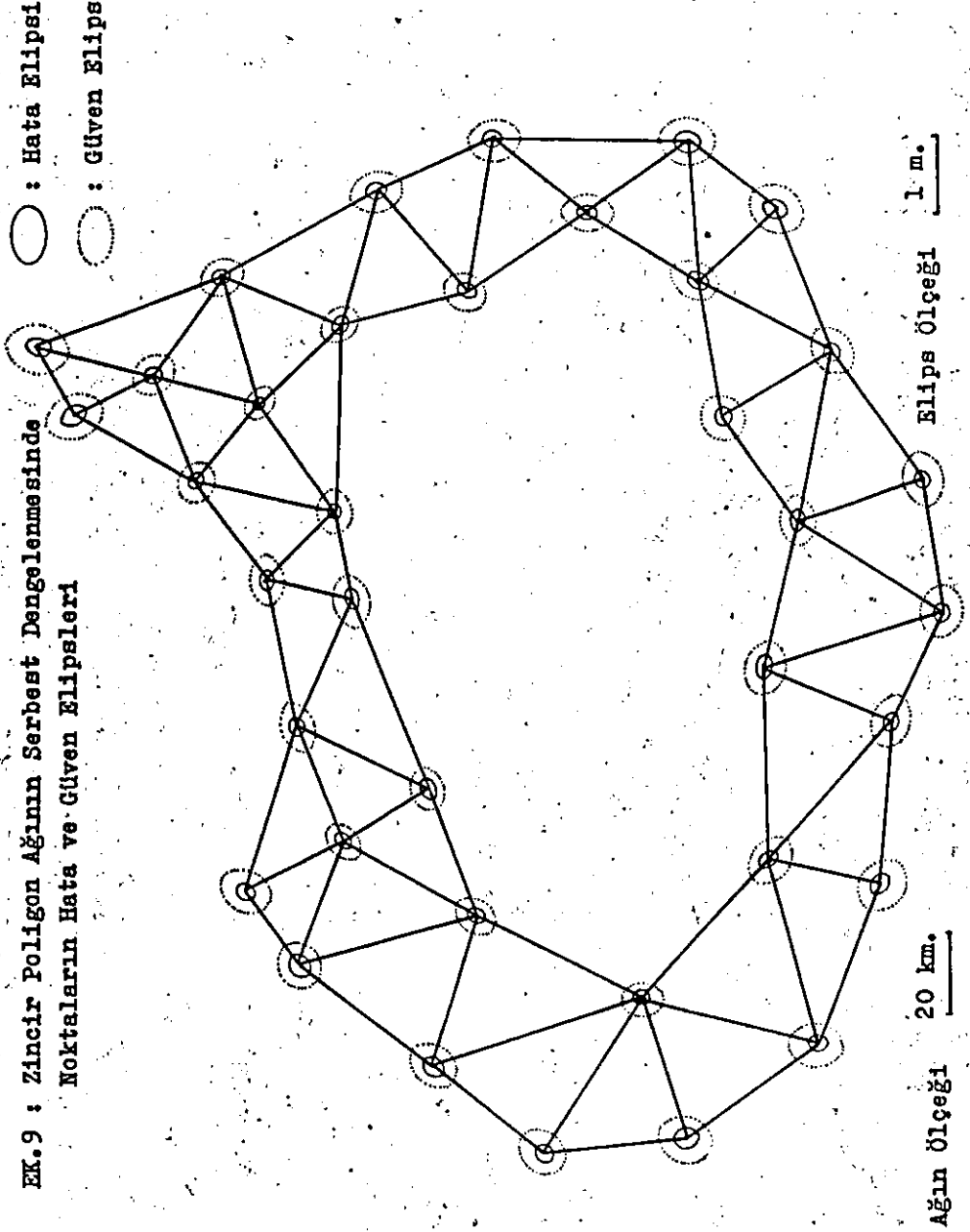
Ek.7 : Yüzey Ağının İki Noktaya Göre Bağlı
Dengelemesinde Noktaların Hata ve
Güven Elipsleri



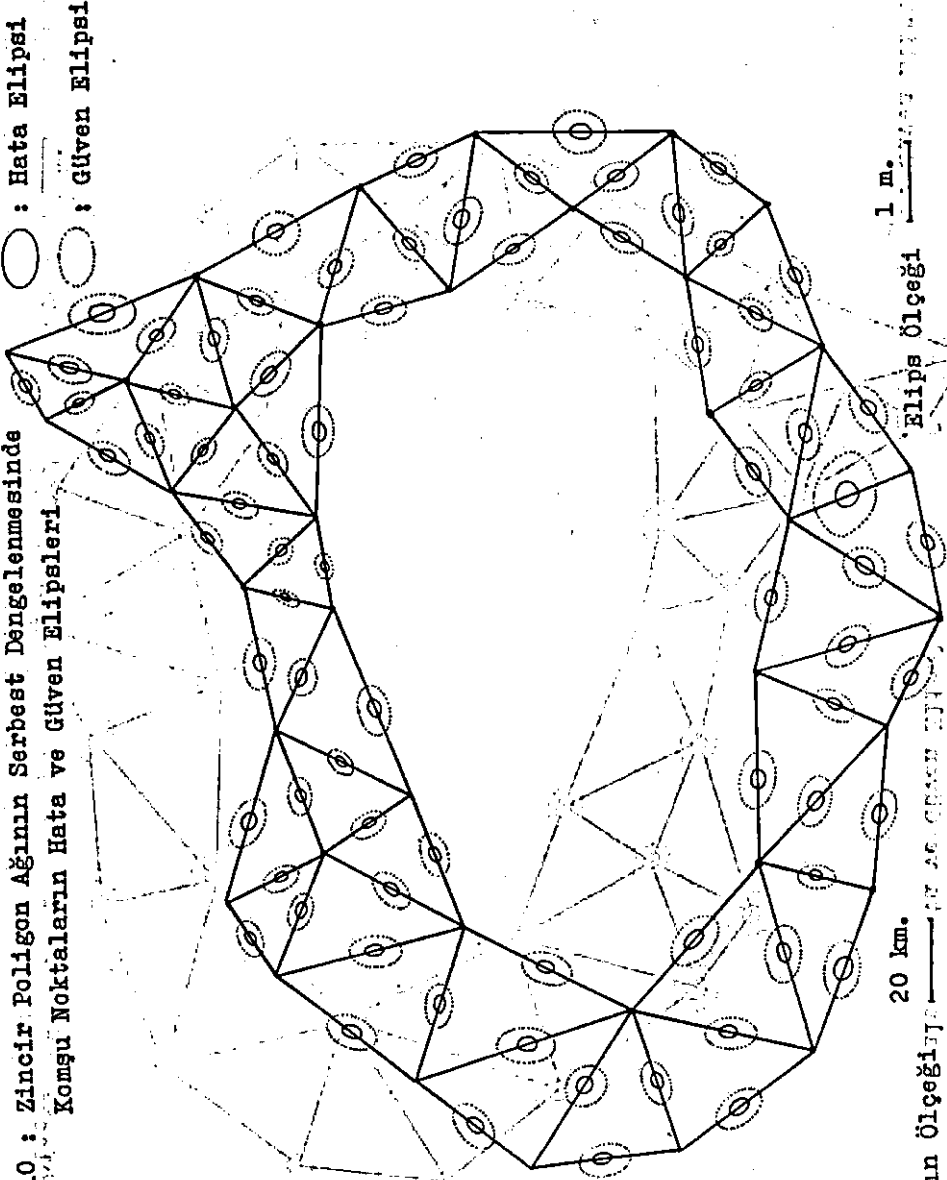
**EK.8 : Yüzey Ağının İki Noktaya Göre Bağlı
Dengelenmesinde Komşu Noktaların
Hata ve Güven Elipsleri**



Ek.9 : Zincir Poligon Ağının Serbest Dengelenmesinde
 Noktaların Hata ve Güven Elipsleri



EK.10 : Zincir Poligon Ağının Serbest Dengelenmesinde
Komşu Noktaların Hata ve Güven Elipsleri



20 km.

Ağın Ölçeği: 1:200000

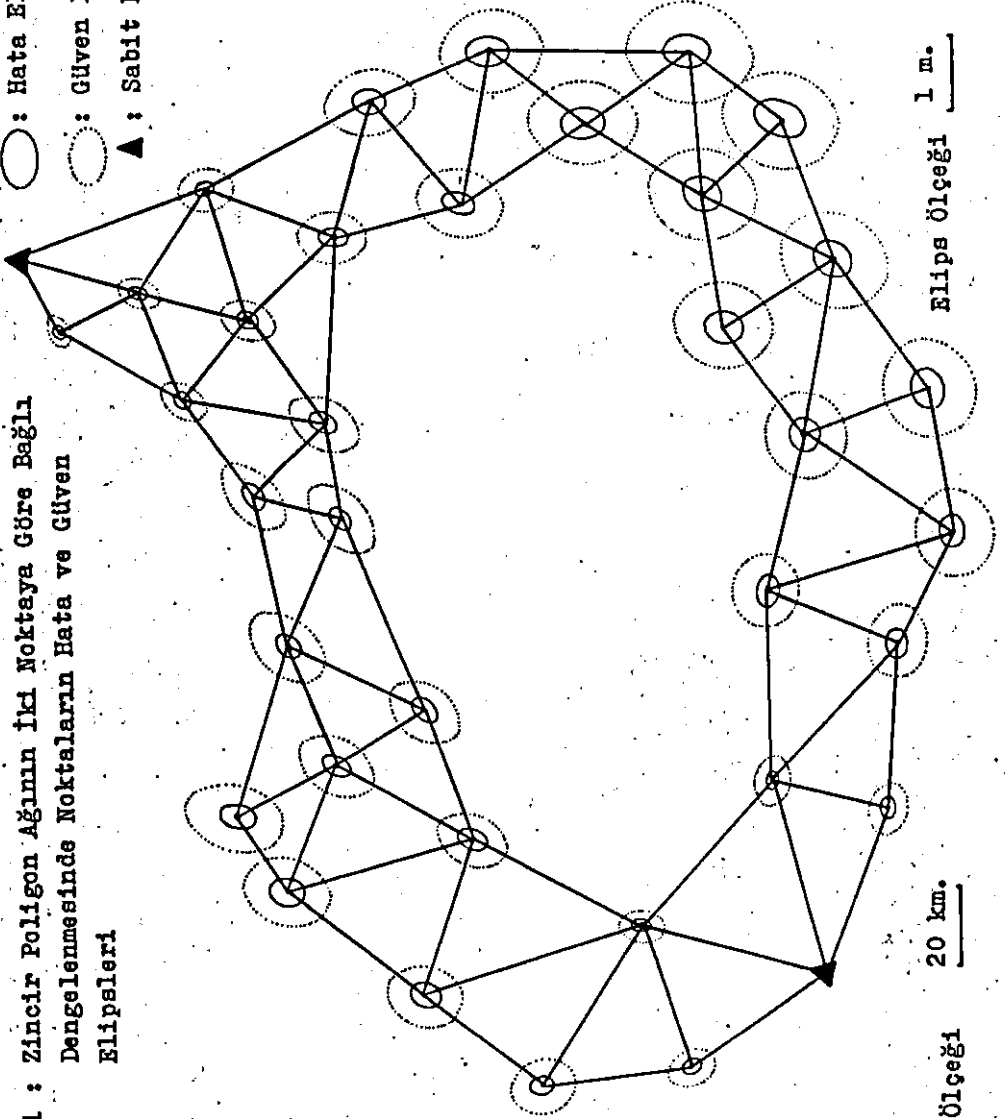
Etiler, Ankara

1 m. Ölçeği: 1:100000

Etiler, Ankara

○ : Hata Elipsi
 ○ : Güven Elipsi
 ▲ : Sabit Nokta

EK.11 : Zincir Poligon Ağının İki Noktaya Göre Bağlı
 Dengelenmesinde Noktaların Hata ve Güven
 Elipsleri



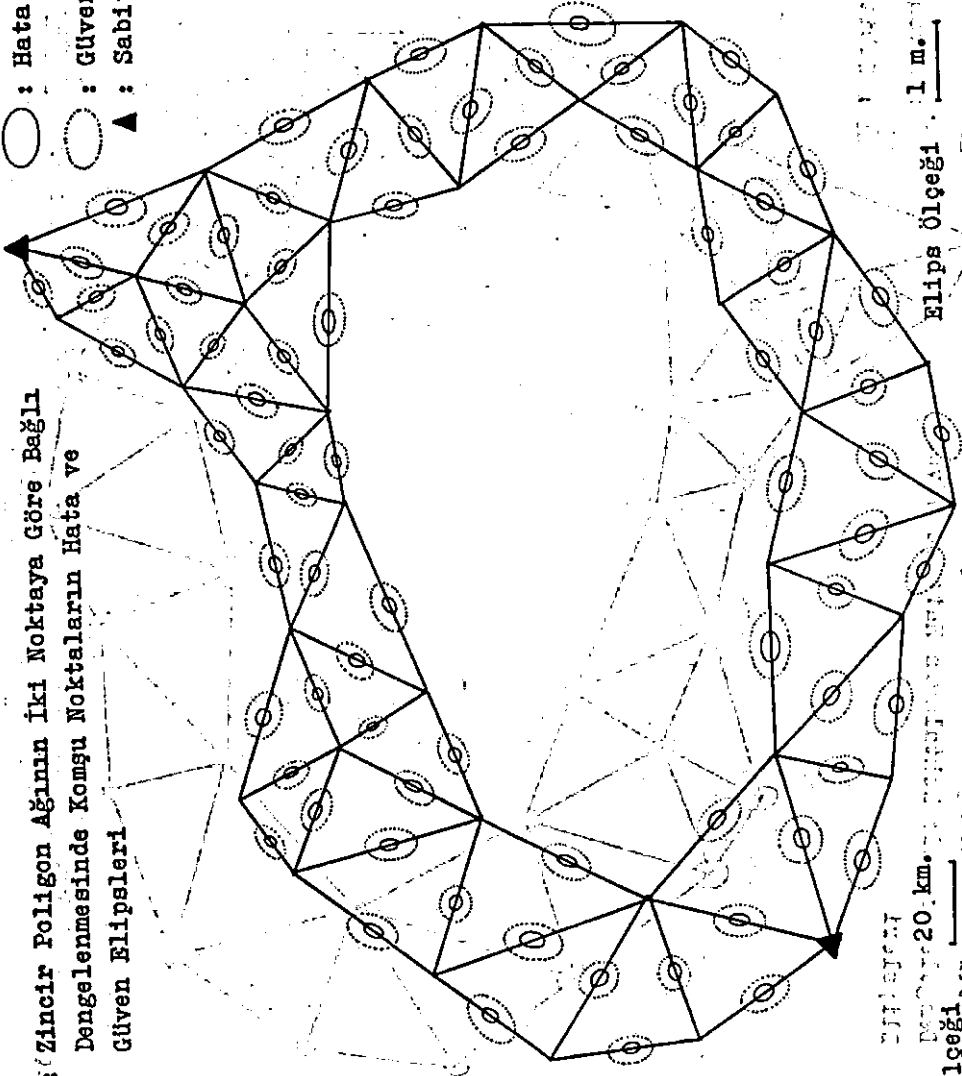
Elips Ölçeği 1 m.

20 km.

Ağın Ölçeği

- : Hata Elipsi
 ○ : Güven Elipsi
 ▲ : Sabit Nokta

EK.12: Zincir Poligon Ağının İki Noktaya Göre Bağlı
 Dengelenmesinde Komşu Noktaların Hata ve
 Güven Elipsleri



20 km

Elips Ölçeği

1 m.

EK.13 Zincir Poligon Ağının Serbest Dengelenmesinden Hesaplanan Duyarlık Ölçütlerinin Normlandırılmış \bar{m}_x , \bar{m}_y , \bar{m}_p , \bar{m}_w^2 , \bar{A}_H , \bar{B}_H , \bar{A}_G , \bar{B}_G değerleri(dm/cc)

Nokta No.	\bar{m}_x	\bar{m}_y	\bar{m}_p	\bar{m}_w^2	\bar{A}_H	\bar{B}_H	\bar{A}_G	\bar{B}_G
7084	1.16	1.34	1.78	212.2	1.48	0.99	3.81	2.54
7086	1.35	1.10	1.74	218.5	1.35	1.09	3.48	2.82
7089	0.99	1.23	1.57	131.3	1.31	0.88	3.38	2.25
7123	1.16	1.10	1.60	161.4	1.20	1.06	3.08	2.74
7124	1.30	1.08	1.69	187.9	1.35	1.02	3.48	2.62
7125	0.89	0.98	1.32	65.6	1.09	0.74	2.81	1.92
7126	0.85	1.23	1.50	90.7	1.31	0.73	3.37	1.88
7127	0.90	1.28	1.57	122.9	1.32	0.84	3.41	2.16
7128	0.86	1.13	1.42	93.1	1.13	0.85	2.92	2.20
7129	0.75	1.27	1.48	90.1	1.27	0.75	3.28	1.92
7130	0.83	1.06	1.34	70.7	1.11	0.75	2.87	1.95
7132	1.34	1.19	1.80	241.5	1.44	1.08	3.43	2.79
7135	1.67	1.36	2.15	510.5	1.67	1.36	4.30	3.50
7138	0.97	0.96	1.37	81.3	1.08	0.84	2.78	2.16
7139	0.74	0.87	1.14	37.9	0.94	0.66	2.42	1.69
7140	0.84	0.90	1.23	48.0	1.04	0.67	2.68	1.72
7142	0.93	1.07	1.42	93.6	1.13	0.86	2.91	2.21
7143	0.99	0.92	1.35	71.3	1.12	0.75	2.89	1.94
7145	1.04	0.84	1.34	75.7	1.04	0.84	2.68	2.16
7146	1.16	1.13	1.62	163.7	1.26	1.01	3.26	2.61
7148	1.29	1.31	1.84	283.2	1.37	1.23	3.52	2.44
7150	1.38	1.22	1.84	279.6	1.40	1.20	3.60	3.09
7157	0.93	1.37	1.66	157.2	1.40	0.90	3.58	2.33
7158	0.93	1.30	1.60	143.9	1.30	0.92	3.36	2.38
7159	1.11	1.14	1.59	147.8	1.27	0.96	3.28	2.46
7160	1.03	1.40	1.74	200.3	1.47	0.99	3.68	2.56
7166	1.02	1.30	1.65	175.1	1.30	1.02	3.35	2.63
7198	0.99	1.00	1.40	89.9	1.12	0.84	2.90	2.18
7204	1.03	0.90	1.37	82.1	1.08	0.84	2.77	2.17
7205	1.28	0.98	1.61	152.3	1.30	0.95	3.35	2.44
7212	1.21	1.01	1.58	145.2	1.25	0.96	3.23	2.48
7213	1.40	1.12	1.80	234.2	1.46	1.05	3.76	2.70
7234	0.98	0.92	1.34	80.6	0.99	0.91	2.54	2.35
7236	1.38	0.83	1.61	130.2	1.38	0.83	3.56	2.13
7239	1.04	1.29	1.66	180.8	1.30	1.03	3.36	2.66
7240	1.14	1.19	1.65	185.6	1.19	1.14	3.07	2.95
7241	1.44	1.08	1.80	241.6	1.45	1.08	3.73	2.77

EK.14 Yüzey Ağının Serbest Dengelenmesinden Hesaplanan

Duyarlık Ölçütlerinin Normlandırılmış \bar{m}_x , \bar{m}_y , \bar{m}_p , \bar{m}_w , A_H , B_H , A_G , B_G değerleri (dm/cc)

-

-

Nokta No.	\bar{m}_x	\bar{m}_y	\bar{m}_p	\bar{m}_w	A_H	B_H	A_G	B_G
7084	0.76	0.82	1.12	37.6	0.87	0.70	2.22	1.79
7086	0.92	0.86	1.26	62.8	0.93	0.85	2.36	2.17
7089	0.50	0.53	0.73	6.8	0.57	0.45	1.46	1.15
7123	0.85	0.84	1.19	50.2	0.87	0.81	2.22	2.06
7124	0.97	0.80	1.25	59.6	0.96	0.80	2.45	2.03
7125	0.57	0.56	0.80	10.2	0.58	0.54	1.49	1.39
7126	0.52	0.71	0.88	12.8	0.73	0.50	1.86	1.24
7127	0.39	0.48	0.62	3.4	0.49	0.37	1.26	0.95
7128	0.36	0.42	0.56	2.3	0.42	0.35	1.08	0.90
7129	0.48	0.59	0.76	8.0	0.60	0.47	1.52	1.21
7130	0.61	0.63	0.87	14.6	0.63	0.60	1.61	1.53
7132	1.03	0.90	1.37	86.4	1.03	0.90	2.63	2.28
7135	1.30	1.10	1.71	199.9	1.33	1.06	3.39	2.70
7138	0.71	0.67	0.98	23.1	0.72	0.67	1.82	1.71
7139	0.47	0.48	0.67	5.0	0.48	0.46	1.22	1.17
7140	0.45	0.42	0.62	3.5	0.47	0.40	1.19	1.02
7141	0.34	0.36	0.50	1.5	0.37	0.33	0.94	0.84
7142	0.42	0.45	0.62	3.6	0.45	0.41	1.16	1.05
7143	0.47	0.44	0.65	4.3	0.47	0.43	1.21	1.10
7145	0.51	0.52	0.73	7.0	0.52	0.51	1.32	1.30
7146	0.78	0.84	1.15	42.4	0.84	0.77	2.15	1.96
7148	0.99	1.02	1.42	102.0	1.04	0.97	2.65	2.47
7150	0.98	0.94	1.36	85.1	0.98	0.94	2.50	2.38
7157	0.63	0.80	1.03	25.9	0.81	0.63	2.05	1.60
7158	0.48	0.51	0.70	6.0	0.51	0.48	1.31	1.21
7159	0.66	0.71	0.97	21.5	0.73	0.63	1.86	1.61
7160	0.78	0.84	1.15	42.5	0.84	0.77	2.15	1.96
7166	0.82	0.81	1.15	43.7	0.83	0.79	2.11	2.02
7184	0.35	0.40	0.53	2.0	0.40	0.35	1.03	0.89
7198	0.71	0.68	0.99	23.6	0.72	0.67	1.83	1.71
7204	0.69	0.65	0.95	20.1	0.70	0.64	1.79	1.62
7205	0.77	0.73	1.06	31.4	0.77	0.72	1.97	1.84
7212	0.56	0.56	0.79	9.4	0.58	0.53	1.47	1.36
7213	0.83	0.81	1.16	44.7	0.84	0.79	2.15	2.01
7233	0.36	0.38	0.53	1.9	0.38	0.36	0.97	0.92
7234	0.42	0.38	0.57	2.6	0.42	0.38	1.06	0.97
7235	0.34	0.37	0.50	1.6	0.37	0.34	0.93	0.87
7236	0.59	0.54	0.80	10.3	0.59	0.54	1.51	1.38
7239	0.42	0.47	0.63	3.9	0.48	0.41	1.22	1.05
7240	0.45	0.46	0.65	4.3	0.47	0.44	1.19	1.12
7241	0.83	0.83	1.18	47.7	0.83	0.83	2.12	2.10
7252	0.39	0.44	0.59	3.0	0.44	0.39	1.12	1.00
7279	0.37	0.38	0.52	1.8	0.40	0.34	1.01	0.87
7332	0.39	0.40	0.56	2.4	0.41	0.38	1.03	0.98

EK.15 Zincir Poligon Ağının 7086 ve 7135 Numaralı Noktaları Sabit Alınarak Bağlı Dengelenmesinden Hesaplanan Duyarlık Ölçütlerinin Normlandırılmış \bar{m}_x , \bar{m}_y , \bar{m}_p , \bar{m}_w^2 , \bar{A}_H , B_H , \bar{A}_G , B_G değerleri (dm/cc)

Nokta No.	\bar{m}_x	\bar{m}_y	\bar{m}_p	\bar{m}_w^2	\bar{A}_H	B_H	\bar{A}_G	B_G
7084	0.84	1.25	1.51	110.3	1.26	0.84	3.24	2.16
7089	0.87	1.19	1.47	106.1	1.19	0.86	3.07	2.33
7123	2.18	1.70	2.77	1362.2	2.20	1.68	5.68	4.32
7124	2.34	1.73	2.92	1591.9	2.39	1.67	6.17	4.30
7125	1.90	1.55	2.45	788.0	2.02	1.39	5.20	3.59
7126	1.85	1.72	2.52	831.7	2.13	1.35	5.50	3.49
7127	1.74	1.66	2.41	643.6	2.07	1.22	5.34	3.16
7128	1.67	1.49	2.25	510.1	1.91	1.19	4.92	3.05
7129	1.57	1.58	2.23	462.6	1.93	1.12	4.98	2.88
7130	1.16	1.13	1.62	134.4	1.39	0.83	3.59	2.15
7132	0.59	0.75	0.96	15.2	0.83	0.47	2.15	1.21
7138	0.93	0.67	1.15	33.4	0.99	0.59	2.54	1.51
7139	1.34	1.03	1.69	167.5	1.43	0.91	3.69	2.34
7140	1.72	0.78	2.11	438.5	1.72	1.22	4.44	3.14
7142	1.72	1.53	2.30	617.4	1.88	1.32	4.84	3.41
7143	1.69	1.30	2.13	445.3	1.77	1.20	4.55	3.08
7145	1.08	0.79	1.34	73.2	1.08	0.79	2.79	2.04
7146	1.92	1.47	2.42	786.1	1.93	1.45	4.98	3.74
7148	1.59	1.29	2.05	410.3	1.63	1.24	4.21	3.20
7150	1.09	0.87	1.40	80.2	1.17	0.77	3.00	1.98
7157	1.44	1.80	2.31	674.0	1.80	1.44	4.64	3.72
7158	2.01	2.13	2.93	1829.4	2.14	2.00	5.52	5.15
7159	2.60	2.40	3.54	3841.8	2.70	2.30	6.95	5.93
7160	2.30	2.46	3.37	3167.9	2.53	2.23	6.52	5.75
7166	1.96	2.11	2.89	1720.9	2.12	1.96	5.47	5.04
7198	1.40	0.98	1.71	186.1	1.40	0.97	3.62	2.51
7204	2.09	1.60	2.63	1105.2	2.10	1.59	5.41	4.09
7205	2.66	2.02	3.34	2852.9	2.68	2.00	6.90	5.15
7212	2.73	2.23	3.53	3696.0	2.75	2.21	7.10	5.70
7213	3.05	2.51	3.95	5753.5	3.10	2.45	7.98	6.46
7234	2.17	1.61	2.71	1227.4	2.18	1.61	5.62	4.14
7236	2.81	2.00	3.44	3131.4	2.81	2.00	7.23	5.15
7239	1.57	1.76	2.36	765.0	1.76	1.57	4.54	4.05
7240	2.38	2.13	3.19	2580.5	2.38	2.14	6.14	5.51
7241	3.13	2.43	3.96	5733.0	3.13	2.42	8.08	6.23

EK.16 Yüzey Ağının 7086 ve 7135 Numaralı Noktaları Sabit Alınarak Bağlı Dengelenmesinden Hesaplanan Duyarlık Ölçütlerinin Normlandırılmış \bar{m}_x , \bar{m}_y , \bar{m}_p , \bar{m}_w^2 , A_H , B_H , A_G , B_G değerleri (dm/cc)

Nokta No.	\bar{m}_x	\bar{m}_y	\bar{m}_p	\bar{m}_w^2	A_H	B_H	A_G	B_G
7084	0.70	0.95	1.18	44.2	0.95	0.70	2.43	1.77
7089	0.70	0.80	1.07	31.5	0.81	0.69	2.07	1.75
7123	1.50	1.34	2.05	432.4	1.56	1.33	3.97	3.38
7124	1.69	1.34	2.16	514.0	1.69	1.34	4.29	3.41
7125	1.32	1.12	1.74	220.8	1.33	1.11	3.39	2.83
7126	1.29	1.21	1.77	235.7	1.36	1.12	3.48	2.85
7127	1.13	1.04	1.54	130.2	1.23	0.93	3.12	2.36
7128	1.08	0.99	1.47	105.2	1.18	0.87	2.99	2.22
7129	1.12	1.06	1.55	129.9	1.24	0.91	3.16	2.33
7130	0.93	0.86	1.27	55.3	1.05	0.70	2.68	1.79
7132	0.54	0.64	0.84	9.4	0.72	0.42	1.84	1.08
7138	0.76	0.58	0.96	17.5	0.81	0.52	2.06	1.31
7139	0.98	0.82	1.28	60.3	1.04	0.74	2.66	1.89
7140	1.15	0.99	1.52	126.4	1.19	0.95	3.02	2.41
7141	1.18	1.12	1.63	171.1	1.24	1.06	3.15	2.69
7142	1.15	1.01	1.53	133.4	1.16	0.99	2.95	2.53
7143	1.10	0.93	1.44	106.0	1.10	0.93	2.81	2.37
7145	0.77	0.66	1.01	25.6	0.77	0.66	1.96	1.67
7146	1.32	1.19	1.78	247.3	1.33	1.18	3.88	3.00
7148	1.22	1.11	1.65	178.6	1.26	1.06	3.20	2.70
7150	0.86	0.76	1.15	39.5	0.93	0.67	2.37	1.72
7157	1.12	1.28	1.70	203.5	1.29	1.10	3.29	2.80
7158	1.35	1.37	1.92	338.9	1.40	1.31	3.56	3.34
7159	1.71	1.76	2.45	904.5	1.80	1.67	4.59	4.24
7160	1.66	1.74	2.40	834.7	1.74	1.66	4.43	4.22
7166	1.53	1.51	2.15	535.0	1.53	1.51	3.90	3.84
7184	1.01	0.96	1.39	93.1	1.04	0.93	2.65	2.36
7198	1.07	0.84	1.35	79.4	1.07	0.83	2.72	2.11
7204	1.45	1.32	1.97	368.5	1.47	1.30	3.74	3.32
7205	1.70	1.65	2.37	782.1	1.72	1.62	4.39	4.12
7212	1.65	1.66	2.34	738.9	1.72	1.58	4.30	4.02
7213	1.93	1.95	2.75	1424.3	2.00	1.88	5.10	4.78
7233	1.23	1.21	1.72	214.8	1.29	1.14	3.28	2.89
7234	1.32	1.24	1.81	263.8	1.37	1.18	3.49	3.01
7235	1.32	1.29	1.84	283.5	1.38	1.22	3.52	3.09
7236	1.63	1.59	2.28	665.4	1.68	1.54	4.27	3.92
7239	1.07	1.11	1.53	137.6	1.14	1.03	2.89	2.62
7240	1.41	1.43	2.01	404.5	1.48	1.35	3.77	3.45
7241	1.93	1.96	2.76	1458.1	2.01	1.90	5.11	4.83
7252	0.86	0.83	1.20	50.8	0.88	0.81	2.24	2.06
7279	1.11	1.03	1.52	126.2	1.18	0.95	3.00	2.42
7332	1.11	1.08	1.55	139.4	1.16	1.01	2.96	2.58

ÖZGEÇMİŞ

1951 yılında, Sürmene'nin Aksu köyünde doğdum. Köyde ilkokul öğrenimini gördükten sonra, orta öğrenimini 1969 yılında Sürmene Lisesinde bitirdim. Aynı yıl Karadeniz Teknik Üniversitesi Jeodezi ve Fotogrametri Bölümüne girerek 1974 yılında mezun oldum. Bu bölümün ocak 1975 'de açmış olduğu asistanlık sınavını kazandım ve mart 1975 'de askere gittim. Askerlik görevini Deniz Kuvvetleri Komutanlığına bağlı Seyir Hidrografi ve Oşinografi Dairesi Başkanlığında yedeksubay olarak eylül 1976 tarihinde tamamladım.

Ekim 1976 tarihinde, Aynı bölümde asistan olarak göreve başladım. Halen bu bölümde, araştırma görevlisi olarak çalışmaktayım. Evli ve iki çocuğum var.

Nisan 1985 TRABZON